

การศึกษาประสิทธิภาพการทำความเข้าใจของที่ covariance เทียบสร้างจากวัสดุ
ที่มีค่าการนำความร้อนต่างกันโดยใช้อากาศเป็นสารทำงาน



วิทยานิพนธ์เสนอปันพิทิพยาลัย มหาวิทยาลัยนเรศวร เพื่อเป็นส่วนหนึ่งของการศึกษา
หลักสูตรปริญญาวิทยาศาสตร์มหาบัณฑิต
สาขาวิชาฟิสิกส์ประยุกต์
กรกฎาคม 2562
ผู้เขียนที่เป็นของมหาวิทยาลัยนเรศวร

วิทยานิพนธ์ เรื่อง “การศึกษาประสิทธิภาพการทำความเข้าใจของท่อวอร์เท็กซ์สร้างจากวัสดุที่มีค่าการนำความร้อนต่างกันโดยใช้อากาศเป็นสารทำงาน”

ของ นางสาวสินีพร จันทร์สว่าง
ได้รับการพิจารณาให้นับเป็นส่วนหนึ่งของการศึกษาตามหลักสูตร
ปริญญาศึกษาศาสตรมหาบัณฑิต สาขาวิศึกษาประยุกต์

คณะกรรมการสอบวิทยานิพนธ์

..... ประธานกรรมการสอบวิทยานิพนธ์
(ผู้ช่วยศาสตราจารย์ ดร.นรีส ประทิ nthong)

..... รองประธานที่ปรึกษาวิทยานิพนธ์
(ผู้ช่วยศาสตราจารย์ ดร.วรภรณ์ รัตตนาพิสัย)

..... กรรมการผู้ทรงคุณวุฒิภายใน
(รองศาสตราจารย์สมชาย กฤตพลวิวัฒน์)

..... กรรมการผู้ทรงคุณวุฒิภายใน
(ผู้ช่วยศาสตราจารย์ ดร.บันดุร เวียงบูล)

(ศาสตราจารย์ ดร.ไพศาล มุณีสว่าง)

คณะกรรมการวิทยาลัย

๑๗๘ ๒๕๖๒

อนุมัติ

ประกาศคุณภาพ

วิทยานิพนธ์ฉบับนี้สำเร็จลุล่วงไปได้ด้วยดี ภายใต้การดูแลและให้คำปรึกษาจากอาจารย์ที่ปรึกษา ผู้ช่วยศาสตราจารย์ ดร. วรภรณ์ รัตตัณพิสัย ที่ให้ความกรุณาและความเมตตา เสียสละเวลาอันมีค่าเพื่อให้คำแนะนำ ชี้แนะแนวทางแก้ไขข้อบกพร่อง งานงาน อย่างไม่รู้จักเหนื่อย คงจะให้ทั้งความรู้ ให้ความช่วยเหลือ หาทุนสนับสนุนให้เรียน ตามที่ถึง ความก้าวหน้า และเป็นกำลังใจเสมอมาโดยตลอด จนวิทยานิพนธ์เล่มนี้สำเร็จตามวัตถุประสงค์ และก้าวเข้าสู่ความสำเร็จ ผู้วิจัยขอขอบพระคุณเป็นอย่างสูง 猛然 โอกาสนี้

ผู้วิจัยขอกราบขอบพระคุณ ผู้ช่วยศาสตราจารย์ ดร.นริส ประทินทอง รองศาสตราจารย์ สมชาย กฤตพลวิวัฒน์ และผู้ช่วยศาสตราจารย์ ดร.บันทูร เวียงมูล ท่านอาจารย์ให้ความกรุณา เป็นกรรมการสอบ ให้ความรู้ คำชี้แนะ เทคนิคการแก้ปัญหา จนทำให้งานวิจัยนี้มีเนื้อหาและ ขอบเขตที่ชัดเจน ผู้วิจัยต้องขอขอบคุณอาจารย์ทุกท่าน ที่ได้เสนอแนะที่เป็นประโยชน์และชี้แนะ แนวทางสำหรับการปรับปรุงวิทยานิพนธ์เล่มนี้ให้สำเร็จลุล่วงได้อย่างสมบูรณ์และทรงคุณค่า

ขอขอบคุณครูห้าง ทศวรรณ อินເກະຫ້າງ ที่คอยช่วยให้คำแนะนำ ช่วยสร้างและแก้ไข ชิ้นงานจนสำเร็จ สามารถทำงานได้ตามวัตถุประสงค์ ขอขอบคุณเจ้าหน้าที่ บุคลากร ตลอดจนพี่ๆ เพื่อนๆ น้องๆ และคณาจารย์ภายในภาควิชาฟิสิกส์ คณะวิทยาศาสตร์ มหาวิทยาลัยนเรศวร ที่เคย ให้ความช่วยเหลือและการสนับสนุนในทุกด้าน และสุดท้ายผู้วิจัยต้องขอขอบคุณคนรอบข้างทุกคน ที่ยืนใจในการสนับสนุน มอบความรู้ กำลังใจและประสบการณ์ที่ดี จนทำให้ผู้วิจัยประสบความสำเร็จ

งานวิจัยนี้ “ได้วับทุนอุดหนุนการทำกิจกรรมส่งเสริมและสนับสนุนการวิจัยประเภททุน บัณฑิตศึกษาจากสำนักงานคณะกรรมการวิจัยแห่งชาติ ประจำปี 2561” ผู้วิจัยจึงขอขอบพระคุณ สำนักงานคณะกรรมการวิจัยแห่งชาติ (วช) 猛然 ที่นี้ด้วย

คุณค่าและประโยชน์อันพิเศษของวิทยานิพนธ์เล่มนี้ ผู้วิจัยขอขอบคุณเป็นเครื่องบูชาพระคุณ บิดา มารดา บุพราเจ้ายัง และผู้มีส่วนเกี่ยวข้องทุกท่าน ผู้วิจัยหวังว่างานวิจัยนี้จะเป็นประโยชน์ สำหรับผู้ที่สนใจมากก็น้อย หากมีข้อผิดพลาดประการใด ผู้วิจัยขอน้อมรับไว้เพียงผู้เดียว ขอขอบพระคุณ猛然 โอกาสนี้

สินีพร จันทร์สว่าง

ชื่อเรื่อง	การศึกษาประสิทธิภาพการทำความเย็นของท่อวอร์เทกซ์สร้างจากวัสดุที่มีค่าการนำความร้อนต่างกันโดยใช้อากาศเป็นสารทำงาน
ผู้วจัย	สินพง จันทร์สว่าง
ประธานที่ปรึกษา	ผู้ช่วยศาสตราจารย์ ดร. วรภรณ์ รัตน์พิสัย
ประเภทสารนิพนธ์	วิทยานิพนธ์ วท.ม. สาขาวิชาพิสิกส์ประยุกต์, มหาวิทยาลัยเนตรศิริ, 2561
คำสำคัญ	ท่อวอร์เทกซ์ ประสิทธิภาพไอกเซนโทรปิก ความสามารถการทำงานทำความเย็น สมรรถนะการทำงานทำความเย็น ค่าดัชนีผลกระบวนการที่มีต่อการทำให้เกิดภาวะโลกร้อนเทียบเท่าโดยรวม

บทคัดย่อ

งานวิจัยนี้มีวัตถุประสงค์เพื่อออกแบบ สร้าง และทดสอบประสิทธิภาพการทำงานทำความเย็นของท่อวอร์เทกซ์ที่มีค่าการนำความร้อนต่างกัน ได้แก่ ทองเหลืองและสแตนเลส รวมถึงศึกษาการประเมินค่าการปล่อยก๊าซเรือนกระจกของท่อวอร์เทกซ์ในการศึกษาได้ใช้อากาศเป็นสารทำความเย็นจากธรรมชาติ ทำการทดสอบประสิทธิภาพการทำงานทำความเย็นของท่อวอร์เทกซ์ที่ความดันอากาศคงที่ 1.5 bar และ 3 bar พบว่าชนิดของวัสดุมีผลต่อประสิทธิภาพทำความเย็นของท่อวอร์เทกซ์ ทั้งนี้ท่อวอร์เทกซ์ทองเหลืองที่มีต้นกำเนิดกรุงเทพมหานครมีค่าความแตกต่างอุณหภูมิอากาศเย็นสูงสุด 21.6°C และค่าความแตกต่างอุณหภูมิอากาศร้อนสูงสุด 30.3°C ซึ่งสูงกว่าท่อวอร์เทกซ์สแตนเลส 11% และ 10% ตามลำดับ นอกจากนั้นพบว่าท่อวอร์เทกซ์ทองเหลืองมีประสิทธิภาพไอกเซนโทรปิกสูงสุด 0.27 ความสามารถทำความเย็นสูงสุด 70.7 W และสมรรถนะการทำงานทำความเย็นสูงสุด 0.117 ซึ่งสูงกว่าท่อวอร์เทกซ์สแตนเลส 11% 18% และ 12% ตามลำดับ ผลการประเมินค่าการปล่อยก๊าซเรือนกระจกของท่อวอร์เทกซ์จากค่าดัชนีผลกระบวนการที่มีต่อการทำให้เกิดภาวะโลกร้อนเทียบเท่าโดยรวม ท่อวอร์เทกซ์เป็นคุณภูมิที่ไม่ใช้สารทำความเย็นที่มีผลกระทบต่อสิ่งแวดล้อมแต่จำเป็นต้องใช้พลังงานไฟฟ้า แต่ถึงอย่างไรท่อวอร์เทกซ์ที่ใช้อากาศเป็นสารทำความเย็นก็มีผลกระทบต่อสิ่งแวดล้อมต่ำกว่าท่อวอร์เทกซ์ทำความเย็นที่ใช้สารทำความเย็น

Title	A STUDY ON COOLING EFFICIENCY OF VORTEX TUBE MADE FROM DIFFERENT THERMAL CONDUCTIVITY MATERIALS WITH AIR AS WORKING FLUID
Author	Sineeporn Jansawang
Advisor	Assistant Professor Waraporn Rattanongphisat, Ph.D.
Academic Paper	Thesis M.S. in Applied Physics, Naresuan University, 2018
Keywords	Vortex tube, Isentropic efficiency, Cooling capacity, Coefficient of Performance, Total equivalent warming impact

ABSTRACT

This research aims to design, construct and test the cooling efficiency of vortex tube made from different thermal conductivity materials. The materials used in the current study are brass and stainless. The evaluation of greenhouse gas emission from the operating of vortex tube is also investigated. In this study, a compressed air is used as a natural refrigerant. The experimental testing for the cooling efficiency of vortex tube is carried out at the inlet air pressure of 1.5 bar and 3 bar. It has been found that the material type does affect the cooling efficiency of the vortex tube. The results show that a brass vortex tube with plastic vortex generator provided the highest cooling temperature difference of 21.6°C and the highest heating temperature difference of 30.3°C. That are higher than the stainless vortex tube by 11% and 10% respectively. In addition, a brass vortex tube offers the maximum isentropic efficiency of 0.27, cooling capacity of 70.7 W, and coefficient of performance of 0.117 that are higher than the stainless vortex tube by 11%, 18% and 12% respectively. The greenhouse gas emission of vortex tube is analyzed based on the total equivalent warming impact (TEWI). The vortex tube does not need refrigerants that contributes the emission of greenhouse gas; however, the vortex tube requires electrical power to drive the system. The vortex tube with air as the refrigerant has lower global warming impact than the vortex tube with R134a refrigerant

สารบัญ

บทที่	หน้า
1 บทนำ.....	1
ความเป็นมาของปัญหา.....	1
จุดมุ่งหมายของการศึกษา.....	3
ขอบเขตของการวิจัย.....	3
นิยามศัพท์เฉพาะ.....	4
สมมติฐานของการวิจัย.....	5
2 เอกสารและงานวิจัยที่เกี่ยวข้อง.....	6
ท่อออร์ทิกซ์.....	6
ทฤษฎีอินายปราภูภารណ์ภายในท่อออร์ทิกซ์.....	11
ประสิทธิภาพการทำงานของท่อออร์ทิกซ์.....	17
ชนิดและผลต่อสิ่งแวดล้อมของสารทำความสะอาด เช่น.....	26
งานวิจัยที่เกี่ยวข้อง.....	32
3 วิธีดำเนินงานวิจัย.....	41
ขนาดชิ้นส่วนประกอบของท่อออร์ทิกซ์.....	42
โครงสร้างและส่วนประกอบของท่อออร์ทิกซ์.....	48
อุปกรณ์ที่ใช้ในการทดลอง.....	54
วิธีการทดลอง.....	58

สารบัญ (ต่อ)

บทที่	หน้า
4 ผลการทดลองและวิเคราะห์ผล.....	60
คุณลักษณะทางคุณภาพของท่อออร์เท็กซ์.....	60
ประสิทธิภาพของท่อออร์เท็กซ์.....	65
การเปรียบเทียบผลการทดลองกับงานวิจัยอื่น.....	76
การประเมินค่าการปล่อยก๊าซเรือนกระจกของท่อออร์เท็กซ์.....	78
5 บทสรุป.....	81
สรุปผลการวิจัย.....	81
ข้อเสนอแนะ.....	82
บรรณานุกรม.....	83
ภาคผนวก.....	90
ประวัติผู้วิจัย.....	98

สารบัญตาราง

ตาราง	หน้า
1 ก้าวเรื่องจากที่ถูกควบคุมภายใต้พิธีสารเกียรติและค่า GWP 100.....	29
2 งานวิจัยที่เกี่ยวข้องกับการออกแบบท่ออวอร์เท็กซ์.....	37
3 ค่าการนำความร้อนของวัสดุ.....	47
4 ข้อมูลและขนาดตัวแปรที่ศึกษาในงานวิจัยนี้.....	48
5 ผลการบันทึกข้อมูลอุณหภูมิด้วยเครื่องบันทึกข้อมูลสำหรับชุดทดสอบท่อ อวอร์เท็กซ์ที่ทำจากสแตนเลสและทองเหลือง ที่ติดตั้งต้นกำเนิดกระแส หมุนวนพลาสติก ทดสอบที่ความดันอากาศ 3 bar.....	91
6 ผลการบันทึกและการคำนวณผลเมื่อความแตกต่างอุณหภูมิคงที่ ณ เวลา 10 นาที ของชุดทดสอบท่ออวอร์เท็กซ์ที่ทำจากสแตนเลส.....	97
7 ผลการบันทึกและการคำนวณผลเมื่อความแตกต่างอุณหภูมิคงที่ ณ เวลา 10 นาที ของชุดทดสอบท่ออวอร์เท็กซ์ที่ทำจากทองเหลือง.....	97

สารบัญภาพ

ภาพ	หน้า
1 ลักษณะรูป่างและการทำงานของท่อวอร์เท็กซ์.....	1
2 ลักษณะการเกิดกระแสหมุนวนภายในท่อวอร์เท็กซ์.....	6
3 ท่อวอร์เท็กซ์แบบไอลส่วนทางก้น.....	7
4 ท่อวอร์เท็กซ์แบบไอลไปทางเดียวกัน.....	8
5 เสื้อทำความเย็นจากท่อวอร์เท็กซ์.....	10
6 การทำความเย็นสำหรับการกลึงชิ้นงาน.....	10
7 การทำความเย็นสำหรับตู้ควบคุมไฟฟ้าที่มีแรงดึงดูดของแม่เหล็กหกเหลี่ยม.....	11
8 อัตราการถ่ายเทพลังงานต่อความยาวท่อ.....	13
9 สัมประสิทธิ์การถ่ายเทความร้อนเปลี่ยนตามสัดส่วนขนาดท่อร้อน.....	15
10 อุณหภูมิทางเข้า อุณหภูมิปลายท่อเย็น และอุณหภูมิปลายท่อร้อนของท่อ วอร์เท็กซ์ที่ให้น้ำเป็นของไอลทำงาน.....	15
11 การให้วนของของไอลภายในท่อวอร์เท็กซ์.....	17
12 กระบวนการลดความดัน.....	19
13 ลักษณะการไอลของของไอลผ่านหัวฉีด.....	20
14 หัวฉีดแบบลู๊ปเข้า.....	21
15 หัวฉีดแบบบานออก.....	21
16 หัวฉีดแบบลู๊ปเข้า-บานออก.....	22
17 แผนภาพเอนทัลปี-เอนโทรปีของกระบวนการที่เกิดขึ้นในหัวฉีด.....	22
18 การปล่อยก๊าซคาร์บอนไดออกไซด์ของการใช้ไฟฟ้าในแต่ละภูมิภาค.....	31
19 การปล่อยก๊าซคาร์บอนไดออกไซด์ต่อหน่วยการผลิตไฟฟ้าของประเทศไทย....	32
20 แผนผังขั้นตอนการดำเนินงาน.....	41
21 ความแตกต่างอุณหภูมิอากาศเย็นและประสิทธิภาพไอเซนโทรปิกของท่อ วอร์เท็กซ์มีหัวฉีดเท่ากับ 6.....	42

สารบัญภาพ (ต่อ)

ภาพ	หน้า
22 (ข้าย) ความแตกต่างอุณหภูมิอากาศเย็น (ขวา) ประสิทธิภาพไอโซเนิ่นไบร์ก ต่อสัดส่วนของช่องอากาศเย็น.....	43
23 ความแตกต่างอุณหภูมิอากาศเย็นของท่อวอร์เท็กซ์ที่มีขนาดของอากาศเย็น ^{ไกล์เดียงกันเท่ากับ 0.5 ถึง 0.56}	44
24 ความแตกต่างอุณหภูมิอากาศเย็นและอากาศร้อนของท่อวอร์เท็กซ์ที่มี สัดส่วนขนาดท่อร้อนเท่ากับ 17.5 ถึง 20.....	46
25 โครงสร้างและส่วนประกอบของท่อวอร์เท็กซ์.....	48
26 ปลายท่อเย็น.....	49
27 ตันกำเนิดกระแสหมุน.....	49
28 จานรอง.....	50
29 ห้องสร้างกระแสหมุน.....	50
30 ทางเข้าของอากาศ.....	51
31 ท่อร้อน.....	51
32 ข้อต่อปรับขนาด.....	52
33 วาล์วควบคุม.....	52
34 ตัวล็อก.....	53
35 ท่อวอร์เท็กซ์จริงที่ใช้ทดสอบ.....	53
36 ชุดปรับอากาศและกรองอากาศ.....	54
37 โรตามิเตอร์.....	55
38 เครื่องบันทึกข้อมูล.....	55
39 เทคโนมิคปีเพล ชนิดเดค.....	56
40 เกจวัดความดัน.....	56
41 บีบีลม.....	57

สารบัญภาพ (ต่อ)

ภาพ	หน้า
42 แผนผังระบบทดสอบการทำงานของท่อวอร์เท็กซ์.....	58
43 การเปลี่ยนแปลงอุณหภูมิอากาศทางเข้าและทางออกท่อวอร์เท็กซ์กับเวลา....	60
44 การเปลี่ยนแปลงค่าความแตกต่างอุณหภูมิอากาศเย็นเทียบกับเวลา.....	61
45 การเปลี่ยนแปลงค่าความแตกต่างอุณหภูมิอากาศร้อนเทียบกับเวลา.....	62
46 ค่าความแตกต่างอุณหภูมิอากาศตามสัดส่วนมวลอากาศเย็น.....	63
47 ความดันอากาศขาเข้าต่อกการแยกชั้นอุณหภูมิอากาศของท่อวอร์เท็กซ์ ทองเหลือง.....	64
48 ความดันอากาศขาเข้าต่อกการแยกชั้นอุณหภูมิอากาศของท่อวอร์เท็กซ์ สแตนเลส.....	65
49 ความแตกต่างอุณหภูมิอากาศของท่อวอร์เท็กซ์ทองเหลืองและสแตนเลส ทึ้งชุด ที่ความดันอากาศ 1.5 bar.....	66
50 ความแตกต่างอุณหภูมิอากาศของท่อวอร์เท็กซ์ทองเหลืองและสแตนเลส ทึ้งชุด ที่ความดันอากาศ 3 bar.....	67
51 ความแตกต่างอุณหภูมิอากาศเย็นของตันกำเนิดกระແສ່ມູນວນทองเหลือง และพลาสติก.....	68
52 ความแตกต่างอุณหภูมิอากาศของท่อวอร์เท็กซ์ที่ทำการทองเหลือง.....	69
53 ความแตกต่างอุณหภูมิอากาศของท่อวอร์เท็กซ์ที่ทำการสแตนเลส.....	69
54 ความแตกต่างอุณหภูมิอากาศของท่อวอร์เท็กซ์ ที่มีตันกำเนิดกรະແສ່ມູນວນ พลาสติก ที่ความดันอากาศ 1.5 bar.....	70
55 ความแตกต่างอุณหภูมิอากาศของท่อวอร์เท็กซ์ ที่มีตันกำเนิดกรະແສ່ມູນວນ พลาสติก ที่ความดันอากาศ 3 bar.....	71

สารบัญภาพ (ต่อ)

ภาพ	หน้า
56 ประสิทธิภาพไออกซ์เจนไทรปิกของท่อออร์เทกซ์ ทดสอบที่ความดันอากาศ 3 bar.	72
57 ความสามารถการทำความเย็นของท่อออร์เทกซ์ทดสอบ ที่ความดันอากาศ 3 bar.....	73
58 สมรรถนะการทำความเย็นของท่อออร์เทกซ์ ทดสอบที่ความดันอากาศ 3 bar.	74
59 การลดลงของความดันอากาศปกติที่มีผลต่อการแยกชั้นอุณหภูมิอากาศ.....	76
60 ความสัมพันธ์ที่คล้ายกันตามฟังก์ชันของสัดส่วนมวลอากาศ.....	77



อักษรย่อ

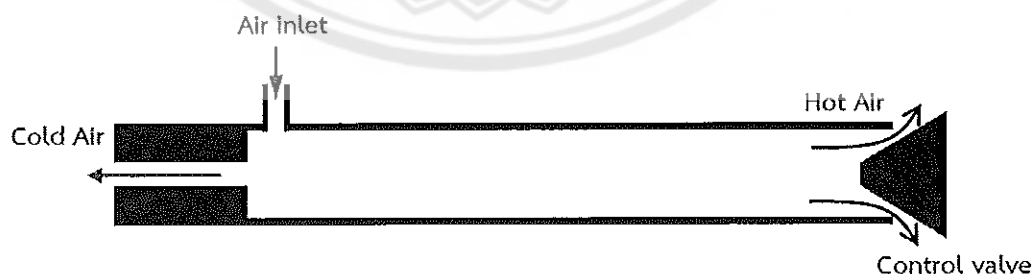
T_{in}	= อุณหภูมิอากาศทางเข้าท่อ
T_c	= อุณหภูมิอากาศปลายท่อเย็น
T_h	= อุณหภูมิอากาศปลายท่อร้อน
ΔT_c	= ความแตกต่างอุณหภูมิอากาศเย็น
ΔT_h	= ความแตกต่างอุณหภูมิอากาศร้อน
P_{in}	= ความดันอากาศขาเข้า
P_{atm}	= ความดันบรรยากาศ
k	= อัตราส่วนความร้อนจำเพาะของอากาศ
CF	= สัดส่วนมวลอากาศเย็น
COP	= สมรรถนะการทำความเย็น
L/D	= ความยาวต่อเส้นผ่าศูนย์กลาง
TEWI	= ค่าดัชนีผลกระเทศที่มีต่อการทำให้เกิดภาวะโลกร้อนเทียบเท่าโดยรวม
GWP	= ค่าศักยภาพในการทำให้เกิดภาวะโลกร้อน
CO_2	= ก๊าซคาร์บอนไดออกไซด์
W	= วัตต์
mm	= มิลลิเมตร

บทที่ 1

บทนำ

ความเป็นมาของปัญหา

ท่อวอร์เทกซ์ (vortex tube) เป็นอุปกรณ์ทำความสะอาดศรีษะและอากาศเย็นได้ในเวลาพร้อมกัน สามารถทำงานได้โดยการบีบอัดของไนลอนที่มีความดันสูงเข้าไปในท่อวอร์เทกซ์ ของไนลอนที่ใช้คืออากาศ อุณหภูมิอากาศปกติที่ใส่เข้าไปในท่อ เกิดการหมุนของกระแสอากาศคล้ายกับสปริง หลังจากนั้นเกิดการแยกชั้นของอุณหภูมิอากาศร้อนและอากาศเย็นออกจากกัน ท่อวอร์เทกซ์จะมีปลายท่อ 2 ด้าน ลักษณะของท่อวอร์เทกซ์แสดงในภาพ 1 อากาศร้อนหรืออากาศที่มีอุณหภูมิสูงจะหล่อออกจากท่อ ด้านขวา ส่วนอากาศเย็นหรืออากาศที่มีอุณหภูมิต่ำจะหล่อออกที่ปลายท่อด้านซ้าย ท่อวอร์เทกซ์ เป็นอุปกรณ์ที่เหมาะสมสำหรับการทำความเย็นเฉพาะจุด เนื่องจากซึ่งที่ปลายท่อทางออกมีขนาดเล็ก เหมาะสำหรับการทำความเย็นที่มีขนาดไม่ใหญ่เกินไป เช่น การเป่าให้ความเย็นกับตู้ควบคุม อิเล็กทรอนิกส์ที่มีอุณหภูมิสูงให้มีอุณหภูมิลดลง การเป่าให้ความเย็นกับชิ้นงานที่มีการตัดหรือการเจาะโลหะซึ่งได้รับความร้อนที่สูง อีกทั้งท่อวอร์เทกซ์ยังมีขนาดเล็ก แข็งแรง กะทัดรัด มีน้ำหนักเบา จึงสะดวกต่อการใช้งาน และขณะทำงานภายในท่อวอร์เทกซ์ไม่มีขีนส่วนใดเคลื่อนที่ ทำให้ลดการดูดและภาระรุ่งรักษาก้า ด้วยข้อดีของท่อวอร์เทกซ์จึงทำให้ท่อวอร์เทกซ์เป็นอุปกรณ์ทำความสะอาดเย็น ชนิดหนึ่งที่ได้รับความสนใจจากผู้สนใจศึกษาหลายท่าน (วรรณรัตนพิสัย, 2011)



ภาพ 1 ลักษณะรูปร่างและการทำงานของท่อวอร์เทกซ์

ที่มา: Elamsa-ard, & Promvonge, 2008

อุปกรณ์ทำความเย็นที่ใช้งานทั่วไปมีหลายชนิด เช่น ตู้เย็น ตู้แช่ เครื่องปรับอากาศ หรือแม้กระถังการทำความเย็นในโรงงานอุตสาหกรรม สารทำความเย็นที่ใช้ในปัจจุบันประกอบด้วยสารคลอร์ฟลูอโตรคาร์บอน (Chlorofluorocarbon หรือ CFC) ซึ่งเป็นสารที่มีผลกระทบต่อสิ่งแวดล้อมทำให้เกิดภาวะเรือนกระจก ผลให้ชั้นบรรยากาศของโลกมีอุณหภูมิสูงขึ้นในระดับที่แตกต่างกันตามส่วนประกอบของสารที่ส่งผลกระทบต่อชั้นบรรยากาศ โดยพิจารณาจากค่าสัดยภาพในการเกิดภาวะโลกร้อน (Global Warming Potential หรือ GWP) ในการทำงานท่ออโวร์เท็กซ์จะไม่ใช้สารทำความเย็นที่เป็นอันตราย แต่สามารถใช้อากาศเป็นสารทำความเย็น โดยทำให้เกิดปรากฏการณ์การแยกชั้นอากาศในท่ออโวร์เท็กซ์ เช่นเดียวกับ ในโทรศัพท์ 移动电话 และคาร์บอนไดออกไซด์ ซึ่งถือได้ว่าท่ออโวร์เท็กซ์เป็นอุปกรณ์ทำความเย็นชนิดหนึ่งที่ไม่มีผลกระทบต่อสิ่งแวดล้อม

หากกล่าวถึงอุปกรณ์ทำความเย็นที่ไม่มีการใช้สารทำความเย็นที่มีผลกระทบต่อสิ่งแวดล้อม เช่นเดียวกับท่ออโวร์เท็กซ์ วัสดุเทอร์โมอิเล็กทริกเป็นอีกแหล่งพลังงานทางเลือกหนึ่งที่สามารถและเป็นมิตรกับสิ่งแวดล้อม ซึ่งเป็นวัสดุสารกึ่งตัวนำที่สามารถผลิตไฟฟ้าได้เมื่อเกิดความแตกต่างของด้านที่มีอุณหภูมิสูงและต่ำ แต่ถ้าหากมีการผ่านกระแสไฟฟ้าเข้าไปในตัววัสดุเทอร์โมอิเล็กทริก จะสามารถผันกลับทำให้เกิดด้านที่เกิดความร้อนและความเย็นได้ด้วย วัสดุเทอร์โมอิเล็กทริก มีลักษณะเป็นแผ่นโลหะกึ่งตัวนำสองด้าน ด้านหนึ่งสร้างความเย็นและอีกด้านหนึ่งสร้างความร้อน ทำงานได้โดยการจ่ายไฟฟ้ากระแสตรงเข้าไปในวัสดุ มีการนำไปประยุกต์ใช้งานเป็นกระติกเก็บวัคซีนด้วยอุปกรณ์เทอร์โมอิเล็กทริก ช่วยรักษาอุณหภูมิที่เหมาะสมกับวัคซีนเคลื่อนย้ายได้ง่าย (วิรัช กองสิน, 2557) แต่ถึงอย่างไรก็ตาม ท่ออโวร์เท็กซ์ยังเป็นอุปกรณ์ทำความเย็นที่ได้เบรียบกว่าวัสดุเทอร์โมอิเล็กทริกเนื่องจากสามารถทำความเย็นเฉพาะจุดได้ดีกว่า

การทำงานของท่ออโวร์เท็กซ์ที่ไม่ซับซ้อน เพียงการป้อนอากาศที่มีความดันสูงเข้าไปในท่อ ก็สามารถทำความเย็นได้ ได้มีนักวิจัยหลายท่านเล็งเห็นประโยชน์และความสามารถของท่ออโวร์เท็กซ์ โดยแบ่งการศึกษาออกเป็น 2 ส่วน ส่วนที่หนึ่งสนใจศึกษาเพื่อการพัฒนาประสิทธิภาพของท่ออโวร์เท็กซ์ให้มีประสิทธิภาพการทำงานดีขึ้น และส่วนที่สองศึกษาเพื่อนำท่ออโวร์เท็กซ์ไปประยุกต์ใช้งาน ในงานวิจัยส่วนใหญ่มีการพัฒนาท่ออโวร์เท็กซ์อย่างต่อเนื่อง จากบทความวิจัยท่ออโวร์เท็กซ์ของ Eiamsa-ard, & Promvonge (2008) พบว่าประสิทธิภาพของท่ออโวร์เท็กซ์ ขึ้นอยู่กับตัวแปรหลักสองกลุ่ม กลุ่มแรกคือตัวแปรทางกายภาพ (Thermo-physical parameters) เช่น ความดันที่ป้อน ชนิดของของไหล สัดส่วนมวลอากาศเย็น และกลุ่มที่สองคือลักษณะรูปทรงทางเรขาคณิตของชิ้นส่วนประกอบท่ออโวร์เท็กซ์ (Geometrical characteristics) เช่น ขนาดเส้นผ่านศูนย์กลางและความยาวของท่อร้อนและท่อเย็น เส้นผ่านศูนย์กลางของอากาศเย็น ฐานร่องของท่อ

ร้อน จำนวนหัวใจ รูปร่างของหัวใจ และรูปร่างของวาร์คุณอัตราการไฟลอกาก เป็นต้น เมื่อ ท่อ瓦อร์เต็กซ์มีประสิทธิภาพการทำงานที่ดี จะส่งผลทำให้ความสามารถในการทำงานเย็นของท่อ วาอร์เต็กซ์สูงขึ้นและยังช่วยให้อุณหภูมิที่ปล่อยออกจากห้องลดลงด้วย

งานวิจัยนี้ผู้วิจัยได้เห็นถึงประโยชน์ของท่อ瓦อร์เต็กซ์ซึ่งเป็นอุปกรณ์ที่สามารถทำความเย็นและเป็นอุปกรณ์ที่มีขนาดเล็ก การทำงานง่าย ไม่หักห้อน ท่อ瓦อร์เต็กซ์ในปัจจุบันเป็นอุปกรณ์ที่ มีราคาค่าอน้ำจืดสูง และส่วนมากกูปผลิตชิ้นสำหรับเป็นสินค้าเชิงพาณิชย์ เพื่อเป็นการลดต้นทุนในการสร้างท่อ瓦อร์เต็กซ์ และเพื่อให้ท่อ瓦อร์เต็กซ์มีประสิทธิภาพการทำงานที่ดี จากงานวิจัยที่ได้ศึกษา มา ก่อนหน้านี้ พบว่าวัสดุที่นำมาทำท่อ瓦อร์เต็กซ์มีส่วนประกอบหลักมาจากวัสดุหดเหลวชนิด ได้แก่ สแตนเลส ทองเหลือง ทองแดง อะลูมิเนียม พลาสติก ซึ่งในหลายงานวิจัยมีการใช้วัสดุที่แตกต่าง กัน อีกทั้งยังมีขนาดและลักษณะที่แตกต่างกันด้วย ถือว่ายากต่อการนำมาเปรียบเทียบ ประสิทธิภาพของท่อ瓦อร์เต็กซ์ ดังนั้นงานวิจัยนี้สนใจศึกษาประสิทธิภาพการทำงานเย็นของท่อ วาอร์เต็กซ์ โดยเน้นไปที่การศึกษาชนิดวัสดุที่นำมาสร้างท่อ瓦อร์เต็กซ์ ระหว่างท่อ瓦อร์เต็กซ์ที่ทำจาก สแตนเลส ซึ่งเป็นวัสดุที่มีการนำไปใช้งานในอุตสาหกรรมการผลิตท่อ瓦อร์เต็กซ์ เปรียบเทียบกับท่อ วาอร์เต็กซ์ที่ทำจากทองเหลือง ซึ่งเป็นวัสดุที่มีค่าการนำความร้อนสูงกว่าสแตนเลส อีกทั้งยังเป็นวัสดุ ที่ได้รับความสนใจนำมาทดสอบปะสิทธิภาพจากนักวิจัยหลายท่าน ในการสร้างท่อ瓦อร์เต็กซ์ จะ ขึ้นอยู่กับวัสดุที่ใช้ ขนาด สัดส่วน ของชิ้นส่วนประกอบที่สำคัญของท่อ瓦อร์เต็กซ์จากงานวิจัยที่เกี่ยวข้อง เพื่อเป็นแนวทางในการออกแบบสร้างท่อ瓦อร์เต็กซ์

จุดมุ่งหมายของการศึกษา

1. เพื่อออกแบบสร้างท่อ瓦อร์เต็กซ์ และทดสอบประสิทธิภาพการทำงานเย็นของท่อ วาอร์เต็กซ์ที่ทำจากสแตนเลสและทองเหลือง
2. เพื่อศึกษาการประเมินค่าการปล่อยก๊าซเรือนกระจกจากของท่อ瓦อร์เต็กซ์

ขอบเขตของการวิจัย

1. ศึกษางานวิจัยเกี่ยวกับการทำงานเย็นของท่อ瓦อร์เต็กซ์ สำหรับอัตราการออกแบบ และสร้างท่อ瓦อร์เต็กซ์
2. สร้างชิ้นส่วนประกอบทั้งหมดของท่อ瓦อร์เต็กซ์ ที่ทำจากวัสดุต่างกัน 2 ชนิด ได้แก่ ทองเหลืองทั้งชุด และสแตนเลสทั้งชุด
3. ทดสอบการทำงานของท่อ瓦อร์เต็กซ์โดยใช้ภาคีเป็นสารทำความเย็น

4. ทดสอบประสิทธิภาพการทำความเย็นของท่อออร์เทกซ์ ที่ความดันอากาศ 1.5 bar และ 3 bar และทำการปรับค่าสัดส่วนมวลอากาศเย็นต่างกัน

5. ศึกษาอุณหภูมิอากาศขาเข้าที่ป้อนเข้าไปในท่อออร์เทกซ์ภายใต้สภาวะแวดล้อมจริง และไม่พิจารณาความชื้นของอากาศ

6. เปรียบเทียบประสิทธิภาพการทำความเย็นของท่อออร์เทกซ์ที่ทำจากทองเหลืองและสแตนเลส

7. ประเมินค่าการปล่อยก๊าซเรือนกระจกของท่อออร์เทกซ์ที่ใช้สารทำความเย็นจากธรรมชาติเปรียบเทียบกับระบบทำความเย็นที่ใช้สารทำความเย็นอื่น ซึ่งเป็นสารทำงานที่มีผลกระทบต่อสิ่งแวดล้อม โดยการพิจารณาการปล่อยก๊าซเรือนกระจกจากค่าผลกระทบรวมของค่าดัชนีผลกระทบที่มีต่อการทำให้เกิดภาวะโลกร้อนเทียบเท่าโดยรวม (Total Equivalent Warming Impact หรือ TEWI)

นิยามศัพท์เฉพาะ

1. ท่อออร์เทกซ์เป็นอุปกรณ์ทำความเย็นชนิดหนึ่ง ที่สามารถผลิตกระแสอากาศร้อนและกระแสอากาศเย็นได้ภายในเวลาพร้อมกัน ทำงานโดยการอัดอากาศที่มีความดันสูงเข้าไปภายในท่อ

2. สารทำความเย็นธรรมชาติ คือสารทำงานชนิดหนึ่งที่ได้จากธรรมชาติ ใช้สำหรับระบบทำความเย็น ซึ่งจะไม่มีผลก่อให้เกิดการปล่อยก๊าซเรือนกระจกหรือเรียกว่าเป็นสารทำความเย็นที่มีค่าศักยภาพในการทำให้เกิดภาวะโลกร้อน (GWP) เท่ากับ 0 ซึ่งสารทำความเย็นจากธรรมชาติมีหลายชนิด เช่น น้ำ อากาศ ในไตรเจน ออกซิเจน แอมโมเนีย ในการวิจัยนี้จะใช้อากาศเป็นสารทำความเย็นสำหรับท่อออร์เทกซ์

3. ความแตกต่างอุณหภูมิอากาศเย็น คือความแตกต่างระหว่างอุณหภูมิอากาศที่ป้อนเข้าไปในท่อและอุณหภูมิอากาศปลายท่อเย็นของท่อออร์เทกซ์

4. ความแตกต่างอุณหภูมิอากาศร้อน คือความแตกต่างระหว่างอุณหภูมิอากาศปลายท่อร้อนและอุณหภูมิอากาศที่ป้อนเข้าไปในท่อออร์เทกซ์

5. ค่าสัดส่วนมวลอากาศเย็น คือตัวแปรที่บ่งถึงประสิทธิภาพของท่อออร์เทกซ์ สามารถหาได้จากการอัตราส่วนระหว่างอัตราการไหลของมวลอากาศเย็นต่ออัตราการไหลของมวลอากาศที่ป้อนเข้าไปในท่อออร์เทกซ์

6. ประสิทธิภาพการทำความเย็นของท่อออร์เทกซ์ สามารถพิจารณาได้จากประสิทธิภาพไกเซนโตรปิก ความสามารถการทำความเย็น และสมรรถนะการทำความเย็น

7. การประเมินค่าการปล่อยก๊าซเรือนกระจกของท่อออร์เท็กซ์ สามารถพิจารณาจากค่าดัชนีผลกระทบที่มีต่อการทำให้เกิดภาวะโลกร้อนเทียบเท่าโดยรวม (Total Equivalent Warming Impact หรือ TEWI) ซึ่งเป็นค่าที่ปัจบุกถึงผลกระทบรวมที่มีต่อภาวะโลกร้อน เป็นผลกระทบทางตรงจากการใช้สารทำความเย็น และผลกระทบทางอ้อมจากการใช้ไฟฟ้าในการทำงาน

สมมติฐานของการวิจัย

ท่อออร์เท็กซ์ที่ได้ออกแบบและสร้างขึ้นจากวัสดุต่างกันสองชนิด ระหว่างวัสดุที่ทำจากทองเหลืองและสแตนเล斯สามารถลดต่ำลงได้มากกว่าท่อออร์เท็กซ์ที่ทำจากทองเหลือง มีประสิทธิภาพการทำความเย็นต่ำกว่าท่อออร์เท็กซ์ที่ทำจากสแตนเลสซึ่งเป็นวัสดุที่มีค่าการนำความร้อนต่ำกว่า และท่อออร์เท็กซ์ที่ใช้อากาศเป็นสารทำความเย็นมีผลกระทบต่อสิ่งแวดล้อมต่ำกว่าการใช้สารทำความเย็นอื่นเป็นสารทำงาน

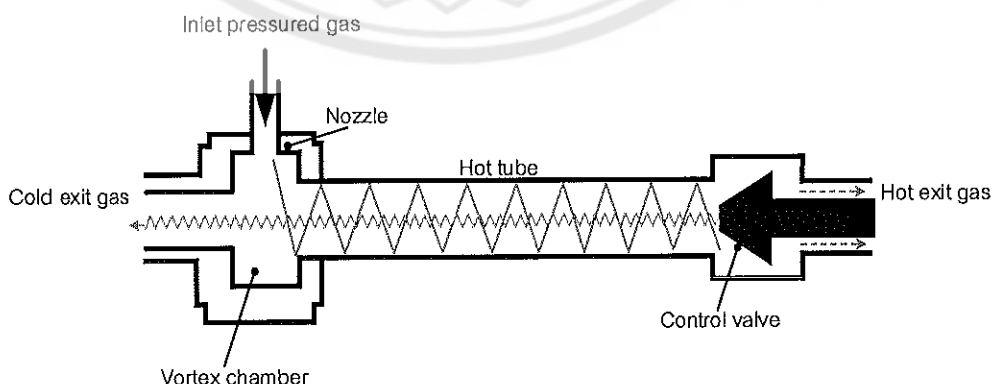


บทที่ 2

เอกสารและงานวิจัยที่เกี่ยวข้อง

ท่อวอร์เท็กซ์ (Vortex tube)

ท่อวอร์เท็กซ์หรือเรียกอีกอย่างหนึ่งว่า ท่อแรนคิว-ไฮล์ชอร์เท็กซ์ (Ranque-Hilsch vortex tube) เป็นท่อที่มีลักษณะเรียบง่าย ภายในลำท่อเกิดการแยกชั้นของกระแสอากาศร้อนและกระแสอากาศเย็นออกจากกันได้ภายในเวลาเดียว กุกคั่นพับครั้งแรกในปี 1933 โดยนักฟิสิกส์ชาวฝรั่งเศสชื่อ แรนคิว ในช่วงแรกท่อวอร์เท็กซ์มีประสิทธิภาพต่ำมากจึงไม่ได้รับความสนใจและยังไม่เป็นที่รู้จักของนักวิจัย ต่อมามีนักฟิสิกส์ชาวเยอรมันชื่อ อิลล์ ศึกษาการทำงานของท่อวอร์เท็กซ์ ด้วยการสร้างท่อวอร์เท็กซ์ที่มีลักษณะโครงสร้าง ขนาด ชิ้นส่วนเป็นตัวแปรที่มีผลต่อสมรรถนะของท่อ ผลการศึกษาของอิลล์สามารถนำมาใช้งานได้อย่างมีประสิทธิภาพมากขึ้น ท่อวอร์เท็กซ์จึงเป็นที่รู้จักมากขึ้น ท่อวอร์เท็กซ์ถูกดัดแปลงตามผู้คิดค้นและลักษณะการเกิดกระแสหมุนวนภายในท่อ ดังภาพ 2 ท่อมีลักษณะรูปทรงกรวยบอกคล้ายด้ามที่ การทำงานเริ่มจากอากาศที่มีความดันสูงถูกป้อนเข้าไปในท่อ อากาศไหลผ่านหัวฉีดหรืออนอสเซิล เกิดกระแสหมุนวนของอากาศคล้ายสปริงให้ไปตามลำท่อ กระแสอากาศร้อนจะเคลื่อนที่ไปรอบผิวด้านในเชิงไอล์กับผนังและไหลไปตามลำท่อ ร้อน อากาศส่วนหนึ่งเป็นกระแสอากาศร้อนได้หลอกไปที่ปลายท่อร้อนที่มีวาวล์ควบคุมติดตั้งอยู่ทางด้านขวาของภาพ ส่วนอากาศบริเวณแกนกลางลำท่อจะมีอุณหภูมิต่ำกว่า ไหลไปชนกับพื้นที่หน้าตัดของวาล์วควบคุม และไหลกลับไปที่หัวฉีดอีกครั้ง โดยมีสองอากาศขนาดเล็กสำหรับปล่อยกระแสอากาศเย็นออกไปที่ปลายท่อด้านซ้ายของภาพ 2

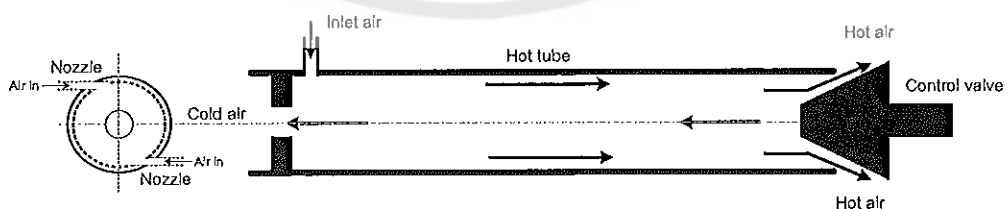


ภาพ 2 ลักษณะการเกิดกระแสหมุนวนภายในท่อวอร์เท็กซ์

1. รูปแบบของท่ออวอร์เท็กซ์

โดยทั่วไปแล้วท่ออวอร์เท็กซ์สามารถแบ่งประเภทตามลักษณะการไหลออกเป็น 2 แบบ คือท่ออวอร์เท็กซ์แบบไอลส่วนทางกันและท่ออวอร์เท็กซ์แบบไอลไปทางเดียวกัน ลักษณะของแต่ละรูปแบบแสดงดังภาพ 3 และภาพ 4 ตามลำดับ

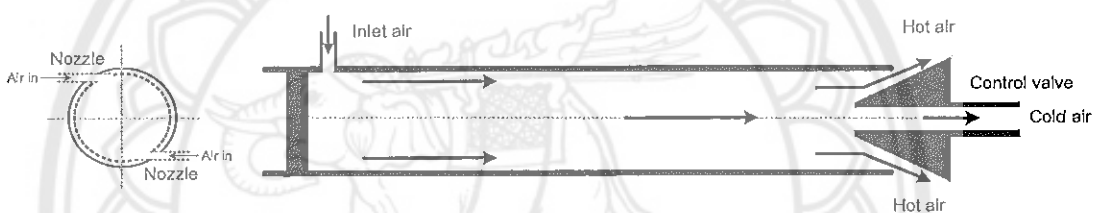
1.1 ท่ออวอร์เท็กซ์แบบไอลส่วนทางกัน (Counter flow vortex tube) หมายถึงกระแสอากาศที่เกิดขึ้นภายในท่ออวอร์เท็กซ์มีการไหลออกจากปลายท่อคนละทาง ซึ่งกระแสอากาศร้อนไหลไปตามลำดับร้อนแล้วถูกปล่อยออกที่ปลายท่อด้านขวา และกระแสอากาศเย็นไหลออกไปที่ปลายท่อด้านซ้าย ลักษณะของท่ออวอร์เท็กซ์แบบไอลส่วนทางกันแสดงในภาพ 3 ประกอบไปด้วยทางเข้าของอากาศที่อยู่ติดกับหัวฉีดและมีช่องอากาศอยู่ต่างกลาง ท่อร้อน และวาล์วควบคุม เมื่ออากาศที่มีความดันสูงถูกอัดเข้าไปในท่อในแนวสัมผัสฝ่านหัวฉีดที่มีช่องสำหรับอากาศเข้ามากกว่าหัวฉีดกับหนึ่งที่ความเร็วสูง อากาศที่เข้าไปในท่อจะเกิดการหมุนขึ้นอย่างรวดเร็ว อากาศจะไหลไปตามลำดับมากกว่าที่จะไหลออกไปที่ช่องอากาศ เพราะช่องอากาศที่อยู่ติดกับหัวฉีดมีขนาดเล็กมากเมื่อเทียบกับขนาดหัวฉีด ขณะที่อากาศกระจายตัวไปตามลำดับ ความดันอากาศลดลงอย่างรวดเร็วซึ่งมีค่าสูงกว่าความดันบรรยากาศเพียงเล็กน้อย และความเร็วของอากาศมีค่าเข้าใกล้กับความเร็วเดิม อากาศจะไหลไปที่ปลายท่อด้านขวา ปริมาณอากาศส่วนหนึ่งซึ่งเป็นกระแสอากาศร้อนจะไหลออกไปที่ปลายท่อด้านขวาผ่านช่องอากาศที่อยู่ต่างกลางของหัวฉีด (Eiamsa-ard, & Promvonge, 2008)



ภาพ 3 ท่ออวอร์เท็กซ์แบบไอลส่วนทางกัน

ที่มา: Eiamsa-ard, & Promvonge, 2008

1.2 ท่อออร์เท็กซ์แบบไอล์ฟายว์ทูบ (Up-flow vortex tube) หรือเรียกชื่อเช่นเดียวกัน หนึ่งว่าแบบไอล์ฟานานกัน คือกระแสอากาศร้อนและกระแสอากาศเย็นในไอล์ฟายว์ทูบเดียวกัน แต่ทั้งสองกระแสอากาศมีการไหลออกจากท่อคนละช่อง โดยที่อากาศร้อนจะไหลออกไปตามผิวด้านข้างของวาล์วควบคุม และอากาศเย็นจะไหลออกไปยังช่องตรงกลางของวาล์วควบคุม ถูกแสดงลักษณะในภาพ 4 ซึ่งประกอบด้วยทางเข้าของอากาศที่อยู่ติดกับหัวฉีด ท่อร้อน และวาล์วควบคุมอากาศที่มีช่องอากาศอยู่ตรงกลาง ซึ่งจะไม่เหมือนกับท่อออร์เท็กซ์แบบไอล์ฟานานกัน ทางออกของอากาศเย็นจะเป็นช่องวงกลมตรงกลางของวาล์วควบคุม การทำงานของท่อออร์เท็กซ์แบบไอล์ฟายจะทำงานเหมือนกับท่อออร์เท็กซ์แบบไอล์ฟานานกัน (Eiamsa-ard, & Promvonge, 2008)



ภาพ 4 ท่อออร์เท็กซ์แบบไอล์ฟายว์ทูบ

ที่มา: Eiamsa-ard, & Promvonge, 2008

ท่อออร์เท็กซ์ทั้งสองรูปแบบถูกนำไปใช้งานในอุตสาหกรรม โดยที่ท่อออร์เท็กซ์แบบไอล์ฟานานเป็นรูปแบบมาตรฐาน มีการนำมาใช้งานสำหรับการประยุกต์ใช้งานอย่างแพร่หลาย เนื่องจากสามารถปล่อยกระแสอากาศร้อนและกระแสอากาศเย็นได้อย่างชัดเจนที่ปลายท่อคนละด้าน โดยทั่วไปรูปแบบการไหลทางเดียวกันจะมีประสิทธิภาพต่ำเมื่อเทียบกับรูปแบบการไหลสวนทางกัน (Ameen, 2006)

2. ส่วนประกอบของท่อออร์เท็กซ์

ชิ้นส่วนสำคัญของท่อออร์เท็กซ์ ที่สามารถทำให้ท่อออร์เท็กซ์ทำงานผลิตความร้อน และความเย็นได้มีส่วนประกอบหลักดังนี้

2.1 ตันกำเนิดกระแสหมุนวน (Vortex generator) เป็นชิ้นส่วนประกอบสำคัญของท่อออร์เท็กซ์ ตันกำเนิดกระแสหมุนวนมีช่องของหัวฉีดหรือносเซชิล (Nozzle) สำหรับให้อากาศไหลผ่านได้ ตัวแห่งของหัวฉีดแสดงในด้านข้างของภาพ 2 ติดตั้งบริเวณห้องสร้างกระแสหมุนวน

อากาศที่ถูกอัดเข้าไปในห้องวอร์เทกซ์จะไหลผ่านหัวฉีด ทำให้เกิดกระแสลมวนของอากาศขึ้น มีลักษณะเป็นวงกลมคล้ายสบิง โดยทั่วไปหัวฉีดที่นำมาศึกษา กับห้องวอร์เทกซ์จะมีตั้งแต่ 1 หัวฉีดขึ้นไป นอกจานนี้ต้นกำเนิดกระแสลมวนยังมีช่องอากาศอยู่ตรงกลางเรียกว่า ช่องอากาศเย็น ซึ่งทำหน้าที่ปล่อยกระแสอากาศเย็นออกไปยังปลายท่อ

2.2 ห้อร้อน (Hot tube) เป็นชิ้นส่วนที่อยู่ติดกับห้องสร้างกระแสลมวน มีการลำเลียงอากาศไปตามลำท่อ แสดงลักษณะและตำแหน่งของห้อร้อนในภาพ 2 ซึ่งเป็นบริเวณที่มีการเกิดการแยกชั้นของกระแสอากาศร้อนและอากาศเย็นออกจากกัน จากการศึกษางานวิจัยที่เกี่ยวข้อง พบว่า มีการเกิดความเสียดทานของอากาศและผนังภายในห้อ จึงทำให้คุณภาพอากาศที่ใกล้กับผนังท่อร้อนสูงขึ้น

2.3 วาล์วควบคุม (Control valve) เป็นชิ้นส่วนประกอบหนึ่งถูกติดตั้งบริเวณปลายห้อด้านร้อน ตำแหน่งด้านขวาของภาพ 2 หลังจากเกิดกระแสลมวนภายในห้องวอร์เทกซ์ กระแสอากาศที่อยู่รอบผิวห้อร้อนถูกปล่อยออกไปที่ปลายห้อด้านที่มีวาล์วควบคุม โดยมีช่องว่างสำหรับให้อากาศร้อนไหลออกไปอย่างต่อเนื่อง นอกจานนี้วาล์วควบคุมยังทำหน้าที่ให้กระแสอากาศที่อยู่บริเวณแกนกลางห้อไหลย้อนกลับไปที่ช่องอากาศเย็นของต้นกำเนิดกระแสลมวน ซึ่งสามารถควบคุมปริมาณอากาศที่ไหลออกจากห้อได้ด้วยการหมุนวาล์วควบคุมที่ปลายห้อตามที่ต้องการ

3. การประยุกต์ใช้งานห้องวอร์เทกซ์

Reddy et al. (2013) ได้ทำการทดลองนำอากาศเย็นที่ได้จากห้องวอร์เทกซ์ไปติดตั้งใช้งานจริงกับรถยนต์ส่วนบุคคล ทดสอบโดยใช้อากาศที่มีความดัน 2 bar อัดเข้าไปภายในห้องวอร์เทกซ์และปล่อยอากาศเย็นให้กับห้องโดยสารรถยนต์ พบว่าห้องวอร์เทกซ์สามารถลดอุณหภูมิห้องจากปลายห้อเย็นได้สูงสุด 7 °C ที่ค่าสัดส่วนมวลอากาศเย็น 0.74 และห้องวอร์เทกซ์มีค่าสัมประสิทธิ์สมรรถนะการทำความเย็นของห้องวอร์เทกซ์ 0.34

Duspara et al. (2013) ได้ศึกษาการนำห้องวอร์เทกซ์ไปประยุกต์ให้ความเย็นกับเครื่องมือการกลึงพบว่าอุณหภูมิความเย็นของห้องวอร์เทกซ์ช่วยยืดอายุการทำงานของเครื่องมือได้ยาวนานขึ้นและช่วยให้ชิ้นงานที่ได้จากการตัดกลึงเสียหายน้อยลงอีกด้วย

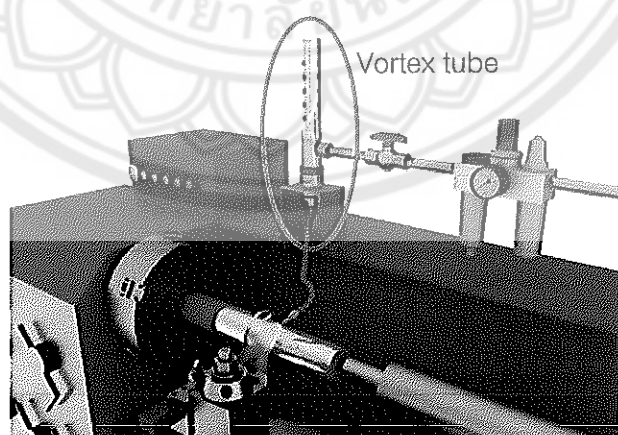
Xiaojie Zhai (2017) ได้ศึกษาถึงความเหมาะสมของการประยุกต์ใช้งานห้องวอร์เทกซ์เข้ากับเสื้อระบายน้ำร้อนสำหรับทำงานในเหมืองแร่ถ่านหิน โดยได้ทำการสร้างแบบจำลองทางตัวเลขเพื่อสังเกตการเปลี่ยนแปลงอุณหภูมิของร่างกายคนงานในเหมืองแร่ พบว่าห้องวอร์เทกซ์มีโอกาสที่จะสามารถนำไปใช้งานได้ เพราะใช้หลักการทำงานที่ง่าย สะดวกในการพกพา อีกทั้งการทำงานยังมีความคงที่และคงทน

สีนีพր จันทร์สว่าง, และวราภรณ์ รัตตนพิสัย (2560) "ไดศึกษาการนำอากาศเย็นจากท่ออวอร์เท็กซ์ สำหรับลดอุณหภูมิภายในตู้ทดลองที่มีให้ลดความร้อน พบว่าท่ออวอร์เท็กซ์สามารถทำความเย็นได้สูงสุด 70 W และสามารถลดอุณหภูมิจากทางเข้าไปที่ปลายท่อได้สูงสุด 27°C เมื่อให้ลดความร้อนทำงานพบว่าภายในตู้ทดลองมีอุณหภูมิสูงขึ้น 1.1°C /นาที ขณะที่ให้ความเย็นจากท่ออวอร์เท็กซ์ทำงานพร้อมกับให้ลดความร้อน พบว่าความเย็นจากท่ออวอร์เท็กซ์ช่วยลดอุณหภูมิภายในตู้ให้เพิ่มขึ้นช้าลง โดยมีอัตราการเพิ่มขึ้นเหลือเพียง 0.6°C /นาที นั่นแสดงให้เห็นว่าความเย็นจากท่ออวอร์เท็กซ์ช่วยในการลดความร้อนภายในตู้ทดลองได้



ภาพ 5 เสื้อทำความเย็นจากท่ออวอร์เท็กซ์

ที่มา: Xiaojie Zhai, 2017



ภาพ 6 การทำความเย็นสำหรับการกลึงชิ้นงาน

ที่มา: AIRMASTER, 2019

ท่อวอร์เท็กซ์มีลักษณะเด่นคือเป็นอุปกรณ์ที่ไม่มีชิ้นส่วนใดเคลื่อนที่ได้และง่ายต่อการนำไปใช้งาน ท่อวอร์เท็กซ์มีการนำไปใช้เป็นอุปกรณ์ทำความสะอาดเย็นในเครื่องบิน ชุดอวกาศและในเหมืองแร่ ท่อวอร์เท็กซ์ผลิตในเชิงพาณิชย์สำหรับธุรกิจการทำความเย็น มีการนำท่อวอร์เท็กซ์ไปใช้ประโยชน์อย่างแพร่หลาย เช่น การทำความสะอาดเย็นจากท่อวอร์เท็กซ์ไปประกอบเป็นชุดทำความสะอาดตั้งภาค 5 สำหรับทำความสะอาดเย็นให้กับบุคคลที่ต้องการทำงานในบริเวณที่มีอุณหภูมิสูง การทำความสะอาดเย็นไปใช้สำหรับการตัดและกลึงชิ้นงานที่มีความร้อนสูงตั้งภาค 6 เพื่อช่วยลดความเสียหายของชิ้นงานและยืดอายุการทำงานให้นานขึ้นด้วย นอกจากนี้ยังมีการนำความเย็นของท่อวอร์เท็กซ์ไปใช้งานในอุตสาหกรรม เพื่อช่วยลดอุณหภูมิให้กับตู้ควบคุมแพงวงจรอิเล็กทรอนิกส์ซึ่งมีอุณหภูมิที่สูงแสดงลักษณะการนำไปใช้งานตามภาค 7 เพื่อช่วยเพิ่มประสิทธิภาพของตู้ควบคุมให้ทำงานได้ยาวนานและมีประสิทธิภาพมากขึ้น



ภาพ 7 การทำความสะอาดเย็นสำหรับตู้ควบคุมไฟฟ้าที่มีแพงวงจรอิเล็กทรอนิกส์

ที่มา: VorTech, 2019

ทฤษฎีอิบायปรากวการณ์ภายในท่อวอร์เท็กซ์

จากการศึกษาของวิจัยที่ผ่านมา มีนักวิจัยหลายคน “ได้อิบायถึงหลักการที่เกิดขึ้นกับท่อวอร์เท็กซ์ มีหลักทฤษฎีที่อิบायถึงกันไว้ที่ทำให้เกิดกระแสแลดูร้อนและกระแสเย็นขึ้นว่าเป็นการแยกชั้นทางความร้อน การแยกชั้นพลังงาน หรือการแยกชั้นของอุณหภูมิของท่อวอร์เท็กซ์ ซึ่งมีนักวิจัยหลายท่านได้ให้เหตุผลของการเกิดปรากวการณ์ที่เกิดขึ้นหลากหลาย โดยจะนำเสนอทฤษฎีที่เกี่ยวข้องดังนี้

1. ความเสียดทานและความบันปวน (Friction and turbulence)

Hilsch (1947) ได้อธิบายปรากฏการณ์ที่เกิดขึ้นกับท่อวอร์เทกซ์ ที่เกิดจากการขยายตัวของการอัดแก๊สเข้าไปในท่อ ปรากฏการณ์ของความเสียดทานที่เกิดขึ้น เริ่มจากเมื่ออากาศผ่านเข้าไปยังท่อวอร์เทกซ์ให้ผ่านหัวจีด เกิดการหมุนลักษณะเป็นการเหวี่ยงหนีศูนย์กลางขึ้นจากบริเวณที่มีความดันสูงขึ้นของไกล์กับผนังด้านใน ไปยังบริเวณที่มีความดันต่ำกว่าไกล์กับแกนท่อ ในระหว่างนั้นเกิดการขยายตัวของอากาศขึ้น พลังงานจะลงช่องอากาศเพิ่มขึ้น ซึ่งพลังงานงานจลน์ที่เกิดขึ้นมีการถ่ายเทไปยังรอบขอบผนังภายในท่อวอร์เทกซ์ เมื่ออากาศภายในท่อมีความเร็วมากทำให้อากาศที่อยู่ภายนอกท่อเกิดแรงเสียดทานกับผนังท่อ ผลให้กระแทกอากาศที่อยู่ภายนอกบริเวณรอบขอบติดกับผนังที่มีอุณหภูมิสูงขึ้น ประสิทธิภาพการทำความเย็นของท่อวอร์เทกซ์สามารถคำนวณหาได้จากประสิทธิภาพการทำความเย็นการขยายตัวของแก๊สสมบูรณ์ของเอเดียมบิติก (Adiabatic expansion of a perfect gas) ที่เกิดขึ้นจากภายในของท่อวอร์เทกซ์ไปยังงานภายนอก

Devade, & Pise (2017) ได้กล่าวถึงทฤษฎีของฟลุทอน (Fulton's theory) โดยอธิบายถึงปรากฏการณ์ของท่อวอร์เทกซ์ หลังจากที่อากาศเข้าไปในท่อแบบอิสระ พบว่าอากาศมีความเร็วเชิงมุมต่ำที่บริเวณภายในรอบท่อไกล์ผิว และมีความเร็วเชิงมุมสูงขึ้นที่แกนตรงกลางท่อ เกิดแรงเสียดทานขึ้นเนื่องจากการหมุนของอากาศภายในท่อระหว่างกระแทกอากาศที่อยู่ข้างนอกไกล์ผนังท่อ และขึ้นที่อยู่แกนตรงกลางท่อ อากาศที่อยู่รอบนอกจะได้รับพลังงานจลน์มากกว่าเมื่อเปรียบเทียบ กับการปล่อยพลังงานภายในท่อ ทำให้อุณหภูมิของอากาศที่อยู่รอบขอบท่อสูงขึ้น ส่วนกระแทกอากาศที่อยู่ตรงกลางหรือแกนกลางท่อได้มีการสูญเสียพลังงานจลน์เกิดขึ้นจึงทำให้อุณหภูมิต่ำลง ฟลุทอนยังได้กล่าวถึงการบันปวนที่เกิดขึ้นว่า กระแทกอากาศที่เกิดขึ้นในท่อเกิดขึ้นแบบอิสระ ของไอล์มความเร็วที่มีค่าต่ำกว่าความเร็วเสียง (Subsonic) แต่ยังไม่มีหลักการที่จะมาอธิบายทฤษฎีของฟลุทอนเกี่ยวกับการบันปวนที่เกิดขึ้น ซึ่งยังต้องการผลการทดลองและการทดสอบเพิ่มเติมเพื่อเป็นการสนับสนุนทฤษฎีนี้

2. ไมเมนตัมเชิงมุมและเอนโทรปี

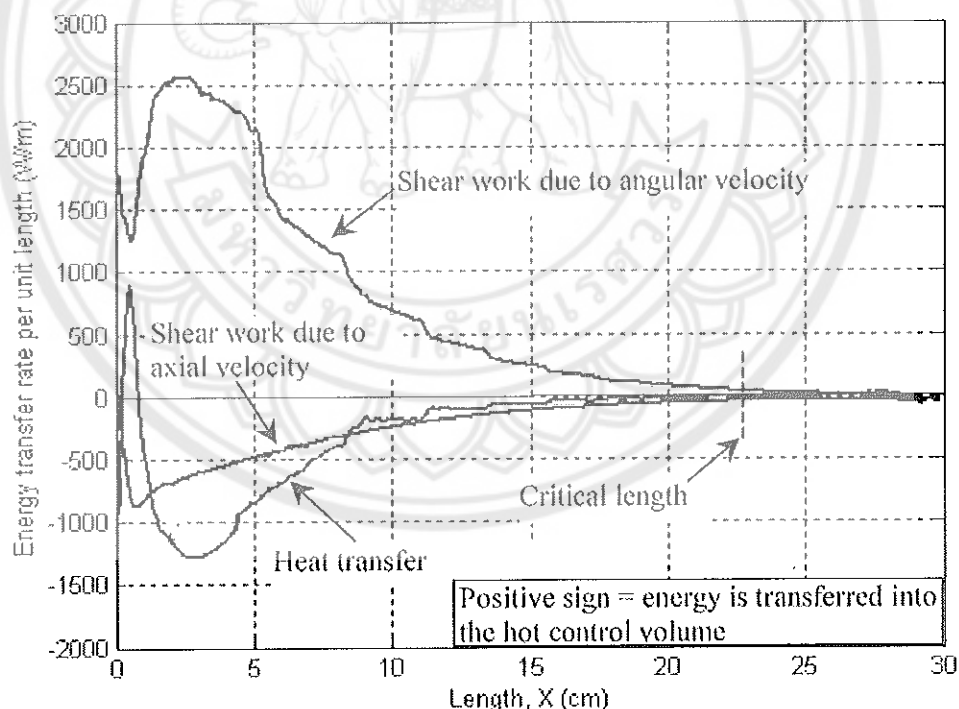
อากาศอัดที่มีความดันสูงถูกป้อนเข้าไปในท่อวอร์เทกซ์ อากาศที่เข้าไปในท่อจะไหลผ่านหัวจีดทันที การไหลของอากาศจะเป็นการหมุนแบบอิสระ แต่เนื่องจากอากาศเป็นของไอล์มที่มีความหนืด จึงทำให้เกิดแรงเสียดทานที่เกิดจาก การหมุนของอากาศบริเวณลำท่อ จึงทำให้การไหลของอากาศในท่อเป็นการหมุนแบบมังคับ (Force vortex) ซึ่งหมายถึงความเร็วของการหมุนของอากาศบริเวณจุดกึ่งกลางของท่อจะค่อยๆลดลง และความเร็วของอากาศที่อยู่ไกล์กับผนังจะมีค่าเพิ่มขึ้น ซึ่งจะเห็นได้ว่ามีการเปลี่ยนแปลงของความเร็วของอากาศในการหมุนภายในท่อ เกิดขึ้น ก่อให้เกิดการเคลื่อนที่ของไมเมนตัมจากจุดศูนย์กลางท่อไปยังผนังท่อ เมื่อพิจารณาตามกฎ

การอนุรักษ์พลังงาน ท่อวอร์เท็กซ์ไม่มีการสูญเสียพลังงาน ซึ่งหมายถึงพลังงานจากไมเมนต์มจะถูกถ่ายเทเป็นพลังงานความร้อน จะนั้นจึงทำให้การเคลื่อนที่ของพลังงานความร้อนของอากาศจากจุดศูนย์กลางท่อเคลื่อนที่ออกไปยังผิวนอกไกล์กับผนังท่อ ทำให้เกิดอุณหภูมิของอากาศที่จุดศูนย์กลางห่อต่างกับอุณหภูมิที่อยู่ไกล์กับผนังห่อ (Rafiee, & Sadeghiazad, 2014)

3. การถ่ายเทความร้อนภายในท่อวอร์เท็กซ์

Schepper (1951) ได้ศึกษาการจำลองการเกิดการแยกชั้นพลังงานของท่อวอร์เท็กซ์พบว่าภายในท่อวอร์เท็กซ์เกิดการถ่ายเทความร้อนโดยการพาความร้อนแบบบังคับ จากแกนไปยังชั้นนอกภายในท่อวอร์เท็กซ์

Lin et al. (1990) ได้ศึกษาความสัมพันธ์ระหว่างการถ่ายเทความร้อนกับการไหลแบบหมุนภายในท่อวอร์เท็กซ์ พบว่าความดันอากาศทางเข้าห่อที่มีผลมาจาก Reynold number และสัดส่วนมวลอากาศเย็น เป็นตัวแปรที่มีผลกระทบต่อพฤติกรรมการถ่ายเทความร้อนและการหมุนภายในห่อ



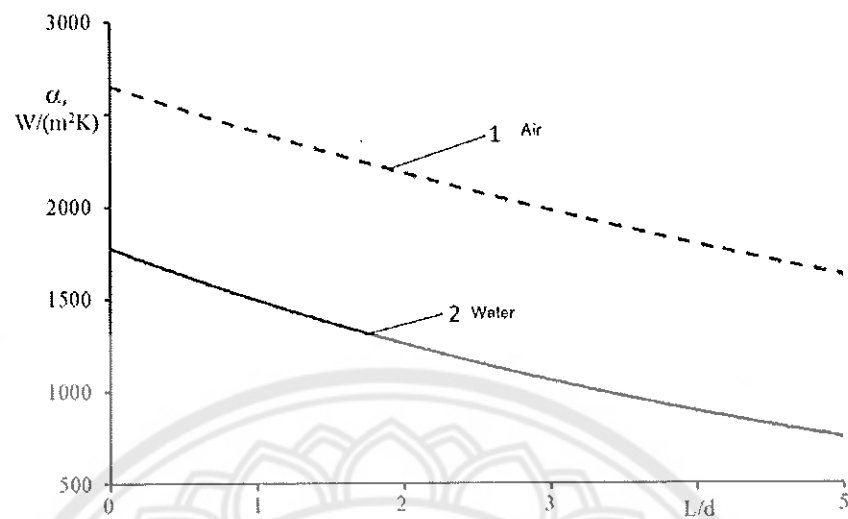
ภาพ 8 อัตราการถ่ายเทพลังงานต่อความยาวห่อ

ที่มา: Aljuwayhel et al., 2005

Aljuwayhel et al. (2005) ได้ศึกษาแบบจำลองเชิงตัวเลขเพื่อศึกษาพัฒนาระบบการแยกชั้นอุณหภูมิภายในท่อวอร์เท็กซ์ พบร่วมกับการแยกชั้นพลังงานของท่อวอร์เท็กซ์ สามารถอธิบายได้ด้วยการถ่ายเทพลังงานที่เกิดขึ้นจากทอร์กหรือแรงบิด เนื่องจากเกิดความหนืดเจื่อน (Viscous shear) ในแนวสัมผัส ที่ถูกถ่ายเทไปยังปริมาตรควบคุมปลายท่อด้านร้อน (Hot control volume) ซึ่งจะเกี่ยวข้องกับการแยกกระแสของไอลร้อนและกระแสของไอลเย็น นอกจานี้ยังได้อธิบายผลของการเปลี่ยนแปลงความยาวและเส้นผ่านศูนย์กลางท่อต่อพัฒนาระบบภายในของท่อวอร์เท็กซ์ พบร่วง เกิดการแยกชั้นพลังงานมากขึ้นเมื่อความยาวของท่อเพิ่มขึ้นถึงความยาววิกฤติ โดยที่ความยาววิกฤตมีค่าเท่ากับ 22.5 cm ซึ่งจะแสดงอัตราการถ่ายเทความร้อนต่อหน่วยความยาวท่อตั้งภาพ 8 และในงานวิจัยนี้ยังพบว่าเส้นผ่านศูนย์กลางของท่อที่เพิ่มขึ้นจะทำให้ขนาดของความเร็วเชิงมุมภายในท่อลดลง ดังนั้นจะทำให้เกิดการแยกชั้นของพลังงานลดลงด้วย

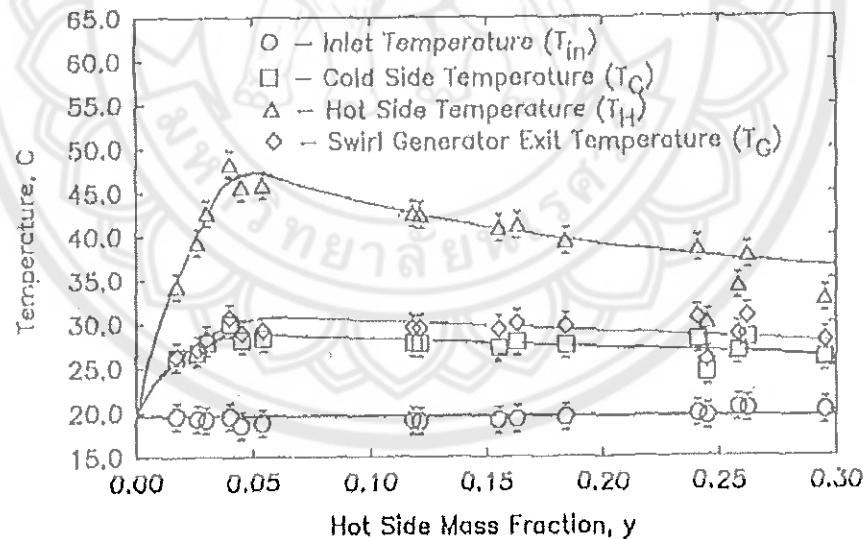
Xue et al. (2010) ได้อธิบายถึงการถ่ายเทพลังงานระหว่างชั้นที่เกิดขึ้นภายในท่อวอร์เท็กซ์ ซึ่งมีการถ่ายเทพลังงานจากชั้นในแกนกลางท่อไปยังบริเวณชั้นนอกใกล้ผิวท่อ อุณหภูมิอากาศเย็นบริเวณแกนกลางท่อลดลง เป็นเหตุที่ทำให้เกิดการขยายตัวของอากาศอย่างรวดเร็วที่บริเวณทางเข้าอากาศ และอุณหภูมิอากาศร้อนเพิ่มขึ้น เนื่องจากเกิดการเสียดทานของกระแสภายในไอลเย็นแบบผสม(Multi-circulation) ที่บริเวณปลายท่อด้านร้อน เมื่อมีการถ่ายเทพลังงานระหว่างชั้นจะเกิดการแยกชั้นของอุณหภูมิอากาศภายในท่อ โดยที่การไอลวนชั้นที่สอง(Secondary circulation) และโมเมนตัมเชิงมุม (Momentum angular) ทำให้เกิดการเสียดทานภายในท่อ อาจจะเป็นปัจจัยที่ทำให้เกิดการขับเคลื่อน(Driving factor) ทำให้เกิดการแยกชั้นของอุณหภูมิอากาศร้อนและอากาศเย็นออกจากกัน

Veretennikov et al. (2018) ได้ศึกษาการถ่ายเทความร้อนภายในท่อด้วยแบบจำลอง 3 มิติ (3D numerical simulation) พบร่วมกับการถ่ายเทความร้อนเกิดขึ้นตั้งแต่บริเวณที่มีการบ้อนอากาศเข้าไปในท่อ ของไอลมีการไอลไม่คงที่เกิดขึ้นภายในท่อวอร์เท็กซ์ขณะที่มีการแยกชั้นพลังงาน จะมีผลทำให้เกิดการพาความร้อนของกระแสหมุนวนไปยังบริเวณใกล้กับผิวท่อ ค่าสัมประสิทธิ์การถ่ายเทความร้อน (α)เพิ่มขึ้นเมื่ออัตราการขยายตัวภายในท่อเพิ่มขึ้นด้วย และพบว่าค่าการพาความร้อนที่เกิดขึ้นในลำท่อมีค่าลดลงตามสัดส่วนขนาดท่อร้อนทั้งสองไอลที่เป็นอากาศและน้ำแสดงตั้งภาพ 9 จะเห็นว่าสัดส่วนขนาดท่อร้อนเพิ่มขึ้นมีผลทำให้สัมประสิทธิ์การพาความร้อนลดลงเนื่องจากมีการสูญเสียความร้อนไปตามลำท่อ



ภาพ 9 สมประสงค์ที่มีการถ่ายเทความร้อนแปรผันตามสัดส่วนขนาดท่อร้อน

ที่มา: Veretennikov et al., 2018



ภาพ 10 อุณหภูมิทางเข้า อุณหภูมิปลายท่อเย็น และอุณหภูมิปลายท่อร้อนของท่อวอร์เทกเกอร์ที่ใช้น้ำเป็นของไหลทำงาน

ที่มา: Balmer, 1988

Balmer (1988) ได้ศึกษาการแยกชั้นอุณหภูมิของท่อวอร์เท็กซ์โดยใช้น้ำเป็นสารทำงาน ตามภาพ 10 พบว่าในบริเวณปลายท่อเย็นมีอุณหภูมิสูงกว่าบริเวณทางเข้าท่อ แสดงให้เห็นว่าท่อวอร์เท็กซ์ไม่เกิดความเย็นที่ปลายท่อที่แรงดันน้ำต่ำ ซึ่งการแยกชั้นอุณหภูมิของท่อวอร์เท็กซ์จะเกิดขึ้นจริงเมื่อให้แรงดันน้ำที่สูงขึ้น

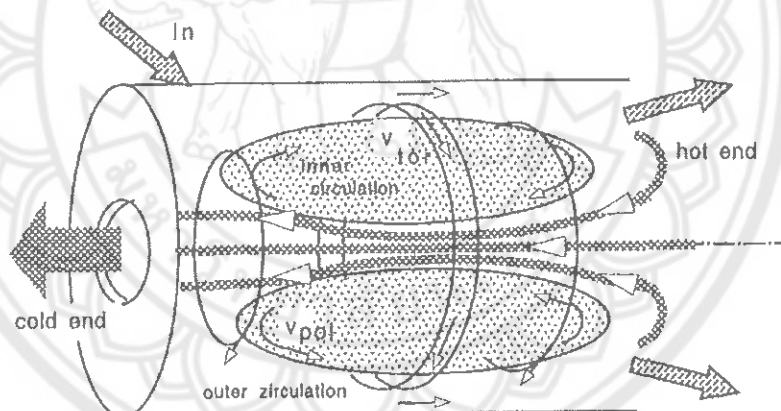
Rattanongphisat (2008) ได้ศึกษาลักษณะการแยกชั้นของอุณหภูมิที่เกิดขึ้นภายในท่อวอร์เท็กซ์โดยใช้การจำลองแบบโดยวิธีพลศาสตร์ของไนล์เชิงคำนวน (Computational Fluid Dynamics หรือ CFD) พบว่าเกิดการหมุนวนของไนล์ขึ้นหลังจากที่มีการป้อนอากาศที่มีความดันสูงเข้าไปในท่อวอร์เท็กซ์ผ่านหัวฉีด บริเวณแกนกลางของท่อ มีอุณหภูมิต่ำกว่าบริเวณท่อผู้ร้อนนอกแกนไกล์ผนังท่อ ของไนล์ที่อยู่ใกล้กับผนังท่อ มีอุณหภูมิสูงขึ้น เนื่องจากเกิดแรงเหวี่ยงหนีศูนย์กลางภายในท่อวอร์เท็กซ์ และขณะที่ของไนล์มีการเคลื่อนที่จะเกิดความหนืดขึ้น ของไนล์ สมผัสกับผิวของท่อวอร์เท็กซ์ จะทำให้เกิดความเสียดทานขึ้นและทำให้อุณหภูมิของของไนล์ที่อยู่ใกล้กับผนังท่อสูงขึ้น

จากการวิจัยที่กล่าวมาข้างต้น ศึกษาเกี่ยวกับพฤติกรรมที่เกิดขึ้นภายในท่อวอร์เท็กซ์ โดยใช้แบบจำลองเชิงตัวเลขในการอธิบาย พบว่าภายในท่อวอร์เท็กซ์เกิดการถ่ายเทความร้อนตั้งแต่บริเวณที่ของไนล์สัมผัสกับผิวท่อที่ห้องสร้างกระแสหมุนวน โดยมีการพาราคามร้อนแบบบังคับ ทำให้อากาศไนล์ไปตามผิวของลำท่อภายใน เกิดการแยกชั้นระหว่างกระแสของไนล์ที่มีอุณหภูมิต่ำที่บริเวณไกล์กับทางเข้า และกระแสของไนล์ที่มีอุณหภูมิสูงที่บริเวณปลายท่อด้านร้อน โดยมีความดันอากาศทางเข้าและสัดส่วนมวลอากาศเย็น เป็นตัวแปรที่มีผลต่อพฤติกรรมของการถ่ายเทความร้อนและการหมุนภายในท่อ อีกทั้งความยาวของท่อที่เพิ่มขึ้นยังมีผลต่อค่าพาราคามร้อนที่ลดลงด้วย และเส้นผ่าศูนย์กลางท่อที่เพิ่มขึ้นยังทำให้ความเร็วเชิงมุมที่เกิดในท่อลดลงซึ่งจะมีผลทำให้เกิดการแยกชั้นของพลังงานลดลงด้วย

4. การไหลวนชั้นที่สอง

การไหลวนชั้นที่สอง (Secondary circulation) คือการหมุนวนของของไนล์ที่เกิดขึ้นบริเวณมุนของท่อในทิศตั้งจากกับการไหลวนชั้นที่หนึ่งหรือการไหลวนปฐมภูมิ (Primary flow) การไหลวนชั้นที่สองเป็นการขับนองกลับของกระแสอากาศบางส่วน ซึ่งอาจจะเป็นการรวมตัวกันระหว่างการไหลของอากาศที่อยู่ภายในบริเวณท่อและแกนกลางท่อ เพื่อช่วยในการถ่ายเทความร้อนของอากาศที่อยู่ตรงกลางท่อไปยังรอบท่อ ซึ่งในขณะนั้นอากาศที่อยู่ภายในห้องระหว่างอากาศไกล์ขอบท่อและอากาศกลางท่ออาจจะกำลังผสมกันอยู่ เรียกว่าเป็นรูปแบบการไหลวนแบบชั้นที่สอง Ahlborn, & Groves (1997) ได้กล่าวโดยสรุปว่า เกิดการพาราคามร้อนแบบบังคับ (Forced convection) ของการไหลวนชั้นที่สองว่าเป็นพลังงานที่เกิดขึ้นจากบริเวณที่เย็นไปหาบริเวณที่ร้อน

ตามระเบียบทางที่เขื่อมต่อ กันระหว่างชั้นของการไหลวนที่แตกต่างกัน ซึ่งเป็นชั้นที่พลังงานสามารถแลกเปลี่ยนกันได้ การไหลวนชั้นที่สองถูกอธิบายเป็นวงแหวนหมุนวน (vortex ring) ทั้งแบบเปิดและแบบปิด ซึ่งการไหลค่อนข้างแตกต่างกับวงแหวนของควัน (smoke ring vortex) ซึ่งจุดของเวกเตอร์ที่มีการหมุนวนตามแกนวงกลม (Torus axis) และของไหลไม่มีส่วนประกอบของความเร็วตามวงแหวน วงแหวนหมุนวนในห่อวอร์เทกซ์เป็นส่วนหนึ่งของการเคลื่อนที่แบบเกลี้ยง ได้นำไปสู่หัวจีดที่มีการอัดอากาศต่อไป วงแหวนหมุนวนมีผลทำให้เกิดการไหลเวียนมุน นอกจานี้การไหลเวียนโพโลยดัล (Polooidal circulation) ของวงแหวนควัน มีการเคลื่อนที่ตามแกนวงกลมของวงแหวนกระแสน การเคลื่อนที่ของกระแสนนี้ถูกกระตุ้นจนทำให้เกิดการเสียดทานจากชั้นรอบนอก หรือการไหลเวียนแบบปฐมภูมิ เช่นทางของการหมุนวนที่เป็นการไหลแบบขด มีการเคลื่อนที่ของ การไหลแบบเกลี้ยงเกิดขึ้นผ่านวงแหวนหมุนวน ซึ่งคล้ายกับริบบินที่คล้องตามพวงมาลัย แสดงการไหลเวียนของอากาศภายในห่อวอร์เทกซ์ดังภาพ 11 ซึ่งเป็นภาพสาธิตระบบการไหลเวียนของอากาศทั้งแบบชั้นที่หนึ่งและแบบชั้นที่สอง



ภาพ 11 การไหลวนของของภายในห่อวอร์เทกซ์

ที่มา: Ahlborn, & Groves, 1997

ประสิทธิภาพการทำงานของห่อวอร์เทกซ์

1. กระบวนการไอเซนไทรปิกสำหรับแก๊สสมบูรณ์

กระบวนการไอเซนไทรปิก (Isentropic Process) คือกระบวนการย้อนกลับได้ที่ไม่มีการถ่ายเทความร้อน ในกระบวนการไอเซนไทรปิกจะมีเอนโทรปีคงที่ เป็นกระบวนการมาตรฐานใช้สำหรับเปรียบเทียบกระบวนการทำงานต่างๆ ทางวิศวกรรม ความสัมพันธ์ในการคำนวณใน

กระบวนการไอเซนไทรบีกของแก๊สสมบูรณ์จะแยกออกเป็น 2 กรณี คือกรณีที่ค่าความร้อนจำเพาะมีค่าคงที่และกรณีที่ค่าความร้อนจำเพาะเป็นฟังก์ชันของอุณหภูมิ (พงษ์ธร จรัญญาภรณ์, 2537)

กรณี 1 c_p และ c_v คงที่ สำหรับกระบวนการไอเซนไทรบีก $dS=0$ ดังนั้นจะได้ว่า

$$\begin{aligned} c_v \times \frac{dT}{T} &= -R \times \frac{dv}{v} \\ c_p \times \frac{dT}{T} &= R \times \frac{dP}{P} \\ \frac{c_p}{c_v} &= -\frac{dP}{P} \times \frac{v}{dv} \end{aligned} \quad (2.1)$$

ให้ $k = \frac{c_p}{c_v}$ จะรูปได้เป็น

$$\frac{dP}{P} + k \frac{dv}{v} = 0 \quad (2.2)$$

อัตราส่วนความร้อนจำเพาะ k มีค่าคงที่เมื่อ c_p และ c_v มีค่าคงที่ เมื่อกินทิเกรตเราจะได้ความสัมพันธ์ที่เป็นจริงสำหรับกระบวนการไอเซนไทรบีกของแก๊สสมบูรณ์คือ

$$Pv^k = \text{ค่าคงที่} \quad (2.3)$$

โดยที่จะเปลี่ยนอยู่ในรูปความสัมพันธ์ระหว่างสภาวะเริ่มต้นคือ 1 และสภาวะสุดท้ายคือ 2 ดังนี้

$$P_1 v_1^k = P_2 v_2^k \quad (2.4)$$

เมื่อพิจารณาสมการประกอบกับสมการสภาวะของแก๊สสมบูรณ์ เราจะได้ความสัมพันธ์ระหว่างสภาวะเริ่มต้นกับสภาวะสุดท้ายของกระบวนการไอเซนไทรบีกดังนี้

$$\begin{aligned} \frac{P_2}{P_1} &= \left(\frac{v_1}{v_2} \right)^k \\ \frac{T_2}{T_1} &= \left(\frac{P_2}{P_1} \right)^{(k-1)/k} \\ \frac{T_2}{T_1} &= \left(\frac{v_1}{v_2} \right)^{k-1} \end{aligned} \quad (2.5)$$

กรณี 2 C_p และ C_v แปรตามอุณหภูมิ สามารถแสดงความสัมพันธ์ระหว่างสภาวะเริ่มต้นกับสภาวะสุดท้ายของกระบวนการไอลเซนไทร์ปิกของแก๊สสมบูรณ์ดังต่อไปนี้

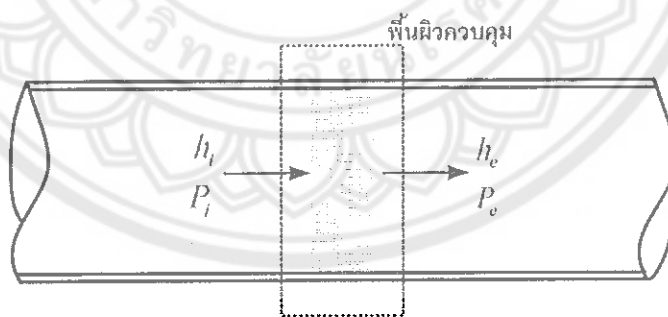
$$\frac{P_1}{P_2} = \left(\frac{P_{r1}}{P_{r2}} \right)_s$$

$$\frac{V_1}{V_2} = \left(\frac{V_{r1}}{V_{r2}} \right)_s \quad (2.6)$$

เมื่อ C_p คือค่าความถูกความร้อนจำเพาะที่ความดันคงที่ C_v คือค่าความถูกความร้อนจำเพาะที่ปริมาตรคงที่ S คือเอนโทรปี P คือความดัน T คืออุณหภูมิ P_r คือความดันสัมพัทธ์ ซึ่งเป็นพังก์ชันเฉพาะอุณหภูมิ และ V_r คือปริมาตรสัมพัทธ์ เป็นพังก์ชันเฉพาะอุณหภูมิเช่นเดียวกัน

2. กระบวนการลดความดัน (Throttling Process)

กระบวนการลดความดันหรือกระบวนการทรอยติง เป็นกระบวนการที่เกิดขึ้นในของไอลที่ได้ในลักษณะสิ่งกีดขวางหรือต้านทานการไหล เช่น การไอลผ่านวัตถุพุ่น ตะแกรง หรือการไอลผ่านลินที่มีช่องทางออกเปิดໄว้เพียงเล็กน้อย เป็นต้น โดยจะมีผลทำให้ความดันของไอลลดลงดังภาพ 12



ภาพ 12 กระบวนการลดความดัน

ที่มา: พงษ์ธร จรัญญากรณ์, 2537

ในสภาวะทำงานปกติ ปริมาตรควบคุมของกระบวนการลดความดันจะเป็นแบบสภาวะอยู่ตัว มีการไอลคงที่ กระบวนการเกิดขึ้นในบริเวณแคบๆ และในบางกรณีมีอัตราหุ่มจึงมีการ

ถ่ายเทความร้อนน้อย และไม่มีงานฝ่านพื้นผิวควบคุม ดังนั้นปริมาณที่ควบคุมของกระบวนการลดความดัน จะได้ว่า

$$h_i + \frac{v_i^2}{2} = h_e + \frac{v_e^2}{2} \quad (2.7)$$

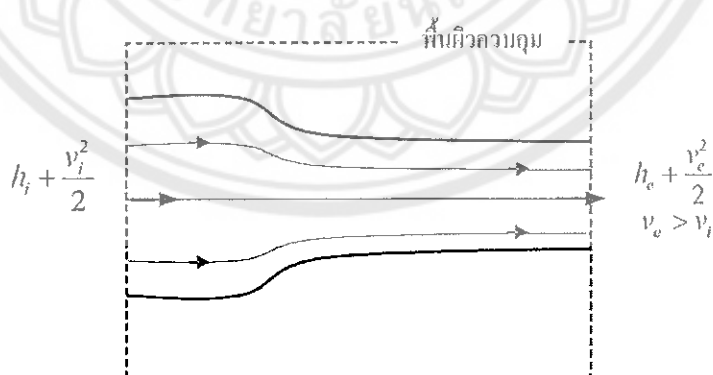
โดยทั่วไปการเปลี่ยนแปลงของพลังงานจะน้อย จึงได้ว่า

$$h_i = h_e \quad (2.8)$$

นั่นคือ ในกระบวนการลดความดัน เอนทัลปีเริ่มต้น (h_i) เท่ากับเอนทัลปีสุดท้าย (h_e)

3. หัวฉีด (Nozzle)

หัวฉีดเป็นอุปกรณ์ที่ทำหน้าที่เพิ่มความเร็วของของไนล์และลดความดันของของไนล์ที่ไนล์ผ่าน ทำให้พลังงานจะน้อยลงของไนล์เพิ่มขึ้น มีลักษณะดังภาพ 13 หัวฉีดเป็นอุปกรณ์ที่ใช้สำหรับเป็นทางผ่านของของไนล์ ในการผลิตแก๊สที่พ่นออกมาย่างรวดเร็ว (Jet) ซึ่งมีความเร็วสูง ไนล์ผ่านเข้าไปในก้นหัวฉีด หัวฉีดมีขนาดพื้นที่หน้าตัดให้ของไนล์ที่ไนล์ผ่านเปลี่ยนแปลง เพื่อให้เกิดการเปลี่ยนแปลงพลังงานความร้อนภายในของไนล์ให้เป็นพลังงานจะน์ ถ้ามีการออกแบบหัวฉีดมาอย่างดี การเปลี่ยนแปลงดังกล่าว จะเกิดการสูญเสียขั้นน้อยที่สุด ในช่วงต้นของหัวฉีด ของไนล์จะมีความเร็วในการไนล์เพิ่มขึ้น ในช่วงถัดมาของไนล์จะมีความหนาแน่นลดลง โดยการไนล์ผ่านตลอดหัวฉีด จะทำให้มวลของของไนล์คงที่ (สิทธิพงษ์ พึงไกฤต, 2542)



ภาพ 13 ลักษณะการไนล์ของของไนล์ผ่านหัวฉีด

ที่มา: มนตรี พิรุณเกษฐ์, 2548

พิจารณาหัวฉีดเป็นปริมาตรควบคุมที่มีการให้ผลคงตัวโดยไม่มีความร้อนถ่ายเทอกจากระบบและรวมถึงไม่มีงานเกิดขึ้น จะไม่คำนึงถึงการเปลี่ยนแปลงของพลังงานศักย์ในแต่ละช่วงระหว่างทางเข้าและทางออก ดังนั้นจากกฎข้อที่หนึ่งของอุณหพลศาสตร์จะได้ว่า

$$\frac{v_e^2}{2} - \frac{v_i^2}{2} = h_i - h_e \quad (2.9)$$

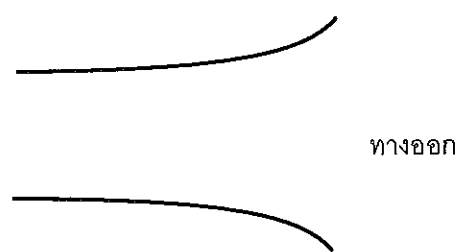
เมื่อ v_i และ v_e คือความเร็วเริ่มต้นและความเร็วสุดท้ายของของไหล ตามลำดับ h_i และ h_e คือ เอนthalpy เริ่มต้นและเอนthalpy สุดท้าย ตามลำดับ จากสมการจะกล่าวได้ว่า ปริมาณอัตราส่วนของ พลังงานจะเพิ่มขึ้นขณะที่ของไหลในผ่านหัวฉีด ซึ่งเท่ากับปริมาณอัตราส่วนของเอนthalpy ของ ของไหลที่ลดลง ประเภทของหัวฉีดสามารถแบ่งตามลักษณะของไหลที่ไหลผ่าน แบ่งออกเป็น 3 แบบ ได้แก่

3.1 หัวฉีดแบบสูตรเข้า (Convergent nozzle) คือหัวฉีดที่มีขนาดพื้นที่หน้าตัดในการ ให้ผลของของไหลลดลงอย่างต่อเนื่อง จากทางเข้าของหัวฉีดไปยังทางออกของหัวฉีด ดังภาพ 14



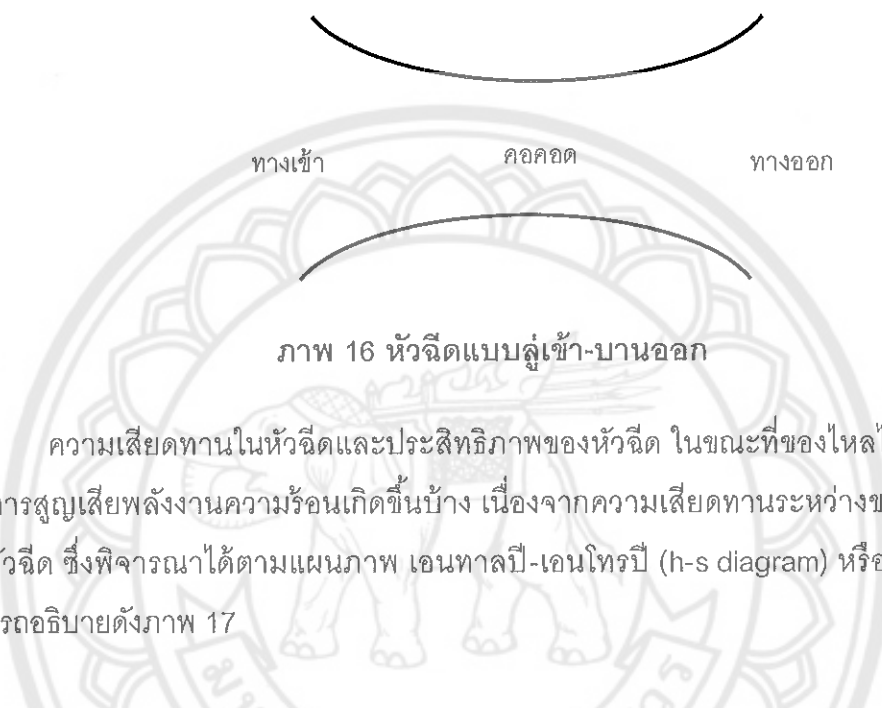
ภาพ 14 หัวฉีดแบบสูตรเข้า

3.2 หัวฉีดแบบบานออก (Divergent nozzle) คือหัวฉีดที่มีขนาดพื้นที่หน้าตัดในการ ให้ผลของของไหลเพิ่มขึ้นอย่างต่อเนื่อง จากทางเข้าถึงทางออกของหัวฉีด ดังภาพ 15



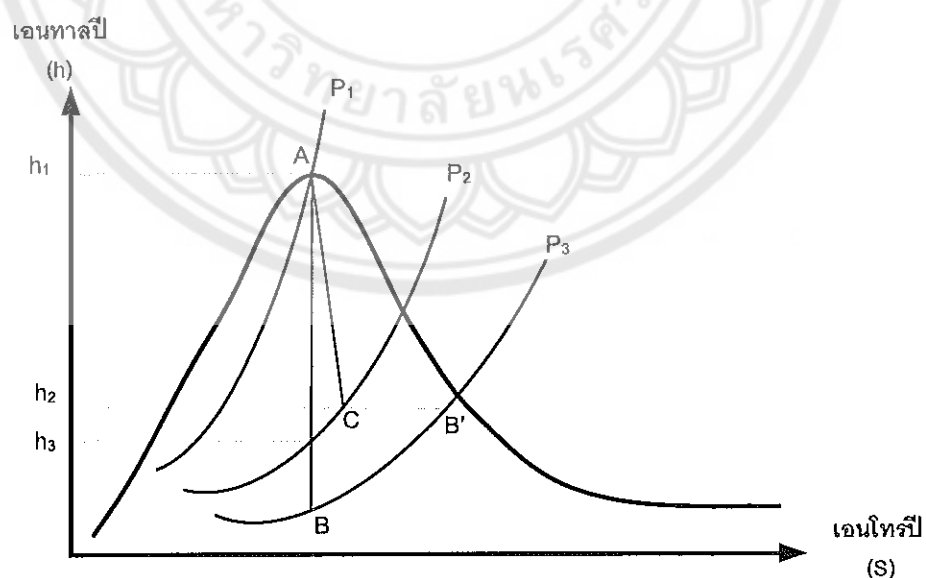
ภาพ 15 หัวฉีดแบบบานออก

3.3 หัวฉีดแบบ ลู่เข้า-บานออก (Convergent-divergent nozzle) คือหัวฉีดที่มีขนาดพื้นที่หน้าตัดในการไหลลดลงจากทางเข้า ไปยังส่วนที่แคบที่สุดเรียกว่า คอคอด (Throat) และหลังจากนั้นขึ้นไปในลักษณะเดียวกันคือคอดไปยังขนาดพื้นที่หน้าตัดมีขนาดเพิ่มขึ้นไปยังทางออก ดังภาพ 16



ภาพ 16 หัวฉีดแบบลู่เข้า-บานออก

ความเสียดทานในหัวฉีดและประสิทธิภาพของหัวฉีด ในขณะที่ของไหลไอล์ฟผ่านหัวฉีด จะมีการสูญเสียพลังงานความร้อนเกิดขึ้นบ้าง เนื่องจากความเสียดทานระหว่างของไหลและผิวของหัวฉีด ซึ่งพิจารณาได้ตามแผนภาพ เอนทาลปี-เอนโกรปี (h-s diagram) หรือ Mollier chart สามารถอธิบายดังภาพ 17



ภาพ 17 แผนภาพเอนทาลปี-เอนโกรปีของกระบวนการที่เกิดขึ้นในหัวฉีด

ที่มา: ปรับปรุงจาก สิทธิพงษ์ พึงใหญ่, 2542

จากภาพ 17 จุด A เป็นสภาวะเริ่มต้นที่ของไอลเข้าไปในหัวฉีด โดยมีสถานะไอกลมตัว (Saturated vapor) ที่ความดันของไอลที่เข้าหัวฉีด เส้น AB แสดงถึงค่าเอนโทรปีที่คงที่ นั่นคือ เป็นกระบวนการที่ไม่มีการถ่ายเทความร้อน ที่ต่ำแห่ง B จะมีความดันของไอลที่ลดลง หลังจากไอลผ่านหัวฉีด ที่ $h_1 - h_2$ คือค่าพลังงานความร้อนที่ลดลงของไอล เมื่อมีความเสียดทาน ในหัวฉีด พลังงานความร้อนของไอลที่ลดลงจะมีค่าน้อยกว่า $h_1 - h_2$ เท่ากับ $h_1 - h_3$ หรือ เปลี่ยนแปลงตามกระบวนการ AC แทน AB เมื่อการขยายตัวของไอลสิ้นสุดลงถึงความดัน P_2 สภาวะสุดท้ายของไอลที่ได้จากการฉีดในแนวนอนจากจุด C เป็นจุดสภาวะ B' การ ขยายตัวที่แท้จริงของไอลในหัวฉีด จึงเป็นเส้นกระบวนการ AB' แทน AB ค่าพลังงานความร้อน ของไอลที่ลดลงจริงของไอล $h_1 - h_3$ คือพลังงานความร้อนที่ลดลงสำหรับใช้ประโยชน์ในการ เปลี่ยนเป็นพลังงานจลน์ สามารถสังเกตได้ว่าที่จุดสภาวะ B' เป็นของไอลที่มีสัดส่วนความแห้งสูง กว่าสภาวะ B เนื่องจากพลังงานสูญเสียขึ้นเนื่องมาจากการเสียดทานเปลี่ยนเป็นพลังงานความ ร้อนทำให้ออกไอลแห้ง

ประสิทธิภาพของหัวฉีด (Nozzle efficiency) คืออัตราส่วนของพลังงานความร้อนที่ลดลง ที่นำไปใช้ประโยชน์ต่อพลังงานความร้อนที่ลดลงตามกระบวนการไอโซโนโทรปิก

$$\eta_N = \frac{h_1 - h_3}{h_1 - h_2} \quad (2.10)$$

ในการพิจารณาท่อวอร์เต็กซ์เพื่อให้มีประสิทธิภาพการทำงานที่ดี จะต้องคำนึงถึงหลาย ตัวแปรที่มีผลต่อการทำความเย็นของท่อวอร์เต็กซ์ เช่น ความแตกต่างอุณหภูมิอากาศเย็น ความ แตกต่างอุณหภูมิอากาศร้อน สัดส่วนมวลอากาศเย็น ประสิทธิภาพไอโซโนโทรปิก ความสามารถการทำความร้อน ความสามารถการทำความเย็น สมรรถนะการทำความร้อน สมรรถนะการทำความเย็น สามารถหาได้ดังนี้

1. ความแตกต่างอุณหภูมิอากาศเย็น (Cold air temperature difference หรือ ΔT_c) คืออุณหภูมิที่ปลายท่อวอร์เต็กซ์ที่จะสามารถลดลงได้จากอุณหภูมิที่เข้าในท่อ ซึ่งหมายถึงความ แตกต่างระหว่างอุณหภูมิอากาศที่บ่อนเข้าไปในท่อกับอุณหภูมิอากาศเย็นที่ปล่อยออกท่อ แสดงดัง สมการที่ 2.11 เมื่อ T_{in} คืออุณหภูมิอากาศที่บ่อนเข้าไปในท่อ และ T_c คืออุณหภูมิอากาศปลายท่อ ด้านเย็น

$$\Delta T_c = T_{in} - T_c \quad (2.11)$$

2. ความแตกต่างอุณหภูมิอากาศร้อน (Hot air temperature difference หรือ ΔT_h) คือ อุณหภูมิที่ปลายท่อด้านร้อนที่เพิ่มสูงขึ้นเมื่อเปรียบเทียบกับอุณหภูมิที่เข้าไปในท่อ ซึ่งก็หมายถึง ความแตกต่างระหว่างอุณหภูมิปลายท่อด้านร้อนกับอุณหภูมิอากาศที่ป้อนเข้าไปในท่อ แสดงดัง สมการที่ 2.12 เมื่อ T_{in} คืออุณหภูมิอากาศที่ป้อนเข้าไปในท่อ และ T_h คืออุณหภูมิอากาศปลายท่อ ด้านร้อน

$$\Delta T_h = T_h - T_{in} \quad (2.12)$$

3. สัดส่วนมวลอากาศเย็น (Cold mass fraction) สามารถหาได้จากอัตราส่วนระหว่าง อัตราการไหลของมวลอากาศเย็นต่ออัตราการไหลของมวลอากาศทางเข้า ค่าสัดส่วนมวลอากาศเย็น ของท่อวอร์เทกซ์มีค่าการเปลี่ยนแปลงในช่วงตั้งแต่ 0 ถึง 1

$$CF = \frac{\dot{m}_c}{\dot{m}_{in}} \quad (2.13)$$

$$CF = \frac{\dot{m}_c}{\dot{m}_c + \dot{m}_h}$$

เมื่อ	CF	คือสัดส่วนมวลอากาศเย็น
	\dot{m}_c	คืออัตราการไหลของมวลอากาศเย็น (kg/s)
	\dot{m}_h	คืออัตราการไหลของมวลอากาศร้อน (kg/s)
	\dot{m}_{in}	คืออัตราการไหลของมวลอากาศทางเข้าท่อ (kg/s)

อัตราการไหลเชิงมวล (Mass flow rate) คือมวลของของไหลที่ไหลผ่านท่อ ซึ่งจะขึ้นอยู่ กับความหนาแน่นของของไหลและอัตราการไหลของของไหล สามารถวัดอัตราการไหลเชิงปริมาตร ของอากาศได้จากโตรามิตเตอร์ ซึ่งเป็นเครื่องมือสำหรับวัดอัตราการไหลของของไหล อัตราการไหล เชิงมวลคำนวนได้จาก

$$\dot{m} = \rho Q \quad (2.14)$$

เมื่อ	\dot{m}	คืออัตราการไหลเชิงมวล (kg/s)
	ρ	คือความหนาแน่นของอากาศ (kg/m ³)
	Q	คืออัตราการไหลเชิงปริมาตรของอากาศ (m ³ /s)

4. ประสิทธิภาพไอเซนโทรปิกของท่อวอร์เท็กซ์ (Isentropic efficiency) ในการหาประสิทธิภาพการทำความเย็นของท่อวอร์เท็กซ์ พิจารณาได้จากกระบวนการกระรองเดี่ยแบบติก (Adiabatic process) ของแก๊สในอุดมคติ ซึ่งการไหลของอากาศเข้าไปในท่อวอร์เท็กซ์ จะทำให้เกิดการขยายตัวในกระบวนการไอเซนโทรปิก จะได้ว่าเป็นกระบวนการของการขยายตัวไอเซนโทรปิก

$$\eta = \frac{T_{in} - T_c}{T_{in} - T_{is}}$$

$$\eta = \frac{T_{in} - T_c}{T_{in} \left[1 - \left(\frac{P_{atm}}{P_{in}} \right)^{(k-1)/k} \right]} \quad (2.15)$$

เมื่อ	η	คือประสิทธิภาพไอเซนโทรปิก
	T_{in}	คืออุณหภูมิอากาศขาเข้าท่อวอร์เท็กซ์
	T_{is}	คืออุณหภูมิไอเซนโทรปิก
	T_c	คืออุณหภูมิอากาศเย็น
	P_{atm}	คือความดันบรรยากาศ เท่ากับ 1.013 bar
	P_{in}	คือความดันอากาศที่ทางเข้าท่อวอร์เท็กซ์
	k	คืออัตราส่วนความร้อนจำเพาะของอากาศ เท่ากับ 1.4

5. ความสามารถการทำความเย็น (Cooling capacity) ของท่อวอร์เท็กซ์ สามารถคำนวณได้จากการที่ 2.16

$$Q_c = \dot{m}_c c_p (T_{in} - T_c) \quad (2.16)$$

เมื่อ	Q_c	คือความสามารถการทำความเย็น (W)
	\dot{m}_c	คืออัตราการไหลเชิงมวลอากาศเย็น (kg/s)
	c_p	คือค่าความถูกความร้อนจำเพาะของอากาศที่ความดันคงที่เท่ากับ 1.0057 kJ/kg.K

6. สมรรถนะการทำความเย็นของท่อวอร์เท็กซ์ (Coefficient of performance) คือ อัตราส่วนระหว่างอัตราการทำความเย็นที่สามารถทำได้ต่อพลังงานกลที่ใช้ในการผลิตการทำความเย็น ใช้หลักการของการขยายตัวไอโซโนมิกของแก๊สในคุณ ซึ่งสามารถคำนวณหาสมรรถนะการทำความเย็นของท่อวอร์เท็กซ์จากสมการที่ 2.17

$$\text{COP} = \frac{Q_c}{W}$$

$$\text{COP} = \frac{C_F C_p \Delta T_c}{R T_{in} \ln(P_{in} / P_{atm})} \quad (2.17)$$

- เมื่อ COP คือสมรรถนะการทำความเย็นของท่อวอร์เท็กซ์
 Q_c คือความสามารถการทำความเย็น (W)
 W คืองานที่บีบอ่อนเข้าไปในท่อวอร์เท็กซ์
 R คือค่าคงที่ของแก๊ส เท่ากับ 0.287 kJ/kg.K
 P_{in} คือความดันอากาศทางเข้าท่อ
 P_{atm} คือความดันบรรยากาศ เท่ากับ 1.013 bar

ชนิดและผลต่อสิ่งแวดล้อมของสารทำความเย็น

สารทำความเย็น เป็นส่วนประกอบหลักในระบบการทำความเย็นแบบอัดไอ การเลือกสารทำความเย็นจะถูกกำหนดโดยความต้องการของอุณหภูมิของกระบวนการ การผลิตหรืออุณหภูมิของผลิตภัณฑ์ที่ต้องการ ซึ่งมีผลกระทบอย่างมากต่อการออกแบบและการทำงานของระบบการทำความเย็น และยังมีประเด็นที่เกี่ยวกับเรื่องสิ่งแวดล้อมที่จะต้องคำนึงถึง เช่น กันสารทำความเย็นที่ใช้ในระบบเครื่องทำความเย็นและระบบเครื่องบีบความร้อน ซึ่งเป็นระบบที่ใช้พลังงานกลในการขับเคลื่อน เช่น ระบบทำความเย็นแบบอัดไอ หรือระบบที่ใช้ความร้อนในการขับเคลื่อน เช่น ระบบอีจิกเตอร์ และระบบเครื่องทำความเย็นแบบดูดซึม โดยที่สารทำความเย็นที่ความดันและอุณหภูมิต่ำ จะเปลี่ยนสถานะจากของเหลวกลายเป็นไอ เพื่อดูดซึมพลังงานความร้อนซึ่งมีอุณหภูมิต่ำหรือภาระการทำความเย็นของระบบ หลังจากนั้นไอของสารทำความเย็นจะถูกเพิ่มความดันให้สูงขึ้น และควบแน่นเป็นของเหลว โดยจะนำความร้อนออกสู่สิ่งแวดล้อม การพัฒนาระบบเครื่องทำความเย็นแบบอัดไอ สารทำความเย็นที่ใช้เป็นของไอลที่มีจุดเดือดต่ำที่ความดันบรรยายกาศปกติ และสามารถควบแน่นเป็นของเหลวที่อุณหภูมิแวดล้อมที่มีความดันไม่สูงมากเกินไป สารทำความเย็น

เย็นในยุคแรกที่นิยมน้ำมาน้ำให้ได้แก่ คาร์บอนไดออกไซด์ และเมโนเนียม ชั้ลเฟอร์ไดออกไซด์ ไปเพ่น เมทิลคลอไรด์ และเมทิลฟอร์เมต สารเหล่านี้ถูกวิจัยว่าบางชนิดเป็นสารที่มีพิษต่อร่างกาย ติดไฟง่าย ซึ่งเป็นอันตรายหากเกิดการร้าวไหล จนกระทั่ง ค.ศ. 1928 ได้มีการพัฒนาสารคลอโรฟลูอโคลาเรอร์บอน (Chlorofluorocarbon) หรือเรียกว่าสาร CFC เป็นสารทำความสะอาดสำหรับเครื่องทำความเย็นแบบอัดไอทำงานอย่างเต็มระบบ แต่หลังจากนั้น 40 ปีต่อมา มีการค้นพบว่าสารทำความสะอาดเย็น CFC เป็นสารอันตรายต่อสิ่งแวดล้อม (ศรีทรา ภารกอร์ตัน, 2557)

ประเภทของสารทำความสะอาด ในปัจจุบันได้มีการพัฒนาสารทำความสะอาดใหม่ขึ้น เพื่อความปลอดภัยต่อสิ่งแวดล้อม แม้กระนั้นการกลับมาใช้สารทำความสะอาดที่มีอยู่ในธรรมชาติซึ่งจะเป็นมิตรต่อสิ่งแวดล้อม สามารถแบ่งประเภทได้ทั้งหมด 4 ประเภท คือ

1. สารทำความสะอาดชนิดที่เป็นสารประกอบไฮโดรคาร์บอน
2. สารทำความสะอาดชนิดที่เป็นสารประกอบไบโอลิโตรคาร์บอน
3. สารทำความสะอาดประเภทที่เป็นสารอนิทริย์และสารอินทริย์
4. สารทำความสะอาดที่เป็นสารผสม

มีสารทำความสะอาดอยู่หลายตัวที่มีการใช้งานอย่างกว้างขวาง ในทุกวันนี้เป็นสารเคมีที่อยู่ในกลุ่มที่เรียกว่าสาร CFC หรือเรียกันว่า พรีโอน มีการนำสารทำความสะอาดใช้งานในระบบทำความเย็นแบบอัดไอเพื่อย้ายไปอย่างรวดเร็ว โดยพรีโอนเป็นสารทำความสะอาดที่มีนุชร์สร้างขึ้นมาไม่มีอยู่เองตามธรรมชาติ แต่หลังจาก ค.ศ. 1970 ค้นพบว่า พรีโอนมีผลทำให้เกิดการทำลายโอโซนในชั้นบรรยากาศ (Ozone depletion) ซึ่งอยู่ในชั้นบรรยากาศจะทำหน้าที่เป็นตัวกรองรังสีอัลตราไวโอเลตไม่ให้ตกลงมาบนผิวโลกมากจนเกินไป ถ้ารังสีอัลตราไวโอเลตมีความเข้มเพิ่มขึ้นมากจนเกินไป จะมีผลทำให้เกิดโรคเรื้อรังต่อผิวหนังได้ นอกจากนี้สารทำความสะอาดเหล่านี้ยังสะสมในชั้นบรรยากาศและมีลักษณะเป็นก๊าซเรือนกระจก (Greenhouse gases) ซึ่งมีผลทำให้เกิดภาวะโลกร้อน (Global warming) โดยจะมีผลนับร้อยปี เนื่องจากต้องใช้เวลาในการย่อยสลายที่ยาวนานมาก

1. ก๊าซเรือนกระจก (Greenhouse gas) เป็นก๊าซที่มีคุณสมบัติในการดูดซับคลื่นรังสีความร้อน ซึ่งมีความจำเป็นต่อการรักษาอุณหภูมิในชั้นบรรยากาศของโลกให้มีค่าคงที่ ซึ่งในชั้นบรรยากาศของโลกจะประกอบไปด้วยก๊าซ helyanit ซึ่งจะมีการเปลี่ยนแปลงที่แตกต่างกันมีทั้งเพิ่มขึ้นและลดลงตามคุณสมบัติของก๊าซแต่ละชนิด ถ้าหากในชั้นบรรยากาศของโลกไม่มีก๊าซเรือนกระจก จะทำให้อุณหภูมิในตอนกลางวันร้อนจัด และทำให้อุณหภูมิในตอนกลางคืนหนาวจัด เนื่องจากก๊าซเรือนกระจกทำหน้าที่ดูดคลื่นรังสีความร้อนไว้ในตอนกลางวัน พอกลางคืนจะ

ค่อยๆปล่อยรังสีความร้อนออกมานั่งจะทำให้ชั้นบรรยากาศของโลกไม่เกิดการเปลี่ยนแปลงอย่างฉบับล้น ซึ่งก้าวเรื่องกระจากที่เป็นสาเหตุทำให้เกิดภาวะโลกร้อนแบ่งออกเป็น 4 กลุ่ม ได้แก่

1.1 ก๊าซคาร์บอนไดออกไซด์ (CO_2) คือก๊าซที่เกิดขึ้นในชั้นบรรยากาศของโลกจากธรรมชาติและเกิดจากผู้มีอิมพูชัน เช่น การเผาไหม้เชื้อเพลิง ทั้งจากโรงงานอุตสาหกรรมและการใช้หัวมันจากเชื้อเพลิงในรถยนต์ และรวมถึงการตัดไม้ทำลายป่า การเผาป่า เพื่อการทำฟืนที่อยู่อาศัย ซึ่งถือว่าเป็นตัวการสำคัญในการปล่อยก๊าซคาร์บอนไดออกไซด์ซึ่งชั้นบรรยากาศ หน่วยงานคณะกรรมการระหว่างรัฐบาลว่าด้วยการเปลี่ยนแปลงสภาพภูมิอากาศ หรือ Intergovernmental Panel on Climate Change (IPCC) ยังระบุอย่างชัดเจนว่าก๊าซคาร์บอนไดออกไซด์เป็นก๊าซเรือนกระจกที่ทำให้เกิดการสะสมพลังงานความร้อนในชั้นบรรยากาศของโลกมากที่สุดเมื่อเทียบกับก๊าซชนิดอื่น

1.2 ก๊าซมีเทน (CH_4) คือก๊าซที่เกิดจากการย่อยสลายของชากสิ่งมีชีวิต ห้องเช่าพืช และชากสัตว์ เช่น จากการทำนา การเผาไหม้ของชากพืชชากสัตว์ และการเผาไหม้ของถ่านหิน หัวมัน ก๊าซธรรมชาติ

1.3 ก๊าซไนโตรออกไซด์ (N_2O) คือก๊าซที่เกิดจากอุตสาหกรรมที่ใช้กรดในตริกในการผลิตเส้นใยในลอน อุตสาหกรรมเคมี และอุตสาหกรรมพลาสติก

1.4 ก๊าซที่มีสารประกอบคลอโรฟลูออโรคาร์บอน (CFC) คือก๊าซที่เกิดจากการใช้สารทำความสะอาดอุปกรณ์ไฟฟ้า แผงวงจรไฟฟ้า ชั้นส่วนรถยนต์ รวมถึงเครื่องใช้ไฟฟ้าที่ใช้ในชีวิตประจำวัน เช่น สารทำความสะอาดเย็นในตู้เย็น และเครื่องปรับอากาศ

การทำงานของระบบทำความเย็นในปัจจุบัน มีปัจจัยหลักอยู่สองส่วนที่มีผลกระทบต่อสิ่งแวดล้อม คือสารทำความเย็นที่ใช้เป็นสารทำงาน และพลังงานไฟฟ้าที่ใช้สำหรับระบบทำความเย็น ซึ่งสามารถพิจารณาผลกระทบที่มีต่อสิ่งแวดล้อมของระบบทำความเย็นได้จากค่าดัชนีผลกระทบที่มีต่อการทำให้เกิดภาวะโลกร้อนเทียบเท่าโดยรวม (Total equivalent warming impact หรือ TEWI) ซึ่งเกิดจากการนำเอาผลกระทบทางตรงที่มาจากสารทำความเย็น (Direct effect) รวมกับผลกระทบทางอ้อมจากการผลิตพลังงาน (Indirect effect) โดยที่ TEWI มีหมายเป็นมวลของคาร์บอนไดออกไซด์เทียบเท่า ($\text{kg}/\text{CO}_2 \text{ equivalent}$) สามารถเขียนสมการสำหรับการคำนวณ TEWI ได้ตามสมการ 2.18 (Intergovernmental Panel on Climate Change, 2005)

TEWI = Direct effect + Indirect effect

$$\text{TEWI} = \left[(\text{GWP} \times m \times L \times N) + (\text{GWP} \times m (1 - \alpha)) \right] + (E \times \beta \times n) \quad (2.18)$$

- เมื่อ TEWI คือค่าดัชนีผลกระทบที่มีต่อการทำให้เกิดภาวะโลกร้อนเทียบเท่าโดยรวม
 GWP คือค่าศักยภาพในการทำให้เกิดภาวะโลกร้อน
 E คือผลกระทบทางอ้อมที่มีการปลดปล่อยก๊าซคาร์บอนไดออกไซด์จากการที่ใช้พลังงานในการดำเนินงานต่อปี (kWh)
 L คือการร่วงไหลของสารทำความเย็นต่อปี (กิโลกรัม/ปี)
 N คือระยะเวลาที่สารทำเย็นอยู่บนชั้นบรรยากาศ (ปี)
 m คือการเติมสารทำความเย็น (กิโลกรัม)
 α คือปัจจัยที่มีการนำสารทำความเย็นกลับมาใช้ใหม่
 n คืออายุการใช้งานของระบบ (ปี)
 β คือปริมาณการปลดปล่อยก๊าซคาร์บอนไดออกไซด์ที่เกิดจากการผลิตไฟฟ้าสำหรับใช้ในการทำงานของห้องห้องวอร์เท็กซ์

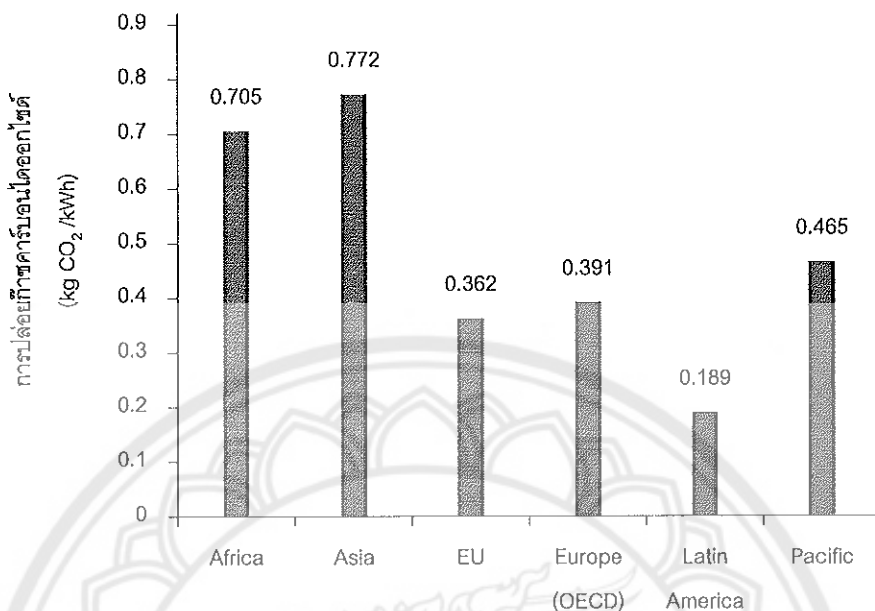
ตาราง 1 ก๊าซเรือนกระจกที่ถูกควบคุมภายใต้พิธีสารเกียวโตและค่า GWP100

ก๊าซเรือนกระจก	อัตราชดเชย	ระยะเวลา (ปี)	อายุในชั้น บรรยากาศ	ศักยภาพที่ทำให้เกิดภาวะ โลกร้อน (GWP 100 year)
1. ก๊าซคาร์บอนไดออกไซด์	CO_2			1
2. ก๊าซมีเทน	CH_4	12		23
3. Hydrofluorocarbons	HFC	1.4-270		122-14,310
4. Perfluorinated compounds	PEC	740-50,000		5,820-12,010
5. Hydrochlorofluorocarbons	HCFC	1.3-17.9		76-2,270
6. Sulphur hexafluoride	SF_6	3200		22,450
7. Nitrogen trifluoride	NF_3	740		10,970

ที่มา: Intergovernmental Panel on Climate Change, 2005

เมื่อก้าวเขื่อนกระจกมีการขยายเพิ่มขึ้น จะทำให้ความสามารถในการกักเก็บความร้อนในชั้นบรรยากาศมากขึ้น ผลคือจะทำให้อุณหภูมิที่ชั้นบรรยากาศของโลกเพิ่มสูงขึ้นด้วย อีกทั้งก้าวเขื่อนกระจกแต่ละชนิดยังมีค่าศักยภาพในการทำให้เกิดภาวะโลกร้อน (Global Warming Potential; GWP) ที่แตกต่างกัน ค่าศักยภาพในการทำให้เกิดภาวะโลกร้อนหรือเรียกอีกอย่างหนึ่งว่าค่าความสามารถในการกักเก็บความร้อน ซึ่งเกิดขึ้นเนื่องจากก้าวเขื่อนกระจกแต่ละชนิดมีความสามารถทำให้เกิดผลกระทบต่อสภาพภูมิอากาศต่างกัน จึงต้องมีหน่วยวัดการปลดปล่อยก้าวเขื่อนกระจกจาก GWP ซึ่งจะวัดทั้งผลที่ทำให้เกิดภาวะเรื่องกระจกและระยะเวลาในการคงอยู่ในชั้นบรรยากาศ โดยจะเปรียบเทียบกับก้าวcarbon dioxide จากรายงานของคณะกรรมการระหว่างรัฐบาลว่าด้วยเรื่องการเปลี่ยนแปลงสภาพภูมิอากาศ (Intergovernmental Panel on Climate Change) หรือ IPCC ได้วิเคราะห์ค่า GWP จากการปลดปล่อยก้าวเขื่อนกระจกของสารทำความเย็นแต่ละชนิดภายใต้พิธีสารเกียรติ (Kyoto Protocol) และอนุสัญญาสหประชาชาติว่าด้วยการเปลี่ยนแปลงสภาพภูมิอากาศ (UNFCCC) เพื่อนำมาวิเคราะห์ผลกระทบที่ทำให้เกิดภาวะโลกร้อนทั้งทางตรงและทางอ้อม TEWI และสามารถพิจารณาค่า GWP ในช่วงระยะเวลา 100 ปี ได้จากตาราง 1

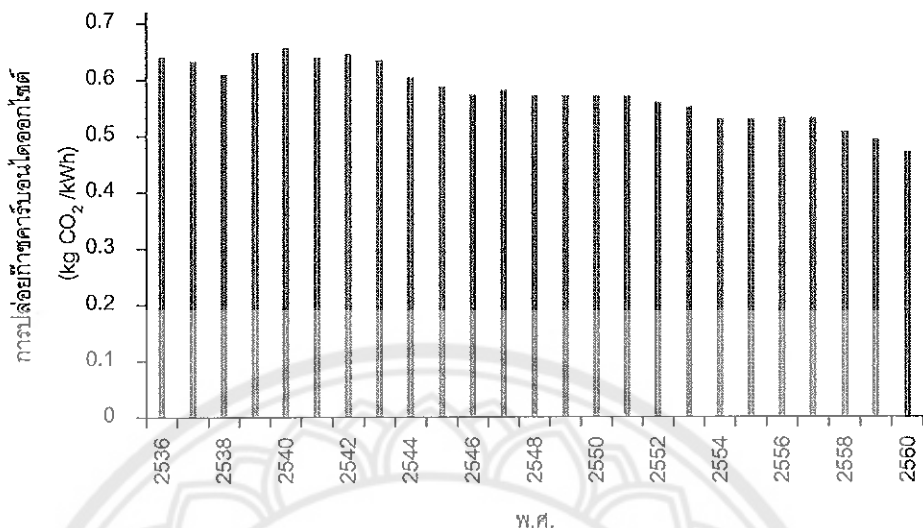
การปลดปล่อยก้าวcarbon dioxide ที่เกี่ยวข้องกับการผลิตไฟฟ้าในแต่ละประเทศมีความแตกต่างกัน ขึ้นอยู่กับเทคโนโลยีและเชื้อเพลิงที่ถูกนำมาใช้ในการผลิตไฟฟ้า เช่น ถ่านหิน ก้าวธรรมชาติ ระบบบางจรวด พลังน้ำ และอื่นๆ ซึ่งมีการคำนวณปริมาณการปลดปล่อยก้าวcarbon dioxide การปลดปล่อยก้าวเขื่อนกระจก ซึ่งมีผลเกี่ยวข้องกับการใช้พลังงาน แต่ถึงอย่างไร การปลดปล่อยก้าวที่เป็นปัญหาหลักของภาวะเรื่องกระจกหรือภาวะโลกร้อนก็คือการปลดปล่อยก้าวcarbon dioxide โดยมีสำนักงานพลังงานสากล (International energy agency) เป็นผู้ประเมิน การปลดปล่อยก้าวcarbon dioxide โดยการใช้พลังงานระดับประเทศและระดับภูมิภาค โดยมีการคำนวณการปลดปล่อยก้าวcarbon dioxide จากการผลิตต่อปีปริมาณการใช้ไฟฟ้าระดับประเทศ แสดงข้อมูลตามภาพ 18 จากภาพภูมิภาคเอเชียมีการปลดปล่อยก้าวcarbon dioxide สูงสุด เนื่องจากมีการใช้เชื้อเพลิงซากดึกดำบรรพ์เป็นหลัก 79% แต่ในทางกลับกันลาดินอเมริกามีการปลดปล่อยก้าวcarbon dioxide ต่ำสุดเนื่องจากใช้พลังงานหมุนเวียนเป็นหลัก 72%



ภาพ 18 การปล่อยก๊าซคาร์บอน dioxide ต่อ kWh ของการใช้ไฟฟ้าในแต่ละภูมิภาค

ที่มา: Intergovernmental Panel on Climate Change, 2005

จากข้อมูลสถิติการปล่อยก๊าซคาร์บอน dioxide (CO₂)จากการผลิตไฟฟ้า ของสำนักงานนโยบายและแผนพัฒนากระทรวงพลังงาน พบว่าประเทศไทยมีการปล่อยก๊าซคาร์บอน dioxide ต่อหน่วยการผลิตไฟฟ้าเฉลี่ย 0.465 kgCO₂/kWh เนื่องจากใช้เชื้อเพลิงก๊าซธรรมชาติ 60% รองลงมาคือถ่านหิน/ลิกไนต์ 18% ไฟฟ้าน้ำเข้า 12% พลังงานหมุนเวียน 8% พลังงานน้ำ 2% และน้ำมัน 0.2% ซึ่งจะเห็นว่าการปล่อย CO₂ มีค่าต่ำกว่าค่าเฉลี่ยของทวีปเอเชีย แต่ยังมีค่าสูงกว่าสหภาพยุโรปและประเทศที่พัฒนาแล้วในทวีปอเมริกา การผลิตไฟฟ้าของประเทศไทยในที่นี้หมายถึงการผลิตไฟฟ้ารวมของระบบการไฟฟ้าฝ่ายผลิต (กฟผ.) และการผลิตไฟฟ้าสุทธิ (Net energy generation) ของผู้ผลิตไฟฟ้าเอกชนรายใหญ่ ผู้ผลิตไฟฟ้าเอกชนรายเล็ก และผู้ผลิตไฟฟ้าเอกชนรายเล็กมาก ในแต่ละปีประเทศไทยมีการปล่อยก๊าซคาร์บอน dioxide แนวโน้มลดลงอย่างต่อเนื่อง โดยจะแสดงข้อมูลสถิติการปล่อยก๊าซ CO₂ ของประเทศไทยในช่วงเดือนกรกฎาคมถึงเดือนกันยายนตั้งแต่อดีตจนถึงปัจจุบัน ซึ่งในปี 2560 พบว่ามีการปล่อยก๊าซคาร์บอน dioxide เท่ากับ 0.471 kgCO₂/kWh และแสดงข้อมูลสถิติการปล่อยก๊าซเรือนกระจกของประเทศไทยที่เกิดขึ้นต่อหน่วยการผลิตไฟฟ้าตามภาพ 19 (สำนักงานนโยบายและแผนพัฒนากระทรวงพลังงาน, 2561)



ภาพ 19 การเปลี่ยนแปลงค่าไฟฟ้าของประเทศไทย

ที่มา: สำนักงานนโยบายและแผนพลังงาน กระทรวงพลังงาน, 2561

งานวิจัยที่เกี่ยวข้อง

ท่อออร์เทกซ์เป็นคุปกรณ์ชนิดหนึ่ง ซึ่งเป็นที่รู้จักมานานในงานด้านวิศวกรรม จึงมีนักวิจัยหลายท่านให้ความสนใจศึกษาเพื่อพัฒนาท่อออร์เทกซ์มาอย่างต่อเนื่อง โดยจะมีหลายงานวิจัยที่เกี่ยวข้องกับงานวิจัยนี้ ทั้งในส่วนของการออกแบบท่อออร์เทกซ์ซึ่งจะเกี่ยวข้องกับขนาด รูปทรง รูปร่างชิ้นส่วนที่สำคัญของท่อออร์เทกซ์ โดยมีงานวิจัยที่เกี่ยวข้องดังต่อไปนี้ ได้แก่ ญี่ปุ่น ดังนี้

Saidi, & Valipour (2003) ได้ศึกษาการทดลองและการสังเกตพฤติกรรมการทำงานของท่อออร์เทกซ์ จากการศึกษาพบว่าตัวแปรที่มีผลต่อการลดลงของอุณหภูมิอากาศเย็นและประสิทธิภาพการทำงานของท่อออร์เทกซ์แบ่งเป็น 2 ประเภท คือ ตัวแปรทางรูปทรงเรขาคณิต ได้แก่ ขนาดเส้นผ่านศูนย์กลางและความยาวของห่อ เส้นผ่านศูนย์กลางปลายห่อเย็น ลักษณะของหัวฉีด และตัวแปรทางกายภาพ ได้แก่ ความดันแก๊ส ชนิดของแก๊ส ความชื้น และค่าสัดส่วนมวลอากาศเย็น ในการทดลองได้ศึกษาค่าที่มีความเหมาะสมสำหรับงานวิจัยนี้ทดสอบโดยใช้ท่อออร์เทกซ์ที่มีขนาดเส้นผ่านศูนย์กลางห่อร้อน 18 mm ความยาวห่อ 1000 mm ติดตั้งหัวฉีดทางเข้าห่อ 3 หัวฉีด ทดสอบที่ความดันอากาศ 3 bar และค่าสัดส่วนมวลอากาศเย็น 0.6 พบว่าท่อออร์เทกซ์สามารถลดอุณหภูมิบริเวณปลายห่อเย็นได้สูงถึง 43°C และมีประสิทธิภาพไอกเซนโทรปิกสูงสุด 45% และพบว่า สัดส่วนขนาดห่อร้อน(L/D) เป็นตัวแปรที่มีผลต่อประสิทธิภาพของท่อออร์เทกซ์ ค่าที่เหมาะสมในการทดลองควรอยู่ในช่วงตั้งแต่ 20 ถึง 55.5 สำหรับความดันอากาศ 5 bar

Promvonge, & Eiamsa-ard (2005) ได้ศึกษาเกี่ยวกับการแยกหันอุณหภูมิของท่อวอร์เท็กซ์ โดยใช้ท่อวอร์เท็กซ์ที่มีขนาดความยาวท่อ 720 mm เส้นผ่าศูนย์กลางของห่อ 16 mm และติดตั้งหัวฉีดทางเข้าท่อเท่ากับ 4 โดยทดสอบที่ความดัน 3.5 bar ค่าสัดส่วนมวลอากาศเย็น 0.38 พบว่าท่อวอร์เท็กซ์มีค่าความแตกต่างระหว่างอุณหภูมิอากาศทางเข้าและอากาศปลายห่อเย็น ถุงสุดถึง 30°C และมีประสิทธิภาพไอเซนโทรปิกสูงสุด 33% และเมื่อนำวนันกันความร้อนหุ้มบริเวณผิวของท่อวอร์เท็กซ์ พบร่วมบริเวณปลายห่อเย็นของท่อวอร์เท็กซ์มีอุณหภูมิลดลงเมื่อเทียบกับไม่หุ้มนันกันความร้อน $2\text{--}3^{\circ}\text{C}$

Aydin, & Baki (2006) ได้ศึกษาทดลองการออกแบบตัวแปรและสังเกตพฤติกรรมการไหลของอากาศของท่อวอร์เท็กซ์ พบร่วมความดันอากาศทางเข้าท่อวอร์เท็กซ์และค่าสัดส่วนมวลอากาศเย็นของท่อวอร์เท็กซ์เป็นตัวแปรสำคัญที่บ่งถึงประสิทธิภาพการทำงานของท่อวอร์เท็กซ์ในการทำลองได้ศึกษากับท่อวอร์เท็กซ์ที่มีขนาดเส้นผ่าศูนย์กลางห่อ 18 mm และมีการแปรค่าขนาดมุมวาร์บิเวณปลายห่อร้อนตั้งแต่ 45° ถึง 60° ขนาดความยาวของห่อตั้งแต่ 250 ถึง 750 mm และแปรค่าขนาดเส้นผ่าศูนย์กลางปลายหอทางเข้าที่ 5.6 และ 7 mm ผลการทำลองเมื่อให้ความดันอากาศอัดเข้าไปในห่อ 5 bar และปรับค่าสัดส่วนมวลอากาศเย็น 0.2 พบร่วมขนาดของท่อวอร์เท็กซ์ที่มีความเหมาะสมที่สุดเมื่อความยาวของห่อ 350 mm หรืออัตราส่วนความยาวต่อเส้นผ่านศูนย์กลางห่อ 19.4 มุมวาร์บิเวณปลายห่อร้อน 50° และขนาดเส้นผ่าศูนย์กลางทางเข้าห่อ 6 mm สามารถลดอุณหภูมิบริเวณปลายห่อเย็นลงได้ถุงสุด 51°C ในขณะเดียวกันเมื่อทดสอบที่ความดัน 3 bar ท่อวอร์เท็กซ์สามารถลดอุณหภูมิบริเวณปลายห่อเย็นได้ 31°C

Agrawal, & Gawale (2014) ได้เรียนงานวิจัยทดลองตัวแปรที่มีผลต่อการเปลี่ยนแปลงของท่อวอร์เท็กซ์ ได้แก่ สัดส่วนความยาวต่อเส้นผ่าศูนย์กลาง สัดส่วนมวลอากาศเย็น และความดันอากาศ ในงานวิจัย ทดสอบโดยใช้อากาศที่มีความดัน 4 bar อัดเข้าไปในท่อวอร์เท็กซ์ และปรับค่าสัดส่วนมวลอากาศเย็น 0.6 พบร่วม เมื่อควบคุมให้ค่าสัดส่วนความยาวต่อเส้นผ่าศูนย์กลางของห่อ 17.5 จะมีค่าความแตกต่างระหว่างอุณหภูมิอากาศทางเข้าห่อและอุณหภูมิปลายห่อเย็นถุงสุด 29°C มีประสิทธิภาพไอเซนโทรปิก 29.2% และมีค่าความสามารถการทำงานเย็น 0.118 และยังพบร่วมเมื่ออุณหภูมิทางเข้าห่อออกบริเวณปลายหออากาศเย็นลดลงสูดเมื่อค่าสัดส่วนมวลอากาศเย็น 0.6

Eiamsa-ard (2543) ได้ศึกษาการลดอุณหภูมิอากาศด้วยท่อวอร์เท็กซ์ ศึกษาตัวแปรที่มีผลต่อการทำงานเย็นของท่อวอร์เท็กซ์ ที่ความดันอากาศ 2.3 และ 3.5 bar และศึกษาจำนวนหัวฉีดทางเข้าห่อที่ 1.2 และ 4 หัวฉีด พบร่วมเมื่อความดันอากาศเพิ่มขึ้นจะทำให้อุณหภูมิลดต่ำลง

ด้วยจากการศึกษาพบว่าเมื่อใช้หัวจีดเท่ากับ 4 และความดันอากาศ 3.5 bar และปรับค่าสัดส่วนมวลอากาศที่ 0.328 จะทำให้มีประสิทธิภาพการทำความเย็นของห้องที่สุดและลดอุณหภูมิที่ปล่อยออกจากท่อเย็นถึง 30°C

Aydin et al. (2010) ได้ศึกษาขนาดรูปทรงทางเรขาคณิตที่มีผลต่อการไหลของอากาศสำหรับห้องออร์เต็กซ์ โดยได้ศึกษาการออกแบบปลายท่อเย็นและเกลียวหมุนบริเวณปลายห่อร้อนของห้องออร์เต็กซ์ คณะผู้วิจัยได้ออกแบบและสร้างห้องออร์เต็กซ์ ให้ห้องมีขนาดเส้นผ่านศูนย์กลางห่อ 10 mm ทำจาก Plexiglass ซึ่งเป็นแผ่นกระจกทนความร้อนทำด้วยโพลิเมอร์ทนทานกว่ากระจกธรรมชาติ หัวจีดและเกลียวหมุนปลายห่อร้อนทำจากทองเหลือง และบริเวณปลายห่อทั้ง 3 ด้าน ทำจาก Delrin หรือเรียกอีกชื่อว่า Polyoxy methylene plastic ซึ่งเป็นพลาสติกชนิดหนึ่งที่มีความทึบแสง ผลกระทบของเมื่อป้อนอากาศที่มีความดัน 3 bar เข้าไปในห้องค่าสัดส่วนระหว่างความเยาต่อเส้นผ่านศูนย์กลางห่อเท่ากับ 30 ความยาวของเกลียวหมุน 10 mm และปรับค่าสัดส่วนมวลอากาศเย็น 0.88 พบร่วมกับความแตกต่างระหว่างคุณภูมิทางเข้าห้องและอุณหภูมิบริเวณปลายห่อเย็นมีค่าสูงสุด 46°C มีประสิทธิภาพไอเซนไทร์ปิกสูงสุด 25% และค่าสัมประสิทธิ์สมรรถนะการทำความเย็นของห้องออร์เต็กซ์ 0.2

Im, & Yu (2012) ได้ศึกษาผลของตัวแปรทางเรขาคณิตที่มีผลต่อการแยกชั้นอุณหภูมิการไหลอากาศของห้องออร์เต็กซ์สำหรับการออกแบบที่เหมาะสมที่สุด ได้ศึกษาสัดส่วนของพื้นที่หัวจีดได้แก่ 0.130 0.142 0.153 0.164 และ 0.176 และศึกษาความดันที่ป้อนเข้าไปในห้องตั้งแต่ 0.39 ถึง 1.57 bar โดยห้องออร์เต็กซ์มีสัดส่วนระหว่างความเยาต่อเส้นผ่านศูนย์กลางห่อเท่ากับ 14 ผลกระทบของพบร่วมกับหัวจีดที่มีสัดส่วนพื้นที่หัวจีด 0.142 จะมีค่าอุณหภูมิอากาศปลายห่อร้อนสูงที่สุดขณะที่สัดส่วนเท่ากับ 0.164 จะมีค่าอุณหภูมิอากาศปลายห่อเย็นต่ำที่สุด และยังพบว่าประสิทธิภาพในการแยกชั้นพลังงานที่มีผลเกิดจากความดันอากาศที่ป้อนเข้าไป จะทำให้เกิดความแตกต่างอุณหภูมิอากาศเย็นสูงสุดที่สัดส่วนมวลอากาศเย็น 0.6

Darokar et al. (2012) ได้ศึกษาการทดลองของห้องออร์เต็กซ์โดยศึกษาหัวจีดที่บริเวณทางเข้าห้อง งานวิจัยนี้ได้ออกแบบห้องออร์เต็กซ์ที่ทำจากทองเหลือง ที่มีขนาดเส้นผ่านศูนย์กลางห่อ 12.5 mm ความยาวห้อง 225 mm และติดตั้งหัวจีดทางเข้าห้องเท่ากับ 6 ในการทดลองมีการแบร์ค่าเส้นผ่านศูนย์กลางหัวจีดตั้งแต่ 3-8 mm และมุมวาร์ส์หมุนบริเวณปลายห่อร้อนที่ 30° 45° 60° และ 90° พบร่วมกับทดสอบที่ความดันอากาศ 3 bar และที่มุมวาร์ส์หมุน 60° ห้องออร์เต็กซ์มีความแตกต่างระหว่างคุณภูมิทางเข้าห้องและอุณหภูมิบริเวณปลายห่อเย็น 19°C มีประสิทธิภาพไอเซนไทร์ปิกสูงสุด 19% และค่าสัมประสิทธิ์สมรรถนะการทำความเย็นของห้องออร์เต็กซ์ 0.150 ยังพบว่า

ท่อออร์เทกซ์จะให้ค่าความแตกต่างระหว่างอุณหภูมิทางเข้าท่อและอุณหภูมิปลายท่อเย็นสูงขึ้น เมื่อเพิ่มความดันอากาศเข้าไปในท่อออร์เทกซ์ให้สูงขึ้นด้วย

Devade, & Pise (2014) ได้ศึกษาผลของเส้นผ่านศูนย์กลางบริเวณปลายท่อเย็นและรูปร่างวัลว์หมุนบริเวณปลายท่อร้อน เพื่อศึกษาถึงประสิทธิภาพการทำงานของท่อออร์เทกซ์โดยออกแบบท่อออร์เทกซ์ที่ทำจากทองเหลืองที่มีขนาดเส้นผ่านศูนย์กลาง 36 mm ความยาว 225 mm ขนาดมุมกว้าง 6° และติดตั้งหัวฉีดทางเข้าท่อเท่ากับ 2 ผลกระทบดังที่ความดันอากาศ 3 bar และปรับค่าสัดส่วนอากาศเย็น 0.8-1 มีการเปลี่ยนแปลงอุณหภูมิระหว่างทางเข้าและทางออกท่อเย็น สูงสุด 23°C และค่าสัมประสิทธิ์สมรรถนะการทำความเย็นของท่อออร์เทกซ์ 0.095

ศิรินทร์ โภมพิรัญ (2555) ได้สร้างท่อออร์เทกซ์สำหรับระบบปั้นอากาศในพื้นที่จำกัด จะต้องคำนึงถึงปัจจัยในการออกแบบเพื่อเพิ่มประสิทธิภาพให้กับท่อออร์เทกซ์ พบว่าจำนวนหัวฉีดทางเข้า ควรมี 6 7 และ 8 หัวฉีด จากงานวิจัยของเข้าพบว่าท่อออร์เทกซ์ที่ทำจากท่อพีวีซีมีความสามารถทำความเย็นได้จริง และมีประสิทธิภาพพื้นอยู่กับการออกแบบลักษณะทางเรขาคณิตของท่อ ในงานวิจัยนี้มีประสิทธิภาพการทำงานได้ดีเมื่อ สัดส่วนความยาวต่อเส้นผ่านศูนย์กลางของท่อ เท่ากับ 30 สัดส่วนระหว่างเส้นผ่านศูนย์กลางของหัวฉีดด้านเย็นต่อเส้นผ่านศูนย์กลางของท่อ 0.6 สัดส่วนเส้นผ่านศูนย์กลางของหัวฉีดด้านร้อนต่อเส้นผ่านศูนย์กลางของท่อ 0.4 จะต้อง สอดคล้องกับค่าสัดส่วนมวลอากาศเย็นเท่ากับ 0.6 จะให้ค่าความแตกต่างระหว่างอุณหภูมิทางเข้า และทางออกปลายท่อเย็นสูงสุด 19°C

Farzaneh-Gord, & Sadi (2014) ได้ศึกษาการพัฒนาประสิทธิภาพของท่อออร์เทกซ์โดย การออกแบบตันกำเนิดกระแสหหมุนวน ได้ศึกษาการทำงานของท่อออร์เทกซ์ที่มีความดันอากาศ 4 bar โดยสนใจศึกษา 3 ตัวแปร ได้แก่ แปรค่ามุมของช่องอากาศเย็นตั้งแต่ 0.7 ถึง 5.1 แปรค่าขนาดเส้นผ่านศูนย์กลางของช่องอากาศปลายท่อเย็นตั้งแต่ 5.6 ถึง 8.2 และแปรค่าสัดส่วนพื้นที่ของหัวฉีดตั้งแต่ 0.14 ถึง 0.17 พบว่าที่ค่าสัดส่วนมวลอากาศเย็นที่เหมาะสมที่สุด ท่อออร์เทกซ์มีประสิทธิภาพการทำความเย็นดีที่สุด เมื่อมีขนาดมุมของช่องอากาศเย็น 4.1 ขนาดเส้นผ่านศูนย์กลางของอากาศปลายท่อเย็น 6.4 และสัดส่วนพื้นที่ของหัวฉีด 0.14 สามารถให้ค่าความแตกต่างอุณหภูมิอากาศเย็นสูงสุด 15°C 21°C และ 20°C ตามลำดับ แสดงให้เห็นว่าขนาดเส้นผ่านศูนย์กลางช่องอากาศเย็นและสัดส่วนพื้นที่ของหัวฉีดมีผลต่อการพัฒนาประสิทธิภาพการทำความเย็นของท่อออร์เทกซ์สูงที่สุด

Pourmahmoud et al. (2015) ได้ศึกษาการทดลองเกี่ยวกับผลของเส้นผ่านศูนย์กลาง ของช่องอากาศเย็นของท่อออร์เทกซ์ โดยที่ท่อออร์เทกซ์ทำจากสแตนเลสและบางส่วนทำจาก

อะลูมิเนียม ให้อากาศที่ความดันอากาศ 5 bar เข้าไส้ศักขรานาดช่องอากาศเย็น ที่มีขนาดเส้นผ่าศูนย์ 2 mm 3 mm และ 4 mm โดยที่ขนาดเส้นผ่านศูนย์กลางท่อวอร์เต็กซ์ 8.5 mm ผลการทดลองที่บ่อกถังขนาดช่องอากาศเย็นของท่อวอร์เต็กซ์ที่เหมือนกัน สามารถหาได้จากสัดส่วนช่องอากาศเย็นระหว่างเส้นผ่านศูนย์กลางช่องอากาศเย็นต่อเส้นผ่านศูนย์กลางท่อวอร์เต็กซ์ ผลการทดลองพบว่าท่อวอร์เต็กซ์ที่มีสัดส่วนช่องอากาศเย็นที่ 0.47 0.24 และ 0.35 มีค่าความแตกต่างระหว่างอากาศทางเข้าและอากาศปลายน้ำเท่ากับ 46°C 43°C และ 42°C ตามลำดับ นั่นแสดงว่าท่อวอร์เต็กซ์ที่มีขนาดสัดส่วนช่องอากาศเย็น 0.47 มีความสามารถการทำความเย็นสูงสุด

Kumar et al. (2017) ได้ศึกษาเกี่ยวกับการทำความเย็นและการลดความชื้นโดยใช้ท่อวอร์เต็กซ์ โดยศึกษาสองกรณีคือกรณีไม่หุ้มนวนและกรณีหุ้มนวนให้กับท่อวอร์เต็กซ์ พบร่วมกัน แต่ก่อต่างกันในคุณภาพอากาศเย็นเพิ่มขึ้น ที่สัดส่วนมวลอากาศเย็นตั้งแต่ 0 จนถึงจุดที่สูงสุด ประมาณ 0.3-0.5 หลังจากนั้นความแตกต่างคุณภาพอากาศเย็นมีค่าลดลงตามค่าสัดส่วนมวลอากาศเย็น ซึ่งแสดงผลเหมือนกันทั้งในกรณีไม่หุ้มนวนและหุ้มนวน เช่นเดียวกับความชื้นสัมพัทธ์มีค่าเพิ่มขึ้น จนถึงจุดหนึ่งหลังจากนั้นมีค่าลดลงตามสัดส่วนมวลอากาศเย็น ซึ่งแสดงผลเหมือนกันทั้งแบบหุ้มนวนและไม่หุ้มนวน ที่ความดันอากาศทางเข้าท่อ 4 bar พบร่วมกับท่อวอร์เต็กซ์มีความชื้นสัมพัทธ์สูงสุดเท่ากับ 65% และ 67% ที่มีการหุ้มนวนและไม่หุ้มนวน ตามลำดับ และยังพบว่าการหุ้มนวนที่ท่อวอร์เต็กซ์ทำให้ค่าความแตกต่างคุณภาพอากาศเย็นและอากาศร้อนสูงกว่าการทำหุ้มนวน

สินีพร จันทร์สว่าง (2558) ได้ศึกษาถึงประสิทธิภาพการทำความเย็นของท่อวอร์เต็กซ์ที่ติดตั้งกับตู้ทดลอง โดยทดสอบที่ความดันอากาศ 3 bar และมีการแบ่งค่าสัดส่วนมวลอากาศเย็น ตั้งแต่ 0.28-1 พบร่วมกับค่าสัดส่วนมวลอากาศเย็น 0.55 มีค่าความแตกต่างระหว่างคุณภาพอากาศทางเข้าท่อและคุณภาพอากาศปลายท่อเย็น ค่าประสิทธิภาพไอลเซนโทรปิก และค่าสัมประสิทธิ์สมรรถนะการทำความเย็นของท่อวอร์เต็กซ์สูงที่สุด คือ 27°C 0.3 และ 0.13 ตามลำดับ และพบว่าอากาศเย็นจากท่อวอร์เต็กซ์สามารถช่วยการระบายอุณหภูมิที่เพิ่มขึ้นของอุปกรณ์ให้ความร้อนให้เกิดช้าลงได้จริง

นอกจากนี้ผู้วิจัยได้รวมงานวิจัยที่เกี่ยวข้องกับการออกแบบท่อวอร์เต็กซ์ ที่ได้จากการศึกษาด้วยการทดลองอีกหลายงานวิจัย โดยรวมรวมและสรุปดังตาราง 2

ตาราง 2 งานวิจัยที่เกี่ยวข้องกับการออกแบบป้องกันอุบัติเหตุ

ผู้จัด	รูปแบบ	เงื่อนไขการศึกษา						ผลการศึกษา				
		การศึกษา	แรงไหล	P_{in}	L_h	D_h	D_c	จำนวน	ΔT_c	ΔT_h	COP	η (%)
Saidi, & Valipour (2003)	การทดสอบ	3 bar	3 bar	-	-	-	-	0.17 D_h^*	5.5*	5.8*		
								0.28 D_h^*	15.6*	16.2*		
								0.38 D_h^*	-	27.8*	-	28.2*
								0.5 D_h^*	37.8*			38.2*
Promvonge, & Eiamsa-ard (2005)	การทดสอบ	3.5 bar	720	16	8	2	1	19*	19*	21.5*		
								29*	-	-	31*	
								4	30*		33*	
								250	27*	65*		
Aydin, & Baki (2006)	การทดสอบ	5 bar	350	18	6	-	51*	75*	-	-		
								46*	62*			
			750				43*	43*	62*			

ตาราง 2 (ต่อ)

ผู้วิจัย	รูปแบบ	การศึกษา	ข้อมูล	เงื่อนไขการศึกษา				ผลการศึกษา			
				P_{in}	L_h (mm)	D_h (mm)	D_c (mm)	จำนวน หัวฉีด	ΔT_c	ΔT_h	COP
Im, & Yu (2012)	การทดสอบ	อาการ	0.39 bar						8*	8*	
			0.69 bar						12.5*	14*	
			0.98 bar	14 D_h	20	-	-	6	14*	13*	-
			1.27 bar						18*	17.5*	
Dincer et al. (2013)	การทดสอบ	อาการ	1.57 bar						19*	21*	
				150					23*	33*	
				160	10	5	5		28*	33.5*	
				170					25*	39.5	-
Agrawal et al. (2014)	การทดสอบ	อาการ	180						28.6	36.5*	
				125					27	0.11	27.2
			4 bar	175	10	4	-	29	-	0.118	29.2
			225					24	0.098	24.3	

ตาราง 2 (ต่อ)

ผู้จัด	รูปแบบ	เงื่อนไขการศึกษา						ผลการศึกษา				
		การศึกษา	ข้อง้อหก	P_{in}	L_h (mm)	D_h (mm)	D_c (mm)	จำนวน หัวฉีด	ΔT_c	ΔT_h	COP	η (%)
Fazaneh-Gord, & Sadi (2014)	การทดสอบ	2 ภากาศ	4 bar	95.2	10	6.4	6	5.6	17.5*	40*	19.0*	21.5*
									19*	35*	-	22.5*
									21*	47*	-	13.5*
									12.5*	38*	-	11.0*
Attalla et al. (2017)	การทดสอบ	2 ภากาศ	6 bar	112.5	7.5	5	3	2	23*	23*	0.19*	-
									25	-	0.21	-
									6	21*	0.175*	-

หมายเหตุ: * คือค่าประมาณมาตรฐานจากการ

P_{in} คือความดันของอากาศเข้า L_h คือความยาวของหัวฉีด D_h คือเส้นผ่าศูนย์กลางหัวฉีดที่กว้าง

D_c คือเส้นผ่านศูนย์กลางช่องออกอากาศ ΔT_c คือความแตกต่างอุณหภูมิออกอากาศและ ΔT_h คือความแตกต่างอุณหภูมิอากาศที่ร้อน

COP คือค่ามีประสิทธิภาพที่หัวฉีด η คือประสิทธิภาพไอน้ำเม็ด冰水ที่ร้อน

จากการวิจัยที่ได้ศึกษามาข้างต้น และจากตาราง 2 จะเห็นได้ว่าประสิทธิภาพการทำความเข้าใจของท่ออวอร์เท็กซ์ขึ้นอยู่กับสองปัจจัยหลัก คือปัจจัยทางกายภาพ ได้แก่ ความดันอากาศที่ป้อนเข้าไปในท่อ และสัดส่วนมวลอากาศเย็น อีกปัจจัยหนึ่งคือปัจจัยทางเรขาคณิต ได้แก่ ขนาดความยาวและเส้นผ่านศูนย์กลางท่อ ขนาดเส้นผ่านศูนย์กลางปลายท่อ จำนวนและลักษณะของหัวฉีด และอื่นๆ โดยจะสรุปได้ว่า

1. ความดันอากาศที่ป้อนให้กับท่ออวอร์เท็กซ์มีผลต่อประสิทธิภาพของท่ออวอร์เท็กซ์ เมื่อเพิ่มความดันให้สูงขึ้น จะทำให้ค่าความแตกต่างอุณหภูมิอากาศร้อนและค่าความแตกต่างอุณหภูมิอากาศเย็นเพิ่มสูงขึ้น จะส่งผลให้ความสามารถในการทำความเข้าใจของท่ออวอร์เท็กซ์จะเพิ่มสูงขึ้นมากด้วย

2. จำนวนหัวฉีดที่มีการนำมาใช้ในการทดลองติดตั้งกับท่ออวอร์เท็กซ์ มีตั้งแต่ 1 ถึง 6 หัวฉีด ประสิทธิภาพของท่ออวอร์เท็กซ์จะดีขึ้นเมื่อจำนวนหัวฉีดที่นำมาติดตั้งมากขึ้น เพราะทำการแยกชั้นของอุณหภูมิสูงขึ้นและทำให้ความแตกต่างของอุณหภูมิที่ป้อนเข้าไปในท่อและปล่อยออกจากท่อมีค่าสูงขึ้นด้วย

3. ในการออกแบบสร้างท่ออวอร์เท็กซ์มีการคำนึงถึงสัดส่วนระหว่างความยาวต่อเส้นผ่านศูนย์กลางท่อ (L/D) พ布ว่าถ้าสัดส่วนมีค่าที่เหมาะสมจะทำให้ได้ประสิทธิภาพของท่อดีขึ้นด้วย

4. มุมของหัวฉีดที่ทำให้เกิดการหมุนของอากาศที่มีขนาดเล็กมีประสิทธิภาพในการทำความร้อนของท่ออวอร์เท็กซ์ดีขึ้นด้วย

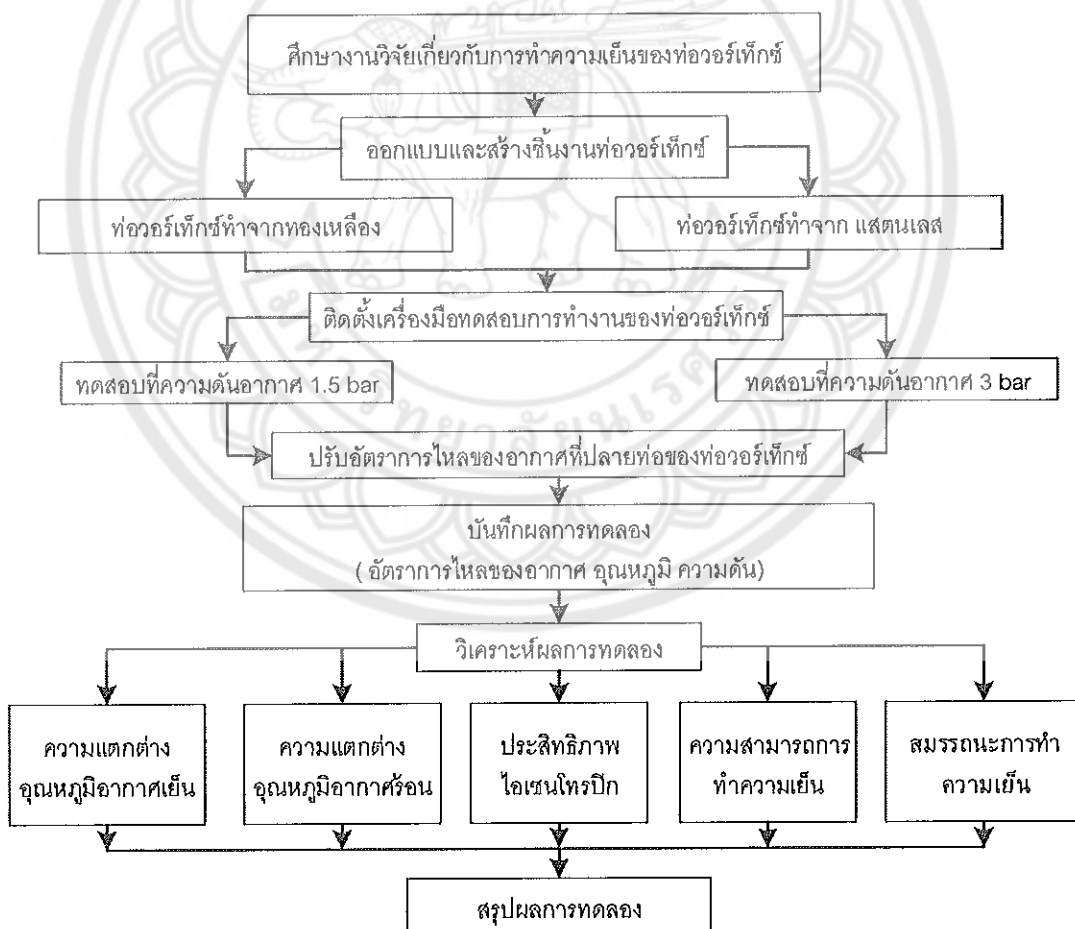
5. ชิ้นส่วนประกอบของท่ออวอร์เท็กซ์ทำจากวัสดุหลายชนิด ได้แก่ ทองเหลือง สแตนเลส พลาสติก อะลูมิเนียม ฟิวชัน

ในงานวิจัยชิ้นนี้ได้เห็นถึงประโยชน์และความสามารถการทำความเข้าใจของท่ออวอร์เท็กซ์ ซึ่งให้เพียงอากาศในการทำความเย็น ไม่ใช้สารทำงานที่มีผลกระทบต่อภาวะก้าชเรือนกระจก งานวิจัยชิ้นนี้จึงได้ออกแบบและสร้างอุปกรณ์ทำความเย็นของอวอร์เท็กซ์เพื่อให้มีประสิทธิภาพการทำางาน และมีความสามารถการทำความเย็นที่ดี โดยศึกษาถึงโครงสร้างที่ได้ออกแบบและอ้างอิงจากงานวิจัย เพื่อเป็นการพัฒนาท่ออวอร์เท็กซ์ให้มีประสิทธิภาพการทำความเย็นได้มากขึ้น

บทที่ 3

วิธีดำเนินงานวิจัย

ในบทนี้กล่าวถึงวิธีดำเนินการวิจัยเพื่อศึกษาประสิทธิภาพการทำงานของห่อခร์เทกซ์ โดยเริ่มจากการศึกษางานวิจัยที่เกี่ยวข้องกับการออกแบบห่อชาร์ท์โดยการรวบรวมข้อมูลจากงานวิจัยที่ศึกษาตัวแปรที่มีผลต่อประสิทธิภาพของห่อชาร์ท์จากนั้นกิจกรรมที่ศึกษามาก่อนหน้าเพื่อทำการออกแบบห่อชาร์ท์ จากนั้นทำการสร้างห่อชาร์ท์ขึ้นมา 2 ชุด ได้แก่ห่อชาร์ท์ที่ทำจากทองเหลือง 1 ชุด และทำจากสแตนเลส 1 ชุด ทำการทดสอบเพื่อหาประสิทธิภาพการทำความเย็น โดยได้สรุปลำดับขั้นตอนการดำเนินงานดังภาพ 20



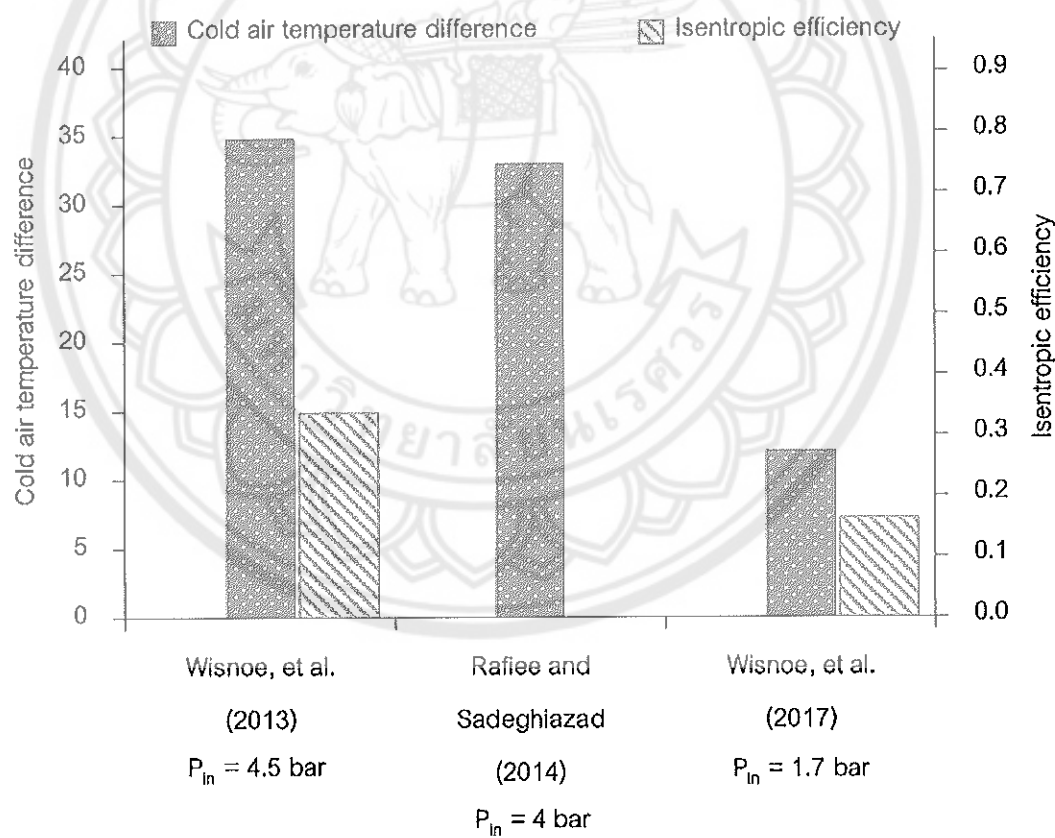
ภาพ 20 แผนผังขั้นตอนการดำเนินการวิจัย

ขนาดชิ้นส่วนประกอบของท่อวอร์เท็กซ์

การออกแบบส่วนประกอบของท่อวอร์เท็กซ์ ทำการกำหนดขนาดของชิ้นส่วนที่สำคัญโดยการห้างของงานวิจัยของนักวิจัยหลายท่านและจากลักษณะภูมิร่วงของชิ้นส่วนประกอบต่าง ๆ ที่ได้ทำการศึกษามาก่อนหน้านี้ ซึ่งจะมีรายละเอียดการศึกษาขนาดส่วนประกอบเฉพาะที่สำคัญดังนี้

1. ตันกำเนิดกระแสหมุนวน (Vortex generator)

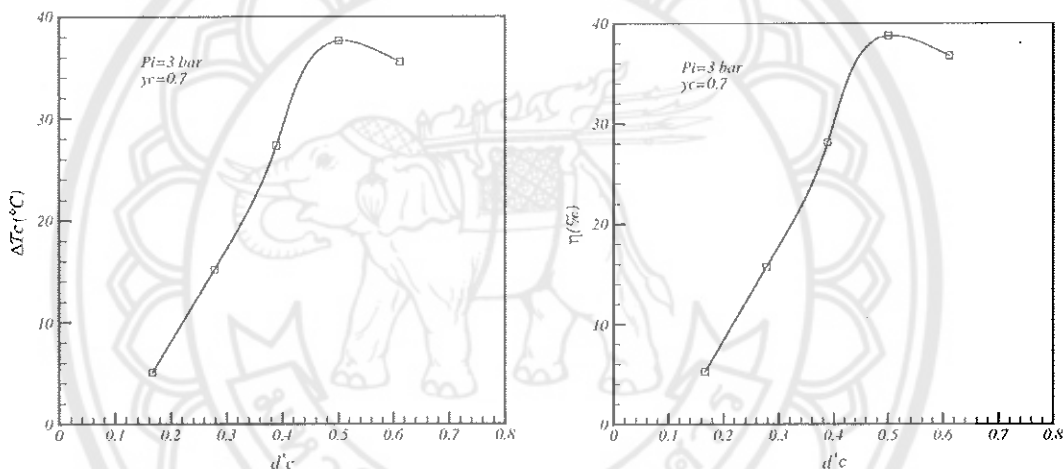
ตันกำเนิดกระแสหมุนวนเป็นชิ้นส่วนหนึ่งภายในท่อวอร์เท็กซ์ ประกอบไปด้วยหัวฉีดทำหน้าที่เป็นจุดกำเนิดทำให้เกิดกระแสหมุนวนและทำให้เกิดการแยกชั้นระหว่างกระแสอากาศ และกระแสอากาศเย็นออกจากกัน อีกทั้งยังประกอบด้วยช่องกลมทรงกระบอกหรือเรียกว่าช่องอากาศเย็นสำหรับเป็นทางออกของอากาศเย็นมีรายละเอียดดังนี้



ภาพ 21 ความแตกต่างอุณหภูมิอากาศเย็นและประสิทธิภาพไอเซนโทรปิกของท่อวอร์เท็กซ์มีหัวฉีดเท่ากับ 6

1.1 หัวฉีด (Nozzle)

จากการวิจัยที่ศึกษามาก่อนหน้า จำนวนหัวฉีดที่นิยมนำมาศึกษา มีตั้งแต่ 1 ถึง 6 ดังนั้นผู้วิจัยจึงศึกษาต้นแบบนี้โดยการแสวงหาที่มีจำนวนหัวฉีดเท่ากับ 6 เพื่อนำมาศึกษา ประสิทธิภาพการทำงานของท่อออร์เต็กซ์ นอกจากนี้ยังได้รวมรวมผลการศึกษาของท่อออร์เต็กซ์ที่มีจำนวนหัวฉีดเท่ากับ 6 และในภาพ 21 จากภาพทั้ง 3 งานวิจัยจะเห็นว่าจำนวนหัวฉีดที่เท่ากัน ไม่สามารถทำให้ประสิทธิภาพของท่อออร์เต็กซ์เท่ากันได้ แต่ยังคงอยู่กับปัจจัยอื่นด้วย เช่น ความดัน อากาศที่ป้อนเข้าไปในห้อง ซึ่งสามารถวิเคราะห์ประสิทธิภาพของท่อออร์เต็กซ์ของภาพได้จากความแตกต่างอุณหภูมิอากาศเย็นและประสิทธิภาพไออกซิเจนໂโทรປิก



ภาพ 22 (ซ้าย) ความแตกต่างอุณหภูมิอากาศเย็น (ขวา) ประสิทธิภาพไออกซิเจนໂโทรປิก
ต่อสัดส่วนของห้องอากาศเย็น

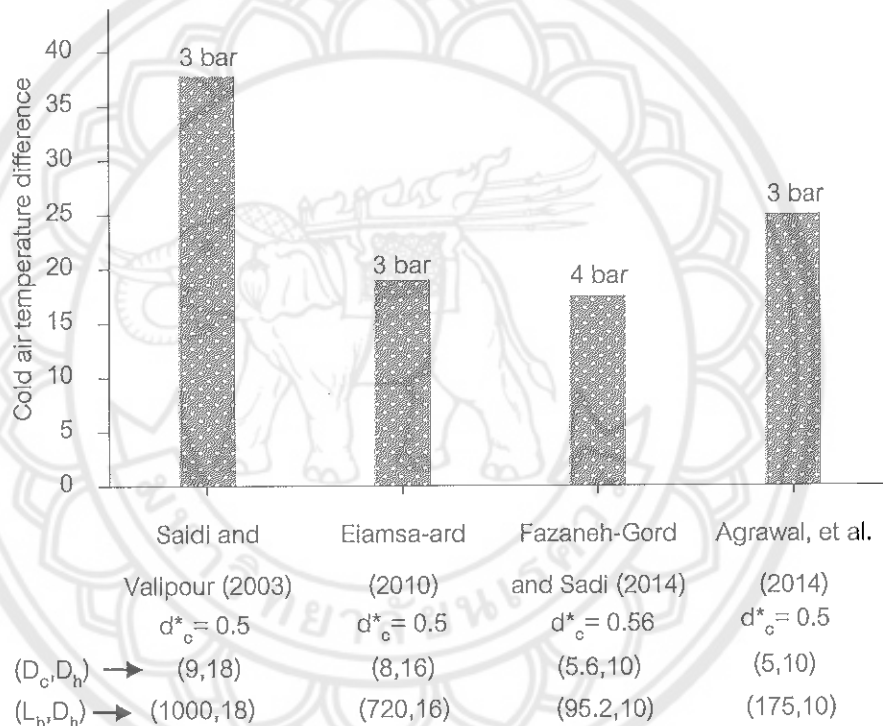
ที่มา: Saidi, & Valipour, 2003

1.2 สัดส่วนของอากาศเย็น (Cold orifice)

ช่องอากาศเย็น มีลักษณะเป็นร่องกลม ถูกติดตั้งที่ปลายท่อทางออกด้านเย็น ทำ หน้าที่เป็นช่องสำหรับปล่อยกระแสอากาศเย็นให้ออกนอกท่อออร์เต็กซ์ จากการวิจัยของ Saidi, & Valipour 2003 ได้ศึกษาขนาดของช่องอากาศเย็นต่อประสิทธิภาพการทำความเย็นของท่อ ออร์เต็กซ์ จากการศึกษาขนาดของช่องอากาศเย็นจะมีความสัมพันธ์กับขนาดของห้องร้อน โดย พิจารณาตามสัดส่วนของช่องอากาศเย็นต่อเส้นผ่านศูนย์กลางภายในห้องร้อน ตามความสัมพันธ์

$$d_c^* = \frac{D_c}{D_h} \quad (3.1)$$

เมื่อ d_c^* คือสัดส่วนของอากาศเย็น
 D_c คือเส้นผ่านศูนย์กลางของอากาศเย็น(mm)
 D_h คือเส้นผ่านศูนย์กลางห้องร้อน(mm)



ภาพ 23 ความแตกต่างคุณภาพอากาศเย็นของห้องร้อนทึ่กซึ่งมีขนาดของอากาศเย็น
ใกล้เคียงกันเท่ากับ 0.5 ถึง 0.56

จากการศึกษาสัดส่วนของช่องอากาศเย็นตั้งแต่ 0.17 ถึง 0.6 พบว่าห้องร้อนทึ่กซึ่งมีประสิทธิภาพการทำความเย็นสูงสุดที่สัดส่วนของอากาศเย็น 0.5 ซึ่งได้ผลการศึกษามาอ้างอิงในภาพ 22 ต่อมามีนักวิจัยอีกหลายท่านที่สนใจศึกษาการออกแบบตัวแปรที่เกี่ยวข้องกับห้องร้อนทึ่กซึ่งได้รับรายงานวิจัยที่เกี่ยวข้องตามภาพ 23 ซึ่งกล่าวถึงขนาดของช่องอากาศเย็น โดยศึกษาสัดส่วนของช่องอากาศเย็นที่มีความเหมาะสมได้เงื่อนไขในการศึกษาใกล้เคียงกัน พบว่าห้องร้อนทึ่กซึ่งนิยมน้ำมานำมาศึกษามีสัดส่วนของช่องอากาศเย็นที่เหมาะสมที่สุดมีค่าประมาณ 0.5-0.6

เนื่องจากท่อวอร์เท็กซ์มีค่าความแตกต่างอุณหภูมิอากาศเย็นสูงสุด ดังนั้นในงานวิจัยนี้ “ผู้วิจัย”ได้ออกแบบสัดส่วนของอากาศเย็นเท่ากับ 0.5 เพื่อสอดคล้องกับงานวิจัยที่เกี่ยวข้อง และจากภาพ 23 พบว่าขนาดสัดส่วนของอากาศเย็นเท่ากับ 0.5 สามารถลดอุณหภูมิที่ปลายท่อเย็นได้สูงสุดถึง 37.8°C (Saidi, & Vallipour, 2003) ซึ่งสูงกว่างานวิจัยที่มีสัดส่วนของอากาศเย็นที่เท่ากันและใกล้เคียงกัน

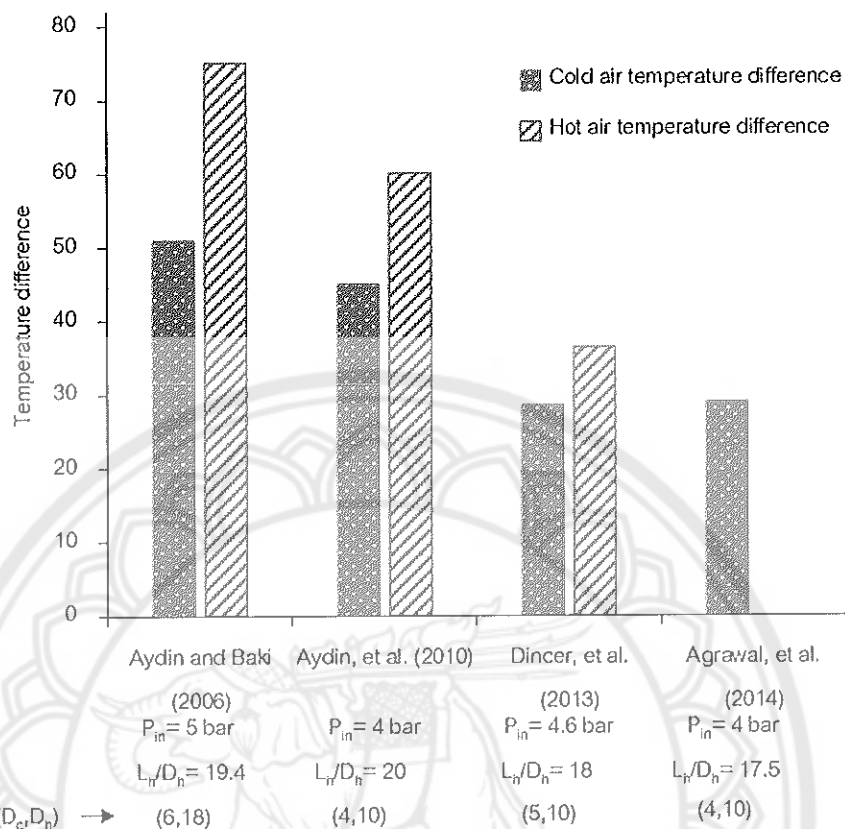
2. สัดส่วนขนาดของท่อร้อน

ในส่วนของท่อร้อนนั้น เป็นบริเวณที่มีการเกิดการแยกชั้นระหว่างอุณหภูมิของอากาศร้อนและอุณหภูมิของอากาศเย็นออกจากกัน ซึ่งถือได้ว่าท่อร้อนเป็นส่วนประกอบสำคัญของท่อวอร์เท็กซ์ มีลักษณะเป็นท่อทรงกระบอก พื้นผิวภายในเรียบ ไม่ขุ่นระ ในส่วนของการออกแบบขนาดของท่อร้อนต้องคำนึงถึงความยาวและเส้นผ่านศูนย์กลางของท่อที่เหมาะสม มีนักวิจัยหลายท่านศึกษาผลของความยาวท่อต่อประสิทธิภาพการทำงานของท่อวอร์เท็กซ์ พบว่าประสิทธิภาพของท่อวอร์เท็กซ์ในส่วนของท่อร้อนนั้นไม่ได้ขึ้นอยู่กับความยาวเพียงอย่างเดียวแต่ต้องมีความสัมพันธ์กับเส้นผ่านศูนย์กลางของท่อร้อนด้วย จะเรียกว่าสัดส่วนขนาดท่อร้อน เที่ยนความสัมพันธ์ได้ว่า

$$\text{สัดส่วนขนาดท่อร้อน} = \frac{L_h}{D_h} \quad (3.2)$$

เมื่อ L_h คือความยาวของท่อร้อน (mm)
 D_h คือเส้นผ่านศูนย์กลางท่อร้อน (mm)

จากการวิจัยของ Aydin, & Baki (2006) ได้ศึกษาการออกแบบขนาดของท่อวอร์เท็กซ์ รวมถึงศึกษาขนาดความยาวของท่อร้อน พบว่าขนาดความยาวของท่อร้อนที่เหมาะสมสำหรับการออกแบบมีค่าสัดส่วนขนาดท่อร้อนเท่ากับ 20 นอกจากนี้ผู้วิจัยยังได้รวบรวมงานวิจัยที่กล่าวถึงสัดส่วนขนาดท่อร้อน ตามภาพ 24 จะเห็นได้ว่าสัดส่วนขนาดท่อร้อนที่ถูกนำมาศึกษามีค่าประมาณ 20 โดยผลจากการวิจัยแสดงให้เห็นว่าประสิทธิภาพการทำงานดีที่สุด ในงานวิจัยนี้จึงเลือกพิจารณาสัดส่วนขนาดของท่อร้อนของท่อวอร์เท็กซ์เท่ากับ 20 ในงานวิจัยนี้ต้องการพื้นผิวภายในของท่อร้อนที่มีความเรียบ ไม่ขุ่นระ จึงใช้ท่อที่มีกระบวนการผลิตตามมาตรฐานและมีวัสดุจำหน่าย ซึ่งมีขนาดเส้นผ่านศูนย์กลางของท่อเท่ากับ 10 mm ดังนั้นเพื่อให้ได้สัดส่วนขนาดท่อร้อนเท่ากับ 20 ความยาวของท่อร้อนจะเท่ากับ 200 mm



ภาพ 24 ความแตกต่างอุณหภูมิอากาศเย็นและอากาศร้อนของท่อวอร์เท็กซ์ที่มีสัดส่วนขนาดห้องร้อนเท่ากับ 17.5 ถึง 20

3. ชนิดวัสดุของท่อวอร์เท็กซ์

จากการวิจัยที่ศึกษามา ก่อนหน้า พน่าว่าวัสดุที่นำมาสร้างท่อวอร์เท็กซ์มาจากวัสดุหลายชนิด เช่น สแตนเลส อะลูมิเนียม ทองเหลือง ทองแดง PVC พลาสติก พิลิทิ อะมูตะคุ และ “เพรสเซ่น ศักดิ์ชัชวาลย์” (2545) ได้ศึกษาสมรรถนะของท่อวอร์เท็กซ์ที่ทำจากทองแดง ท่อวอร์เท็กซ์ มีอัตราการทำความเย็นและความร้อน 0.3681 W และ 58.942 W ตามลำดับ จากงานวิจัยของ Gao et al. (2005) ศึกษาท่อวอร์เท็กซ์ที่ทำจากทองเหลืองหั้งชุดยกเว้นตันกำเนิดกระแสหมุนวนที่ ทำจากพลาสติกมีชื่อว่า Phenol fabric เพื่อเป็นการลดการนำความร้อน ต่อมما Dincer et al. (2013) ได้ศึกษาท่อวอร์เท็กซ์ที่ทำจากทองเหลืองหั้งชุดจากการเปลี่ยนแปลงความยาวท่อที่ความดัน 4.6 bar พบว่ามีประสิทธิภาพการทำความร้อนสูงสุด ที่ 39.5°C ที่ $17D_h$ และมีประสิทธิภาพการทำความเย็นสูงสุด -28.6°C ที่ $18D_h$ นอกจากนี้งานวิจัยของ Mohammadi, & Farhadi (2013) ได้ศึกษาท่อวอร์เท็กซ์ที่ทำงานทองเหลืองเชิงกัน จากงานวิจัยของ Kaya et al. (2018) ได้ศึกษาประสิทธิภาพของท่อวอร์เท็กซ์ ในส่วนของชนิดวัสดุของตันกำเนิดกระแสหมุนวนที่ทำจากวัสดุ 3

ชนิด “ได้แก่ พลาสติก อะลูมิเนียม และทองเหลือง พบว่าชนิดของวัสดุมีผลต่อประสิทธิภาพของท่อ วอร์เทกซ์ ซึ่งอะลูมิเนียมสามารถให้ความแตกต่างคุณภาพมีสูงที่สุด จะเห็นได้ว่าแต่ละงานวิจัยมีการเลือกใช้ชนิดวัสดุที่แตกต่างกัน และมีความนิยมเลือกใช้ทองเหลืองในการทำท่อวอร์เทกซ์เป็นส่วนใหญ่ ไม่เพียงแต่ที่กล่าวมาข้างต้นเท่านั้น วัสดุอีกหนึ่งชนิดที่นิยมนิยมนำมาใช้งานด้านการค้าอย่างแพร่หลายคือวัสดุที่ทำจากสแตนเลส เนื่องจากเป็นวัสดุประเภทโลหะที่มีความแข็งแรง ทนทาน และไม่เกิดสนิมด้วย เมื่อพิจารณาชนิดของวัสดุสำหรับการสร้างท่อวอร์เทกซ์แล้ว มีหลากหลายงานวิจัยที่ใช้หลักการชนิดนี้ด้วยที่รับการศึกษา ทั้งในเรื่องของขนาดและลักษณะส่วนประกอบที่แตกต่างกัน ซึ่งยากต่อการนำมาเปรียบเทียบประสิทธิภาพของท่อ ดังนั้นผู้วิจัยจึงได้ออกแบบและสร้างท่อวอร์เทกซ์ที่ทำจากวัสดุต่างกัน ภายใต้เงื่อนไขขนาดและลักษณะของท่อแบบเดียวกัน โดยเปรียบเทียบระหว่างท่อวอร์เทกซ์ที่ทำจากสแตนเลส เนื่องจากเป็นวัสดุที่นำมาใช้งานอย่างแพร่หลายในอุตสาหกรรมสำหรับการทำความเย็นในที่มีคุณภาพมีสูง กับท่อวอร์เทกซ์ที่ทำจากทองเหลือง ซึ่งก็เป็นโลหะชนิดหนึ่งที่ถูกนำมาใช้หลักงานวิจัย เนื่องจากเป็นวัสดุที่มีความแข็งแรง ทนทาน อีกทั้งยังเป็นวัสดุที่มีค่าการนำความร้อนของวัสดุที่นิยมนิยมนำมาใช้กันท่อวอร์เทกซ์ นอกจากนี้ ค่าการนำความร้อนของวัสดุที่มีการให้ความร้อนผ่านได้ หากมีค่ามากแสดงว่ามีค่าการนำความร้อนที่ดี และหากมีค่าการนำความร้อนที่ต่ำแสดงว่าความสามารถในการถ่ายเทความร้อนผ่านวัสดุจะมีค่าต่ำกวัสดุแต่ละชนิดมีค่าการนำความร้อนที่แตกต่างกัน โดยจะมีค่าการนำความร้อนที่สูงกว่าวัสดุที่ทำจากพลาสติก

ตาราง 3 ค่าการนำความร้อนของวัสดุ

วัสดุ	ค่าการนำความร้อน (W/(m K))
ทองเหลือง (Brass)	150
สแตนเลส (Stainless steel)	15
พลาสติก (Polyvinyl chloride)	9

ที่มา: Holman, 2002

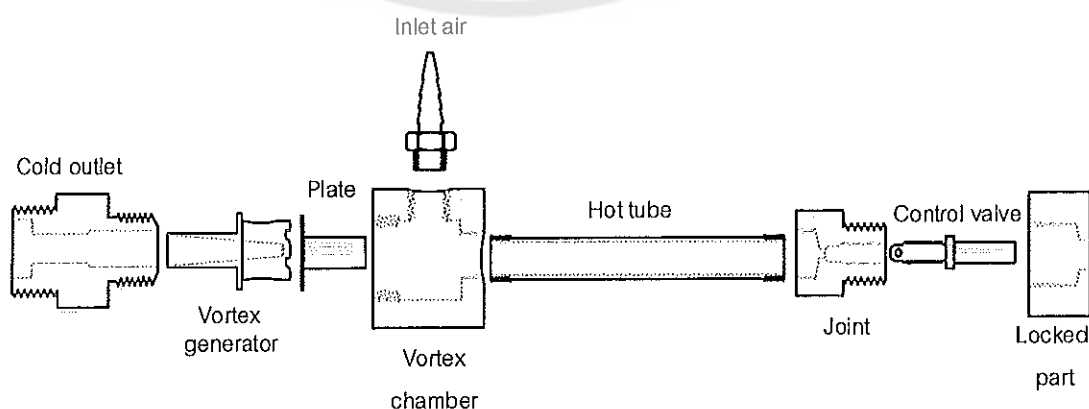
ในส่วนของการออกแบบชิ้นส่วนประกอบของท่ออวอร์เท็กซ์ที่กล่าวมาข้างต้น สามารถสรุปผลการศึกษาจากการวิจัยที่เกี่ยวข้องเพื่อเป็นแนวทางในการอ้างอิงเกี่ยวกับการออกแบบ และยังได้สรุปส่วนที่สำคัญที่ใช้ในการศึกษาประสิทธิภาพของท่ออวอร์เท็กซ์ตามตาราง 4

ตาราง 4 ข้อมูลและขนาดตัวแปรที่ศึกษาในงานวิจัยนี้

รายละเอียด	ขนาด
วัสดุที่ทำท่ออวอร์เท็กซ์	สแตนเลสและทองเหลือง
ความยาวท่อร้อน (L_h)	200 mm
เส้นผ่านศูนย์กลางห้องท่อร้อน (D_h)	10 mm
จำนวนหัวฉีดที่ติดตั้ง (N)	6
สัดส่วนของอากาศเข็น (D_c/D_h)	0.5

โครงสร้างและส่วนประกอบของท่ออวอร์เท็กซ์

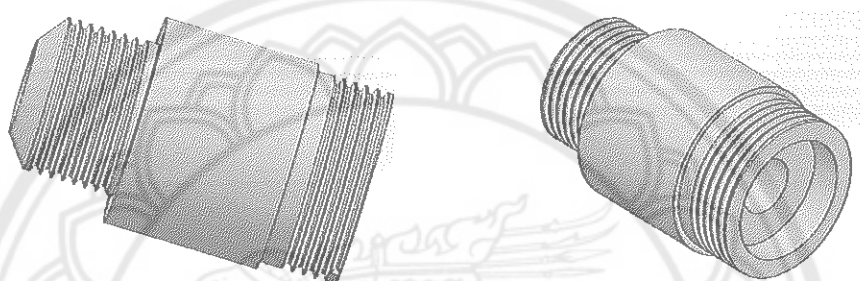
ในส่วนของการสร้างท่ออวอร์เท็กซ์ ผู้วิจัยได้คำนึงถึงความสะดวก ไม่ซับซ้อน และพนบง่าย ในห้องทดลองที่อุณหภูมิห้อง 9 ส่วน ซึ่งส่วนประกอบแต่ละส่วนสามารถถอดแยกประกอบกันได้ โดยจะแสดงโครงสร้างและลักษณะชิ้นส่วนประกอบแต่ละส่วนดังภาพ 25 โดยที่ชิ้นส่วนประกอบทั้งหมดมีลักษณะเป็นรูปทรงกระบอกวงในแนวอน และจัดวางในตำแหน่งที่สามารถประกอบกันได้ โดยจะแสดงข้อมูล ลักษณะ รูปร่าง และภาพ 3 มิติ ของชิ้นส่วนท่ออวอร์เท็กซ์ทั้ง 9 ส่วนในรายละเอียดด้านล่าง



ภาพ 25 โครงสร้างและส่วนประกอบของท่ออวอร์เท็กซ์

1. ปลายท่อเย็น (Cold outlet)

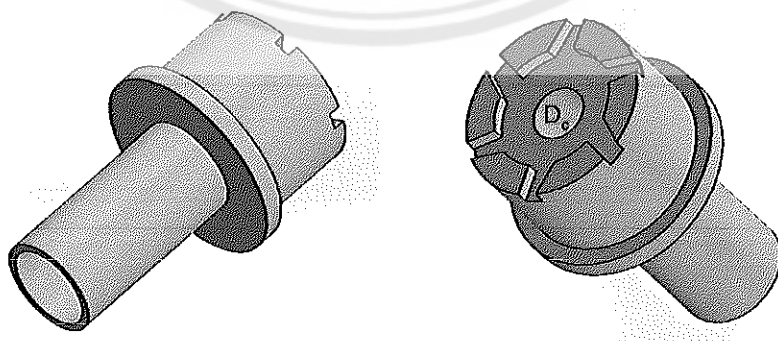
ปลายท่อเย็นจะมีปลายอยู่ 2 ด้าน ด้านหนึ่งจะเป็นเกลียวนอกใช้สำหรับยึดติดกับส่วนของห้องสร้างกระแสหมุนวน และปลายอีกด้านหนึ่งเป็นเกลียวอกที่ใช้สำหรับเชื่อมต่อให้อากาศออกไปใช้งาน แนวแกนกลางของปลายท่อเย็นจะมีช่องสำหรับให้อากาศไหลผ่านได้ ดังนั้นปลายท่อเย็นจะทำหน้าที่เป็นหัวตัวยึดและปล่อยให้กระแสอากาศเย็นหลอดอกนอกห้องอาร์ทิกซ์ และนำไปใช้งานต่อไป แสดงลักษณะปลายท่อเย็นดังภาพ 26



ภาพ 26 ปลายท่อเย็น

2. ตันกำเนิดกระแสหมุนวน (Vortex generator)

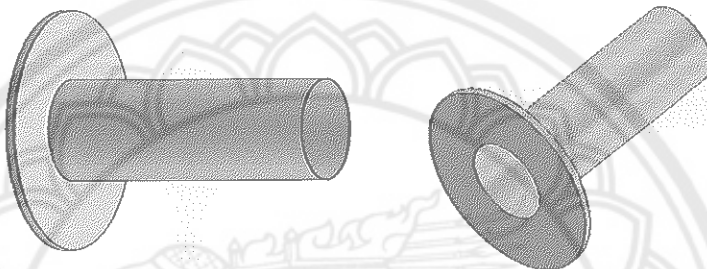
ตันกำเนิดกระแสหมุนวนถูกติดตั้งไว้ภายในห้องสร้างกระแสหมุนวน ซึ่งมีหัวฉีดอยู่ที่ปลายด้านหนึ่ง 6 หัวฉีด แกนกลางมีช่องสำหรับปล่อยอากาศเย็นหรือที่เราเรียกว่าช่องอากาศเย็น โดยมีลักษณะเป็นช่องทรงกรวย ด้านหนึ่งเล็กและอีกด้านหนึ่งใหญ่ ลักษณะตันกำเนิดกระแสหมุนวนที่ศึกษาแสดงดังภาพ 27



ภาพ 27 ตันกำเนิดกระแสหมุนวน

3. ajanrong (Plate)

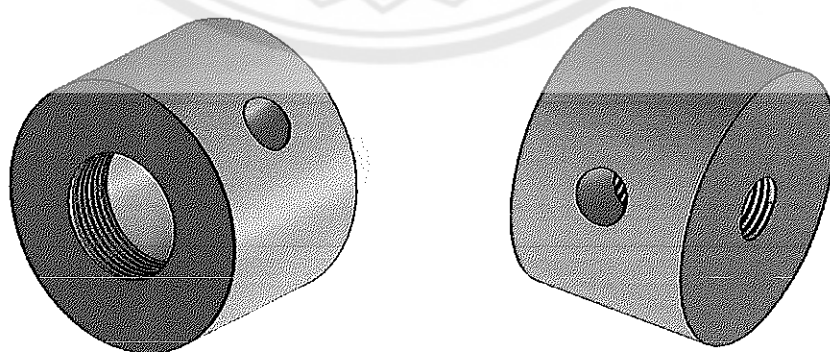
ajanrong เป็นส่วนหนึ่งของท่อวอร์เต็กซ์ ถูกวางในแนวอนภาคในห้องสร้างกระแสหมุนวน ทำหน้าที่เป็นจุดเชื่อมต่อระหว่างห้องสร้างกระแสหมุนวนและท่อร้อน เพื่อให้รอยต่อมีพื้นผิวที่ราบรื่น เนื่องจากระหว่างช่วงของเกลียวในของห้องสร้างกระแสหมุนวนและเกลียวบนอกของท่อร้อนประสานกัน จะมีรอยต่อที่ไม่เรียบ ดังนั้นจึงต้องใช้ajanrong มารองรับ และคงลักษณะของajanrong ดังภาพ 28



ภาพ 28 ajanrong

4. ห้องสร้างกระแสหมุนวน (Vortex chamber)

ห้องสร้างกระแสหมุนวนมีลักษณะเป็นแท่งทรงกระบอกกลวง ด้านปลายทั้งสองมีลักษณะเป็นเกลียวในสำหรับต่อเข้ากับชิ้นส่วนอื่น ด้านที่มีช่องใหญ่สำหรับต่อกับส่วนปลายท่อเย็น และด้านซึ่งเล็กสำหรับต่อกับท่อร้อน และผิวด้านข้างมีช่องเกลียวในสำหรับต่อเข้ากับทางเข้าของอากาศ ภายในช่องกลวงมีพื้นผิวเรียบ แสดงลักษณะห้องสร้างกระแสหมุนวนดังภาพ 29



ภาพ 29 ห้องสร้างกระแสหมุนวน

5. ทางเข้าของอากาศ (Inlet air)

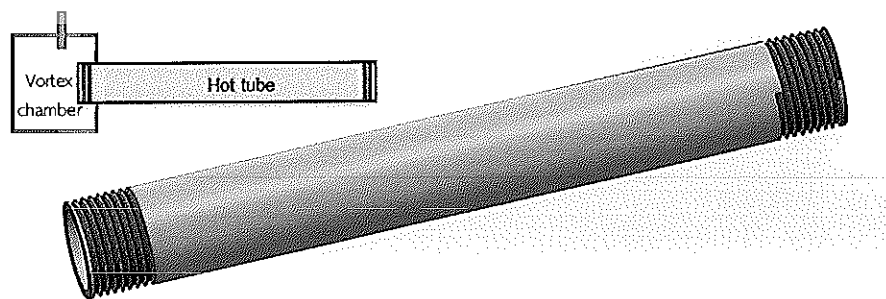
ทางเข้าของอากาศ มีลักษณะคล้ายกับข้อต่อทางปลา ปลายด้านหนึ่งมีไว้สำหรับเชื่อมต่อกับสายยาง และปลายอีกด้านหนึ่งเป็นเกลียวอนุเคราะห์สำหรับต่อเข้ากับเกลียวในของห้องสร้างกระแสหมนวน โดยจะแสดงลักษณะทางเข้าของอากาศตามภาพ 30



ภาพ 30 ทางเข้าของอากาศ

6. ท่อร้อน (Hot tube)

ท่อร้อนมีลักษณะเป็นท่อทรงกระบอกพื้นผิวภายในลาง เรียบ ไม่ขรุขระ ปลายท่อทั้งสองด้านถูกทำให้เป็นเกลียวอนุเคราะห์สำหรับต่อห้องสร้างกระแสหมนวนและอีกด้านหนึ่งต่อเข้ากับข้อต่อปรับขนาด แสดงลักษณะท่อร้อนตามภาพ 31 ในส่วนของท่อร้อนได้ใช้ท่อสำเร็จวูปที่มีขายตามท้องตลาด นำมาตัดและกลึงเกลียวตามขนาดที่ต้องการ เนื่องจากจะได้พื้นผิวภายในที่เรียบกว่าท่อที่ใช้วิธีการเจาะรู

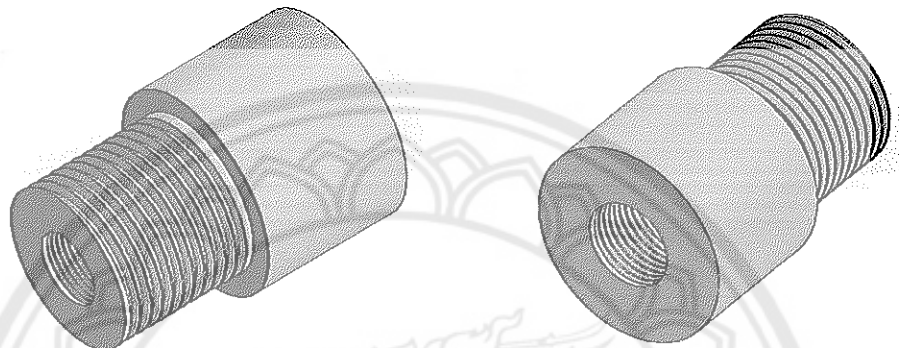


ภาพ 31 ท่อร้อน

7. ข้อต่อปรับขนาด (Joint)

ข้อต่อปรับขนาดเป็นตัวกลาง สำหรับเชื่อมต่อระหว่างท่อร้อนและวาล์วควบคุม ชิ้นส่วนนี้เป็นตัวช่วยทำให้ท่อร้อนและวาล์วควบคุมประกอบกันได้สมบูรณ์ แสดงลักษณะดังภาพ

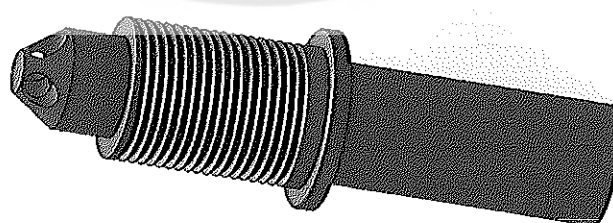
32



ภาพ 32 ข้อต่อปรับขนาด

8. วาล์วควบคุม (Control valve)

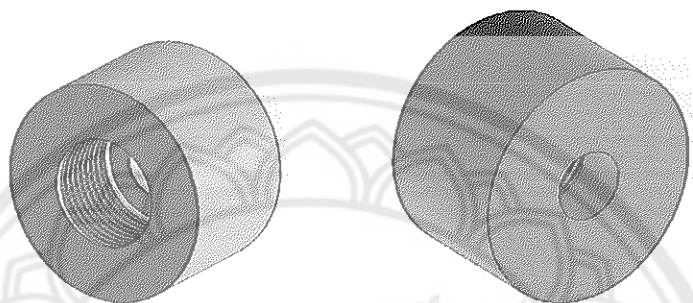
วาล์วควบคุมเป็นชิ้นส่วนสำหรับควบคุมปริมาณการไหลของอากาศที่ปล่อยออกจากการห่อовор์เทกซ์ ปลายด้านซ้ายเป็นเกลียวสำหรับต่อเข้ากับข้อต่อปรับขนาด ซึ่งมีพื้นที่หน้าตัดเป็นวงกลม เป็นส่วนที่ทำให้กระแสงอากาศที่แกนกลางท่อไนลอนกลับไปยังหัวฉีด และบริเวณที่ตัดจากพื้นที่หน้าตัด มีช่องวงกลมซึ่งเป็นช่องของอากาศร้อนที่หลอกอีกไปยังปลายด้านขวาได้ แสดงลักษณะวาล์วควบคุมในภาพ 33



ภาพ 33 วาล์วควบคุม

9. ตัวล็อก (Locked part)

ตัวล็อกเป็นชิ้นส่วนสุดท้ายสำหรับป้องกันไม่ให้วาล์วควบคุมหลุดขณะทำการทดลอง เนื่องจากขณะทำการทดสอบมีปริมาณอากาศที่หลุดออกจากท่อร้อนค่อนข้างสูง ส่วนของตัวล็อก จะช่วยเพิ่มความแน่นหนาสำหรับปีดชิ้นส่วนประกอบให้ดียิ่งขึ้น เพื่อหลีกเลี่ยงความไม่ปลอดภัยที่อาจเกิดขึ้นได้ แสดงลักษณะของตัวล็อกในภาพ 34



ภาพ 34 ตัวล็อก

10. หัวอ๊ร์เทิกซ์ที่สร้างจริง

หลังจากได้ออกแบบและแสดงลักษณะของชิ้นส่วนทั้งหมดของหัวอ๊ร์เทิกซ์ไปแล้วนั้น ได้นำวัสดุทั้งสองชนิดที่ทำการศึกษามาทำการตัด กลึง และเจาะตามรูปแบบที่กล่าวมาข้างต้น ชิ้นส่วนทั้ง 9 ส่วนถูกนำมาประกอบกันจนเป็นหัวอ๊ร์เทิกซ์ และได้แสดงหัวอ๊ร์เทิกซ์จริงที่ถูกนำมาทดสอบ ดังภาพ 35 ซึ่งจะแสดงให้เห็นถึงลักษณะรูป่างจริงของหัวอ๊ร์เทิกซ์ที่ทำจากทองเหลือง และสแตนเลส



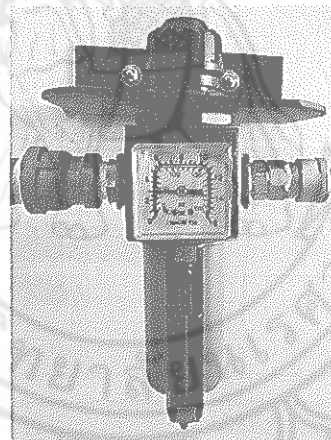
ภาพ 35 หัวอ๊ร์เทิกซ์จริงที่ใช้ทดสอบ

อุปกรณ์ที่ใช้ในการทดสอบ

ในการทดสอบการทำงานของท่อวอร์เทกซ์ อุปกรณ์ที่ใช้สำหรับทดสอบจะเกี่ยวข้องกับเครื่องมือวัดอัตราการไหลของอากาศ อุปกรณ์ควบคุมความดันและเครื่องมือวัดอุณหภูมิ โดยจะแสดงรายละเอียดของแต่ละอุปกรณ์ที่ใช้ดังต่อไปนี้

1. ชุดปรับความดันและกรองอากาศ (Pressure regulating filter)

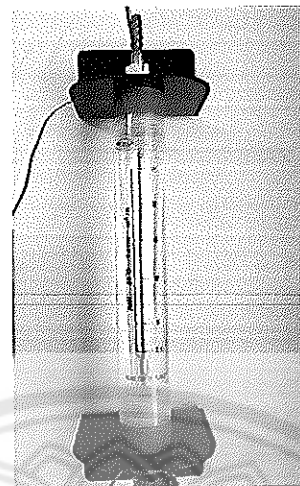
ชุดปรับความดันและกรองอากาศเป็นอุปกรณ์สำหรับกรองอากาศ ปรับปัจจุบันภาพของอากาศให้มีคุณภาพดีขึ้น สามารถกรองฝุ่นและกรองไอกำมะถ躉ที่มาจากการบีบลม ในชุดเครื่องมือมีการติดตั้งเกจวัดความดันใช้สำหรับวัดความดันอากาศและควบคุมการไหลของอากาศเพื่อปรับให้แรงดันอากาศก่อนที่จะเข้าไปในท่อวอร์เทกซ์ ให้มีค่าคงที่ตามที่ต้องการ แสดงลักษณะเครื่องมือที่ใช้ในงานวิจัยนี้ตามภาพ 36 ซึ่งเป็นเครื่องมือจากบริษัท ANI รุ่น E24-P ผลิตจากประเทศอิตาลี ทำงานได้ตั้งแต่ความดัน 0 ถึง 14 bar และสามารถทำงานได้ที่อุณหภูมิตั้งแต่ -25 ถึง 65 °C



ภาพ 36 ชุดปรับอากาศและกรองอากาศ

2. โรตามิเตอร์ (Rotameter)

โรตามิเตอร์เป็นเครื่องมือวัดการไหลของของไหล ซึ่งสามารถวัดได้ทั้งของเหลวและแก๊ส มีลักษณะเป็นท่อแก้วใสรูปทรงกรวย วางตัวในแนวตั้ง ภายในจะมีลูกกลอย สามารถเคลื่อนที่ขึ้นและลงได้อย่างอิสระตามอัตราการไหลของอากาศที่ไหลผ่าน แสดงลักษณะของโรตามิเตอร์ดังภาพ 37 ซึ่งเป็นโรตามิเตอร์จาก WELL flow instrument รุ่น LZG 15 วัดอัตราการไหลได้ตั้งแต่ 2.5 ถึง $25 \text{ m}^3/\text{h}$ สามารถทำงานได้ที่อุณหภูมิสูงสุดถึง 65 °C และมีค่าความคลาดเคลื่อน $\pm 4\%$



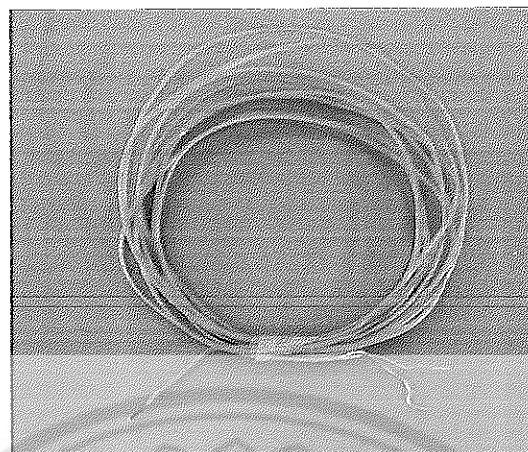
ภาพ 37 โรตามิเตอร์

3. เครื่องบันทึกข้อมูลอุณหภูมิ (Data logger)

เครื่องบันทึกข้อมูลคืออุปกรณ์อิเล็กทรอนิกส์ใช้สำหรับบันทึกอุณหภูมิ สามารถบันทึกอุณหภูมิได้สูงสุดถึง 20 ตำแหน่ง โดยจะต่อเข้ากับสายเทอร์โมคัพเพลซึ่งเป็นหัววัดอุณหภูมิ เมื่อวัดอุณหภูมิเสร็จ ข้อมูลจะถูกส่งไปเก็บที่เครื่องบันทึกข้อมูล โดยที่ข้อมูลจะถูกแสดงผลบนหน้าจอทันที และสามารถบันทึกข้อมูลໄกว้ใน SD card ได้ด้วยเห็นกัน แสดงเครื่องบันทึกข้อมูลตามภาพ 38 ซึ่งเป็นเครื่องมือจากบริษัท YOKOGAWA รุ่น DX220-3-2 และลักษณะของเทอร์โมคัพเพลชนิดเคแสดงตามภาพ 39



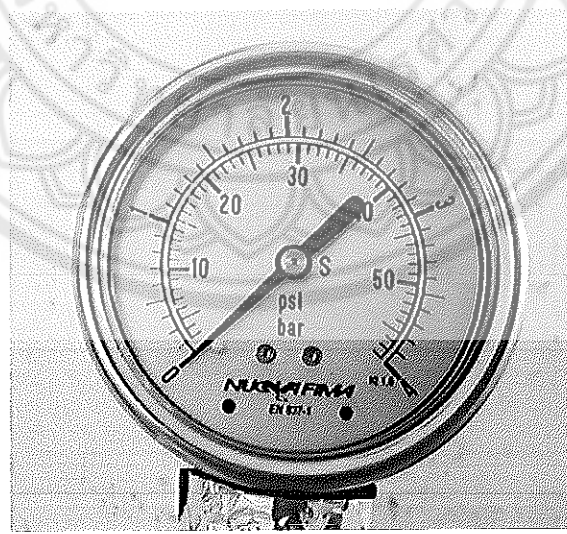
ภาพ 38 เครื่องบันทึกข้อมูล



ภาพ 39 เทอร์โมคัปเปลชันนิเตเค

4. เกจวัดความดัน (Pressure gauge)

เกจวัดความดันคืออุปกรณ์ที่ใช้สำหรับวัดความดันที่เกิดขึ้นของระบบ โดยให้ความดันบรรยากาศเป็นความดันในการอ้างอิง ค่าที่อ่านได้จากเครื่องมือจึงไม่ได้รวมกับค่าความดันบรรยากาศด้วย ซึ่งเกจวัดความดันมีค่าเป็น 0 ในสภาวะปกติหรือที่ความดันบรรยากาศ เกจวัดความดันที่นำมาใช้งานแสดงดังภาพ 40



ภาพ 40 เกจวัดความดัน

5. ปั๊มลม (Air compressor)

ปั๊มลมทำหน้าที่ในการอัดลมให้มีแรงดันสูงตามความต้องการของผู้ใช้งาน และจัดเก็บลมที่อัดได้ไว้ในถังเก็บลมเพื่อรอการใช้งาน ปั๊มลมที่ใช้ในการทดสอบจะเป็นประเภทลูกศุบ ซึ่งเป็นปั๊มลมที่ได้รับความนิยมใช้งานมากที่สุดตามการใช้งาน ปั๊มลมที่นำมาใช้งานมีมอเตอร์แบบ 3 เฟส และมีขนาด 5 แรงม้า หรือ 3.7 กิโลวัตต์ จากบริษัท TATUNG CO. รุ่น FBFC ประสิทธิภาพของมอเตอร์ที่ใช้งาน 85.7% โดยมีความเร็วรอบของมอเตอร์เท่ากับ 1420 รอบต่อนาทีแสดงเครื่องปั๊มลมที่นำมาใช้งานตามภาพ 41



ภาพ 41 ปั๊มลม

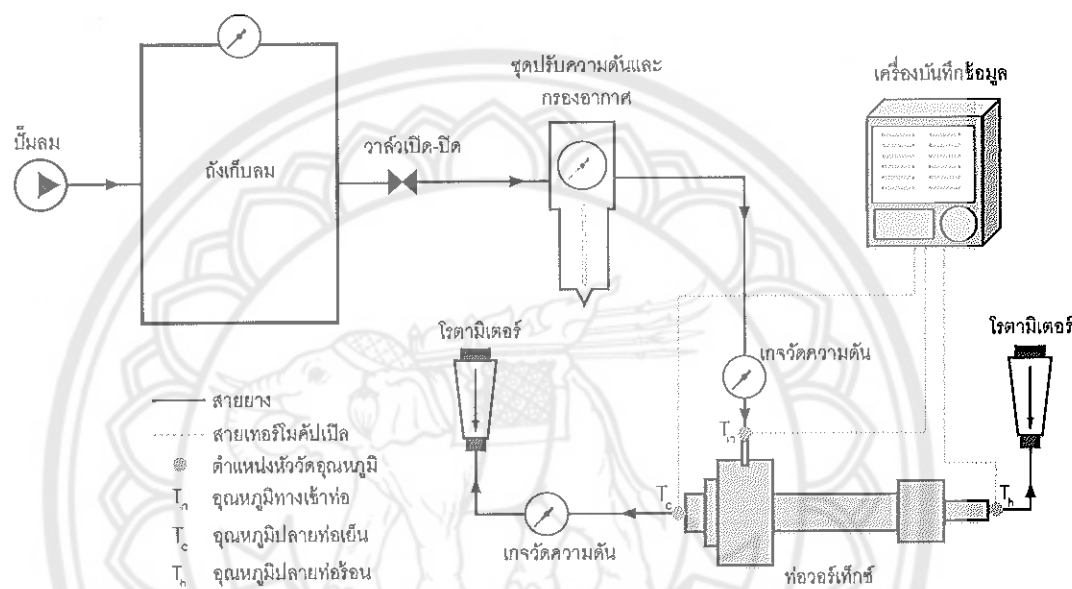
6. สายยาง (Rubber tube)

สายยางเป็นคุปกรณ์สำหรับส่งผ่านของไหลจากตัวแทนเหลวไปยังอีกด้ำแทนเหลว เพื่อช่วยในการถ่ายโอนมวลอากาศร้อนและอากาศเย็นไปยังตัวแทนเหลวที่ต้องการ สายยางที่นำมาทดสอบต้องมีคุณสมบัติกับความร้อนสูงและสามารถทนความเย็นได้ด้วย

วิธีการทดลอง

1. การติดตั้งเครื่องมือ

ในการออกแบบระบบการติดตั้งอุปกรณ์สำหรับศึกษาการพัฒนาประสิทธิภาพการทำงานของท่อวอร์เท็กซ์ ทำการทดลองโดยใช้อากาศซึ่งเป็นสารทำความเย็นจากธรรมชาติสำหรับทำงาน โดยมีแผนผังการติดตั้งเครื่องมือทดสอบตามภาพ 42



ตามภาพ 42 แสดงขั้นตอนการทำงานของระบบทดสอบท่อวอร์เท็กซ์ การทำงานเริ่มจากปั๊มลมทำหน้าที่ผลิตอากาศอัดและจัดเก็บไว้ในถังเก็บลม เมื่อต้องการทดลองจะเปิดวาล์วเพื่อให้อากาศถูกลำเลียงด้วยท่อส่งเข้าที่ชุดปรับอากาศและกรองอากาศ ซึ่งทำหน้าที่กรองอากาศและปรับความดันอากาศก่อนที่จะเข้าท่อวอร์เท็กซ์ เมื่อท่อวอร์เท็กซ์ได้รับอากาศที่มีแรงดันสูง ท่อวอร์เท็กซ์จะทำงานเกิดการแยกชั้นของอุณหภูมิอากาศร้อนและอากาศเย็นออกจากกัน อากาศร้อนจะปล่อยออกปลายท่อด้านบน และอากาศเย็นจะปล่อยออกปลายท่อด้านล่าง ปลายท่อทั้งสองด้านถูกติดตั้งเข้ากับอุณหภูมิเซ็นเซอร์ซึ่งมีหน้าที่วัดอัตราการไหลของอากาศที่ปล่อยออกมานะ อุณหภูมิของอากาศที่ป้อนเข้าไปในท่อและอุณหภูมิอากาศที่ปล่อยออกจากการท่อวอร์เท็กซ์ ถูกวัดด้วยเทอร์โมคัปเปิลซึ่งต่อเข้ากับเครื่องบันทึกข้อมูล สามารถปรับอัตราการไหลของกระแสอากาศร้อนและอากาศเย็นได้จากวัสดุควบคุมปฏิวัติปลายท่อด้านล่าง

2. ขั้นตอนการทดสอบ

2.1 ติดตั้งเครื่องมือตาม ภาพ 42

2.2 นำนวนกันความร้อนหุ่มที่ผิวท่อร้อนของท่อออร์เต็กซ์ที่ทำจากสแตนเลสเพื่อบังกัน การถ่ายเทความร้อนจากอากาศในห้องไปยังผิวท่อร้อน

2.3 ปิดวาล์วความคุมอากาศที่ปลายท่อด้านร้อนให้สนิท

2.4 เปิดปั๊มลมและควบคุมความดันอากาศเข้าท่อออร์เต็กซ์ให้มีค่าคงที่ที่ 1.5 bar โดย ใช้เกจวัดความดันจากชุดปรับความดันและการสำหรับเป็นอุปกรณ์ควบคุมให้อากาศไหลผ่าน

2.5 บันทึกผลอัตราการไหลของอากาศปลายท่อร้อนและปลายท่อเย็น

2.6 บันทึกผลความดันอากาศด้วยเกจวัดความดันที่ทางเข้าท่อและปลายท่อเย็น

2.7 บันทึกผลคุณภาพมิอากาศด้วยเครื่องบันทึกข้อมูลทุก 1 นาที เป็นเวลา 10 นาที

2.8 เมื่อครบ 10 นาที ให้หยุดการทำงานและรอจนกว่าคุณภาพมิอากาศของท่อออร์เต็กซ์เข้าสู่

ภาวะปกติ

2.9 ทำการทดลองขึ้นในข้อที่ 2.3-2.8 โดยการปรับหมุนวาล์วควบคุมเพื่อปรับอัตรา การไหลของอากาศที่ปล่อยออกปลายท่อให้ได้ค่าสัดส่วนมวลอากาศเย็นที่แตกต่างกัน

2.10 ทำการทดลองขึ้นตั้งแต่ข้อ 2.3-2.9 โดยปรับความดันอากาศเข้าท่อออร์เต็กซ์ ให้มีค่าคงที่เท่ากับ 3 bar

2.11 นำท่อออร์เต็กซ์ที่ทำจากทองเหลืองมาติดตั้งในระบบทดสอบ และดำเนิน ขั้นตอนขึ้นในข้อ 2.2-2.10

2.12 นำข้อมูลมาวิเคราะห์ผลความแตกต่างคุณภาพมิอากาศร้อนและความแตกต่าง คุณภาพมิอากาศเย็น เปรียบเทียบผลการทดลองระหว่างท่อออร์เต็กซ์ที่ทำจากสแตนเลสและ ทองเหลืองให้เป็นไปตามสมมติฐาน

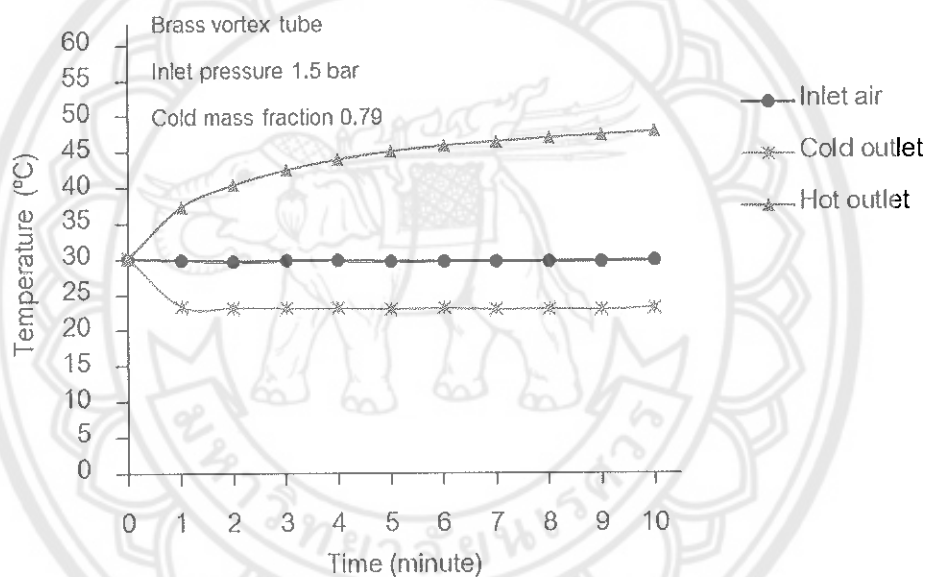
2.13 พิจารณาปัจจัยที่มีผลทำให้ผลการทดลองไม่เป็นไปตามสมมติฐาน โดยทำการ ทดลองเบื้องต้นเกี่ยวกับชนิดวัสดุของตันกำเนิดกระแสหมุนวนระหว่างพลาสติกและทองเหลือง โดยนำตันกำเนิดกระแสหมุนวนติดตั้งภายในท่อออร์เต็กซ์ และทำการทดสอบขึ้นในข้อ 2.3 - 2.9

2.14 นำตันกำเนิดกระแสหมุนวนพลาสติกติดตั้งในท่อออร์เต็กซ์และทำการทดลองขึ้น ตั้งแต่ข้อ 2.2 - 2.12 หลังจากนั้นทำการวิเคราะห์ผลประสิทธิภาพการทำความเย็นของท่อออร์เต็กซ์ เปรียบเทียบระหว่างท่อออร์เต็กซ์สแตนเลสและท่อออร์เต็กซ์ทองเหลือง

บทที่ 4

ผลการทดลองและการวิเคราะห์ผล

ในบทนี้จะนำเสนอผลการทดลองและการวิเคราะห์ผล การศึกษาประสิทธิภาพการทำความเย็นของท่ออวอร์เท็กซ์ที่ทำจากวัสดุต่างกันสองชนิด ระหว่างท่ออวอร์เท็กซ์ที่ทำจากสแตนเลส และท่ออวอร์เท็กซ์ที่ทำจากทองเหลือง พิจารณาศึกษาที่ความดันอากาศเข้าไปในท่อ 1.5 bar และ 3 bar และมีการปรับค่าสัดส่วนมวลอากาศเย็นของท่ออวอร์เท็กซ์ แสดงผลตามรายละเอียดด้านล่าง



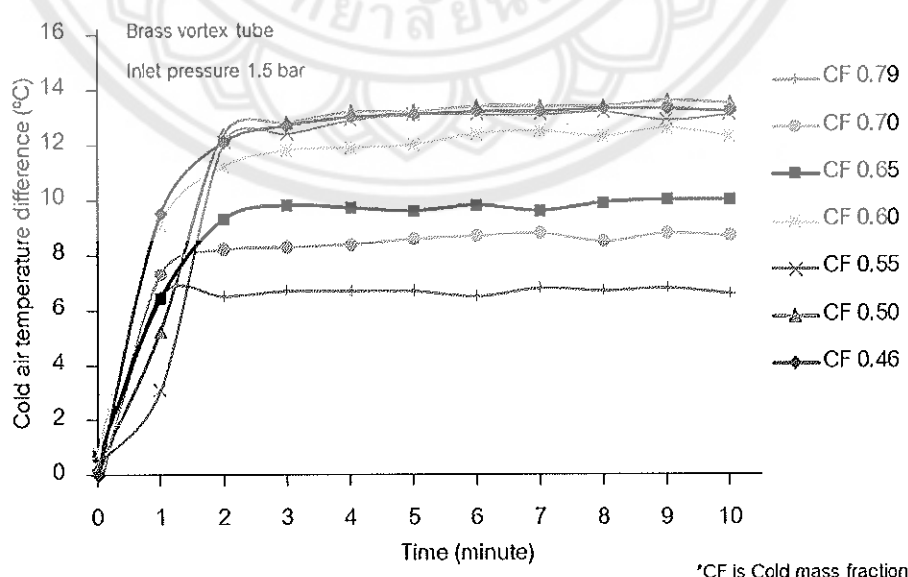
ภาพ 43 การเปลี่ยนแปลงของอุณหภูมิอากาศทางเข้าและทางออกท่ออวอร์เท็กซ์กับเวลา

คุณลักษณะทางอุณหภูมิของท่ออวอร์เท็กซ์

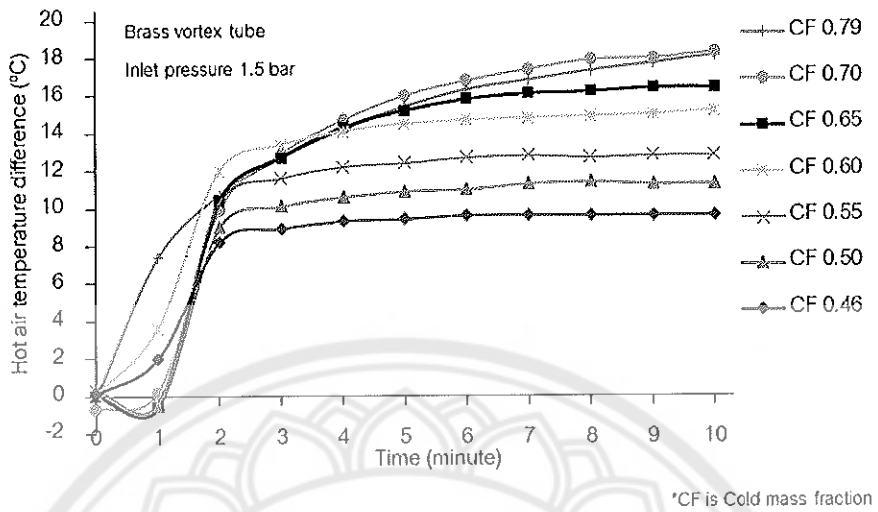
ลักษณะอุณหภูมิอากาศที่ทางเข้าและปลายท่อออกด้านร้อนและด้านเย็นของท่ออวอร์เท็กซ์ จากผลการทดลองเบื้องต้น แสดงดังภาพ 43 แสดงถึงแนวโน้มการเปลี่ยนแปลงของอุณหภูมิอากาศเทียบกับเวลา ซึ่งเป็นผลการทดลองตัวอย่างของท่ออวอร์เท็กซ์ที่มีชิ้นส่วนประกอบทำจากทองเหลือง ทดสอบที่ความดันอากาศขาเข้า 1.5 bar และสัดส่วนมวลอากาศเย็น 0.79 ซึ่งคำนวณจากอัตราการไหลของมวลอากาศเย็นต่ออัตราการไหลมวลอากาศที่เข้าไปในท่ออวอร์เท็กซ์ จากภาพ 43 ณ เวลา 10 นาที อากาศทางเข้าท่ออวอร์เท็กซ์มีอุณหภูมิเฉลี่ยคงที่ 30°C อุณหภูมิอากาศปลายท่อต้านร้อนมีแนวโน้มสูงขึ้น ในเวลาเดียวกันอุณหภูมิอากาศปลายท่อเย็นมีแนวโน้มลดลง เห็นได้

ข้อดีที่ ovar เท็กซ์สามารถลดและเพิ่มอุณหภูมิที่ปลายท่อได้อย่างรวดเร็วในช่วงเวลาเริ่มต้น และหลังจากนั้นอุณหภูมิอากาศเริ่มคงที่ ณ เวลา 10 นาที อุณหภูมิที่ปลายท่อด้านเย็นลดลงเหลือ 23.2°C ขณะที่อุณหภูมิปลายท่อด้านร้อนเพิ่มสูงขึ้นเป็น 47.9°C จากภาพแสดงให้เห็นว่าท่อ ovar เท็กซ์ที่สร้างขึ้นสามารถผลิตอากาศเย็นและอากาศร้อนได้จริง

ต่อมานำข้อมูลมาวิเคราะห์หาค่าความแตกต่างระหว่างอุณหภูมิอากาศทางเข้าและอุณหภูมิปลายท่อทางออก โดยที่ความแตกต่างระหว่างอุณหภูมิอากาศขาเข้าและอุณหภูมิปลายท่อเย็น คือความแตกต่างอุณหภูมิอากาศเย็น ขณะที่ความแตกต่างระหว่างอุณหภูมิอากาศปลายท่อร้อนและอุณหภูมิอากาศขาเข้า เรียกว่าความแตกต่างอุณหภูมิอากาศร้อน ในภาพ 44 และ 45 แสดงผลการเปลี่ยนแปลงของค่าความแตกต่างอุณหภูมิอากาศเย็นและค่าความแตกต่างอุณหภูมิอากาศร้อนเทียบกับเวลา ตามลำดับ โดยมีเงื่อนไขการทดลองของท่อ ovar เท็กซ์ทำจากทองเหลือง หั้งชุด ทดสอบที่ความดันอากาศ 1.5 bar เช่นเดียวกับภาพ 43 และมีการเปลี่ยนแปลงค่าสัดส่วนมวลอากาศเย็นในช่วงตั้งแต่ 0.46 ถึง 0.79 โดยค่าสัดส่วนมวลอากาศเย็นจะขึ้นอยู่กับความสามารถในการปล่อยปริมาณอากาศเย็นต่อปริมาณอากาศที่เข้าไปในท่อ ถ้าสัดส่วนมวลอากาศเย็นเป็น 1 แสดงว่ามีการปิดปลายท่อร้อนสนิท จึงไม่สามารถนำอากาศที่เข้าไปในท่อทั้งหมดจะปล่อยออกที่ปลายท่อเย็น ตามทฤษฎีอิบายปราภูภารណ์ภายในท่อ ovar เท็กซ์ การไหลวนชั้นที่สอง (secondary circulation) เมื่อสัดส่วนมวลอากาศเย็นเป็น 1 จะไม่ทำให้เกิดการแยกชั้นของพลังงานขึ้น อุณหภูมิอากาศปลายท่อเย็นจึงมีค่าใกล้เคียงกับอุณหภูมิอากาศทางเข้าท่อ (Gao, 2005)

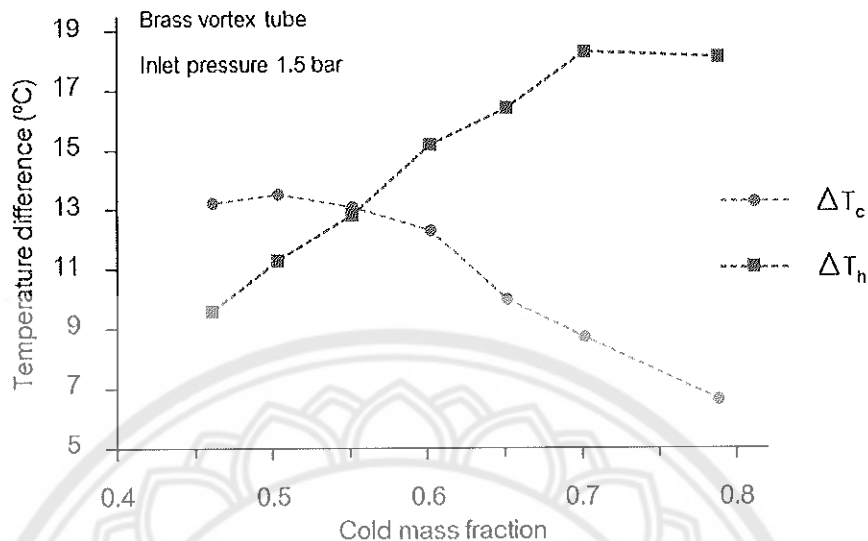


ภาพ 44 การเปลี่ยนแปลงค่าความแตกต่างอุณหภูมิอากาศเย็นเทียบกับเวลา



ภาพ 45 การเปลี่ยนแปลงค่าความแตกต่างอุณหภูมิอากาศร้อนเทียบกับเวลา

จากการ 44 แสดงถึงการเปลี่ยนแปลงค่าความแตกต่างอุณหภูมิอากาศเย็นเทียบกับเวลา พบร่วมกับค่าความแตกต่างอุณหภูมิอากาศเย็นมีแนวโน้มเพิ่มขึ้นอย่างรวดเร็วในช่วงเวลาเริ่มต้น และมีแนวโน้มที่จะคงที่ในเวลาถัดมา แสดงให้เห็นว่าเวลา มีผลต่อการแยกชั้นอุณหภูมิอากาศเฉพาะช่วงเวลาเริ่มต้น นอกจากนี้จากภาพยังมีการแบ่งคร่าวๆ ค่าสัดส่วนมวลอากาศเย็น พบร่วมค่าสัดส่วนมวลอากาศเย็นมีผลต่อค่าความแตกต่างอุณหภูมิอากาศเย็น โดยนาทีที่ 10 ค่าสัดส่วนมวลอากาศเย็น 0.50 สามารถให้ค่าความแตกต่างอุณหภูมิอากาศเย็นหรือเรียกได้ว่าท่ออวอร์เทิร์ฟ สามารถลดอุณหภูมิอากาศปลายท่อเย็นได้สูงสุด 13.5°C และจากการ 45 แสดงผลการเปลี่ยนแปลงของค่าความแตกต่างอุณหภูมิอากาศร้อนเทียบกับเวลา พบร่วมในช่วง 1 นาทีเริ่มต้น ค่าสัดส่วนมวลอากาศเย็นบางค่ามีการแก่งของข้อมูลทำให้ข้อมูลติดลบ แต่ถึงอย่างไรก็ตามค่าความแตกต่างอุณหภูมิอากาศร้อนมีค่าสูงขึ้นในเวลาต่อมา นั่นหมายความว่าท่อปลายท่ออวอร์เทิร์ฟ ด้านร้อนมีอุณหภูมิที่ปล่อยออกจากปลายท่อสูงขึ้นเมื่อเทียบกับอุณหภูมิอากาศที่ป้อนเข้าไปในท่อ และหลังจากนั้นเวลาผ่านไป 10 นาที ค่าสัดส่วนมวลอากาศเย็น 0.46, 0.50, 0.55, 0.60 และ 0.65 มีผลค่าความแตกต่างอุณหภูมิอากาศร้อนคงที่ สังเกตจากค่าความแตกต่างอุณหภูมิอากาศร้อนที่ไม่เปลี่ยนแปลงตามเวลา ขณะที่ค่าสัดส่วนมวลอากาศเย็น 0.70 และ 0.79 ให้ค่าความแตกต่างอุณหภูมิอากาศร้อนที่เพิ่มขึ้น แต่มีการเพิ่มขึ้นน้อยมากสามารถคำนวณเป็นร้อยละที่เพิ่มขึ้นเพียง 1.7% และ 2.3% ตามลำดับ จึงถือได้ว่าที่ค่าสัดส่วนมวลอากาศเย็น 0.70 ท่ออวอร์เทิร์ฟสามารถเพิ่มอุณหภูมิอากาศปลายท่อร้อนได้สูงสุดถึง 18.3°C

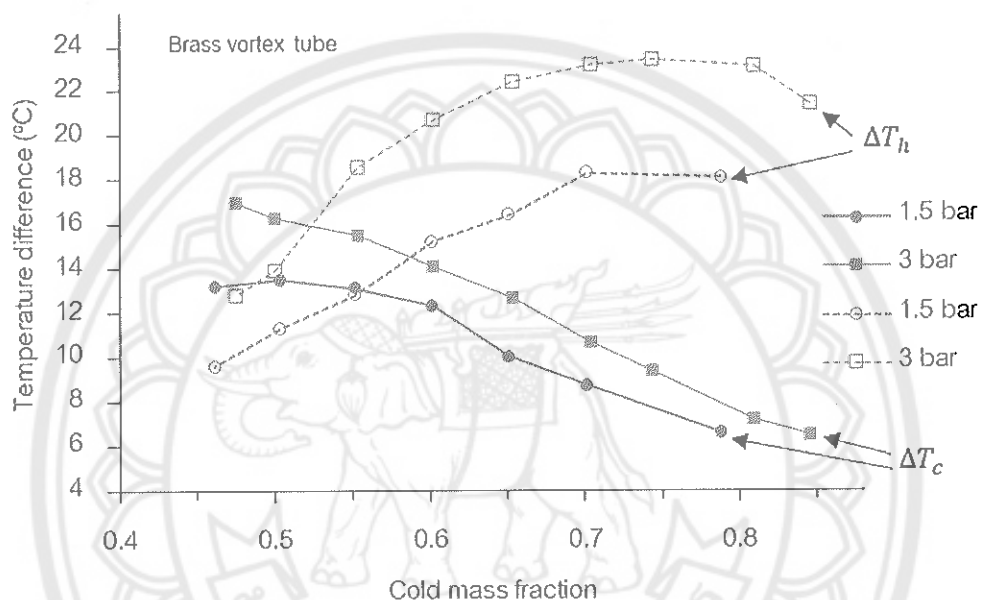


ภาพ 46 ค่าความแตกต่างอุณหภูมิอากาศตามสัดส่วนมวลอากาศเย็น

จากภาพ 44 และภาพ 45 สามารถเขียนกราฟความสัมพันธ์ระหว่างความแตกต่างอุณหภูมิอากาศร้อนและอากาศเย็นแปรผันกับค่าสัดส่วนมวลอากาศเย็นของท่อวอร์เทกซ์ได้ในภาพ 46 ซึ่งค่าสัดส่วนมวลอากาศเย็นอยู่กับปริมาณอากาศเย็นที่ปล่อยออกจากท่อต่อปริมาณอากาศทั้งหมดที่เข้าไปในท่อ จากภาพ 46 ท่อวอร์เทกซ์มีค่าสัดส่วนมวลอากาศเย็นตั้งแต่ 0.46-0.79 ซึ่งให้ค่าความแตกต่างอุณหภูมิอากาศเย็น (ΔT_c) สูงสุดที่สัดส่วนมวลอากาศเย็น 0.50 และหลังจากนั้นค่าความแตกต่างอุณหภูมิอากาศเย็นมีค่าลดลงเมื่อสัดส่วนมวลอากาศเย็นเพิ่มขึ้น ในเวลาเดียวกันค่าความแตกต่างอุณหภูมิอากาศร้อน (ΔT_h) สูงขึ้น เมื่อสัดส่วนมวลอากาศเย็นเพิ่มขึ้นจนมีค่าสูงสุดที่ 0.70 จากภาพแสดงให้เห็นว่าหากต้องการลดอุณหภูมิปลายท่อเย็นให้ต่ำที่สุด ต้องปรับค่าสัดส่วนมวลอากาศเย็นเท่ากับ 0.50 และหากต้องการเพิ่มอุณหภูมิอากาศปลายท่อร้อนให้สูงสุดจะต้องเพิ่มสัดส่วนมวลอากาศเย็นให้เท่ากับ 0.70 จากงานวิจัยของ Stephan et al. (1983) กล่าวถึงปรากฏการณ์ที่เกิดขึ้นภายในท่อวอร์เทกซ์เมื่อมีของไหลในท่อไปตามช่องว่างพื้นผิวของผนังท่อ จะมีแรงขับเคลื่อน Görtler vortex ทำให้เกิดการแยกชั้นพลังงานหรือการแยกชั้นอุณหภูมิภายในท่อวอร์เทกซ์ขึ้น เมื่อ Görtler vortex ที่เกิดขึ้นบนผนังท่อ มีค่าลดลง จะทำให้ค่าความแตกต่างอุณหภูมิอากาศร้อนลดลง เนื่องจากการสูญเสียความร้อนจากผนังท่อ ซึ่งมีผลต่อแรงขับเคลื่อนของ Görtler vortex ทำให้เกิดการแยกชั้นพลังงานลดลง และส่งผลให้ค่าความแตกต่างอุณหภูมิอากาศเย็นมีค่าสูงขึ้น

1. ผลของความดันอากาศทางเข้าท่อ

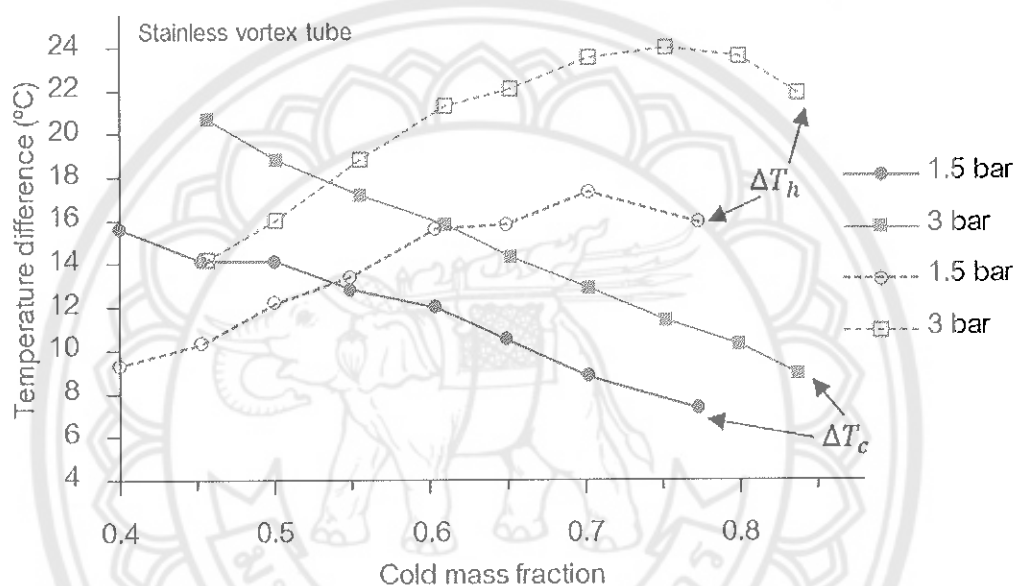
ต่อมาผู้วิจัยได้พิจารณาผลของความดันอากาศขาเข้าหรือความดันอากาศที่ป้อนเข้าไปในท่ออวอร์เท็กซ์ระหว่าง 1.5 bar และ 3 bar ทำการทดลองโดยการแบรค์ตามสัดส่วนมวลอากาศเย็น ซึ่งจะแสดงผลการแยกชั้นอุณหภูมิอากาศเย็นและอากาศร้อนของท่ออวอร์เท็กซ์ที่ทำจากทองเหลืองทั้งชุดในภาพ 47 และท่อที่ทำจากสแตนเลสทั้งชุดแสดงในภาพ 48



ภาพ 47 ความดันอากาศขาเข้าต่อการแยกชั้นอุณหภูมิอากาศของท่ออวอร์เท็กซ์ทองเหลือง

จากภาพ 47 แสดงผลความแตกต่างอุณหภูมิอากาศเย็นและอากาศร้อนของท่ออวอร์เท็กซ์ที่มีส่วนประกอบทั้งหมดทำจากทองเหลือง พบว่าที่ความดันอากาศ 3 bar มีความแตกต่างอุณหภูมิอากาศเย็นสูงสุด 17°C ขณะที่ความดันอากาศ 1.5 bar มีค่าสูงสุดเพียง 13.5°C ในทำนองเดียวกันที่ความดันอากาศ 3 bar มีความแตกต่างอุณหภูมิอากาศร้อนสูงกว่าที่ความดันอากาศ 1.5 bar จากภาพ 48 เป็นผลการทดสอบของท่ออวอร์เท็กซ์ที่ทำจากสแตนเลสทั้งชุด พบว่าที่ความดันอากาศ 3 bar มีความแตกต่างอุณหภูมิอากาศเย็นสูงสุด 20.7°C ขณะที่ความดันอากาศ 1.5 bar มีความแตกต่างอุณหภูมิอากาศเย็นสูงสุด 15.6°C เช่นเดียวกับที่ความดันอากาศ 3 bar ให้ค่าความแตกต่างอุณหภูมิอากาศร้อนสูงกว่าที่ความดันอากาศ 1.5 bar จากภาพ 47 และ 48 แสดงให้เห็นว่าความดันอากาศมีผลต่อการแยกชั้นอุณหภูมิอากาศของท่ออวอร์เท็กซ์ เมื่อเพิ่มความดันอากาศขาเข้ามากขึ้น จะทำให้เกิดการแยกชั้นของอุณหภูมิเพิ่มขึ้นด้วย สามารถพิจารณาได้จาก

ค่าความแตกต่างอุณหภูมิอากาศเย็นและค่าความแตกต่างอุณหภูมิอากาศร้อนที่เพิ่มขึ้น เนื่องจากความดันอากาศที่เพิ่มขึ้น ทำให้ความเร็วของการหมุนของของไหลผ่านหัวฉีดเพิ่มขึ้น ส่งผลให้เกิดการแยกชั้นของอุณหภูมิอากาศภายในท่อวอร์เท็กซ์เพิ่มขึ้นด้วย (Elamsa-ard, & Promvonge, 2008) นอกจากนั้นของไหลที่ใส่เข้าไปในท่อวอร์เท็กซ์ในแนวสัมผัสกับหัวฉีด จะทำให้มีความเร็วสูงขึ้น มีผลทำให้เกิดการถ่ายเทไม่แน่ตัมหรือการเคลื่อนที่ของของไหลสูงขึ้น ซึ่งเกิดขึ้นจากการบริเวณแกนกลางท่อไปยังบริเวณที่ใกล้กับผนังท่อที่มีความดันสูง (Attalla et al., 2017)



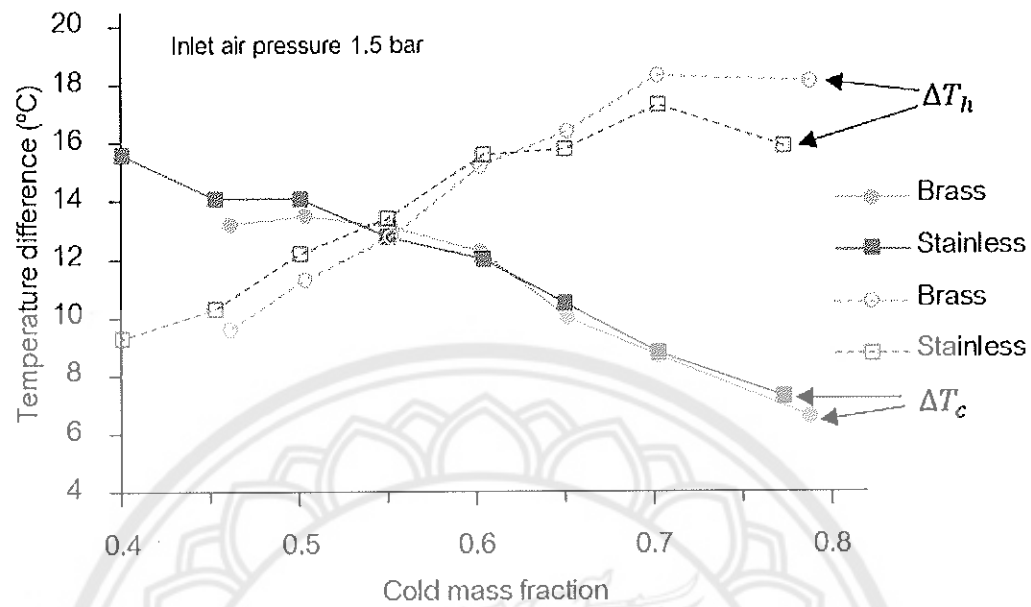
ภาพ 48 ความดันอากาศขาเข้าต่อการแยกชั้นอุณหภูมิอากาศของท่อวอร์เท็กซ์สแตนเลส

ประสิทธิภาพของท่อวอร์เท็กซ์

ในส่วนของการศึกษาประสิทธิภาพของท่อวอร์เท็กซ์ จะพิจารณาผลของการแตกต่างอุณหภูมิอากาศเย็นเป็นส่วนสำคัญ หลังจากนั้นทำการวิเคราะห์ค่าประสิทธิภาพไอกเซนโทรปิก ค่าความสามารถในการทำความเย็น และค่าสมรรถนะการทำความเย็นของท่อวอร์เท็กซ์ โดยทำการเปรียบเทียบประสิทธิภาพของท่อวอร์เท็กซ์ออกเป็น 2 ส่วน ตามรายละเอียดด้านล่าง

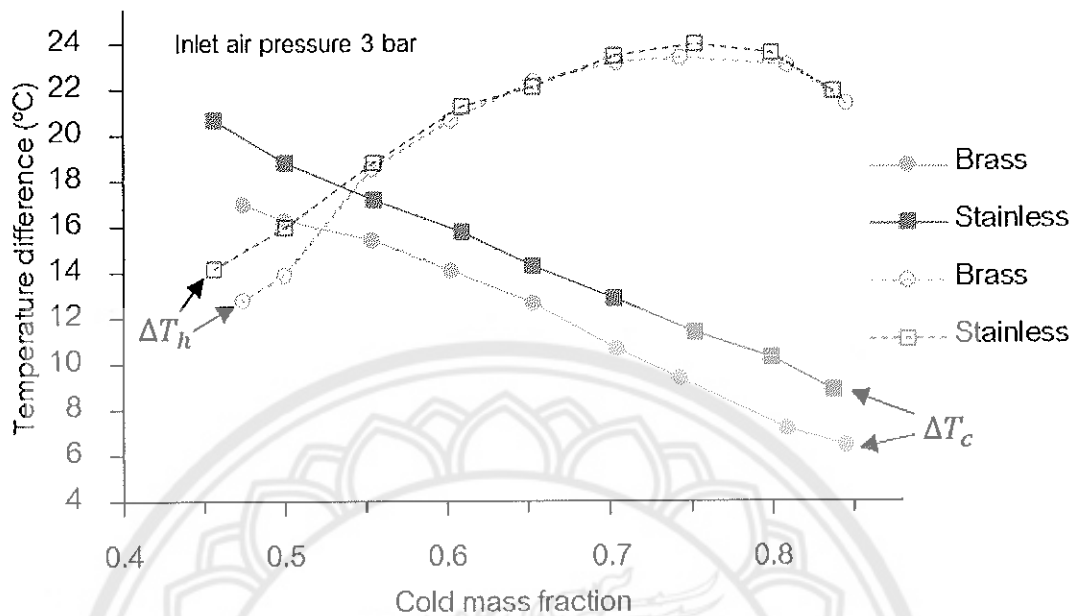
1. ห้องเหลืองทั้งชุดและห้องสแตนเลสทั้งชุด

ผลการทดสอบประสิทธิภาพของท่อวอร์เท็กซ์ที่ทำการวัดดูองค์นิด ระหว่างท่อวอร์เท็กซ์ที่ทำการห้องเหลืองและสแตนเลส ซึ่งมีขนาด ลักษณะรูปร่าง และส่วนประกอบเดียวกันทั้งชุด โดยได้เปรียบเทียบประสิทธิภาพของท่อวอร์เท็กซ์ทั้งสองวัสดุ แสดงผลตามภาพ 49 และภาพ 50



ภาพ 49 ความแตกต่างอุณหภูมิอากาศของท่ออวอร์เทกซ์ทองเหลืองและสแตนเลสทั้งชุด
ที่ความดันอากาศ 1.5 bar

จากภาพ 49 แสดงผลความแตกต่างอุณหภูมิอากาศของท่ออวอร์เทกซ์ ที่ความดันอากาศ 1.5 bar เห็นการเปรียบเทียบระหว่างท่ออวอร์เทกซ์ที่ทำจากทองเหลืองทั้งชุดและทำจากสแตนเลส ทั้งชุด พบร่วมกันที่สองชนิดมีแนวโน้มของความแตกต่างอุณหภูมิอากาศยืนยันและอากาศร้อนไปในทิศทางเดียวกันและมีผลการทดลองใกล้เคียงกัน ที่สัดส่วนมวลอากาศเย็นไอล 0.45 ท่ออวอร์เทกซ์สแตนเลสมีค่าความแตกต่างอุณหภูมิอากาศเย็นสูงสุด 14.1°C สูงกว่าท่ออวอร์เทกซ์ทองเหลือง 6.4% และจากภาพ 50 แสดงผลความแตกต่างอุณหภูมิอากาศของท่ออวอร์เทกซ์ ที่ความดันอากาศ 3 bar แสดงผลความแตกต่างระหว่างท่ออวอร์เทกซ์สองชนิดวัสดุมากขึ้น พบร่วมกันที่สัดส่วนมวลอากาศเย็นไอล 0.45 ท่ออวอร์เทกซ์สแตนเลสมีค่าความแตกต่างอุณหภูมิอากาศเย็นสูงสุด 20.7°C ขณะที่สัดส่วนมวลอากาศเย็น 0.47 ท่ออวอร์เทกซ์ทองเหลืองมีค่าความแตกต่างอุณหภูมิอากาศเย็นสูงสุด 17.0°C ซึ่งท่อสแตนเลสมีค่าสูงกว่าท่ออวอร์เทกซ์ทองเหลือง 17.9% และยังพบว่าค่าความแตกต่างอุณหภูมิอากาศร้อนของท่ออวอร์เทกซ์สองชนิดมีค่าไอลเคียงกันโดยที่ท่อสแตนเลสมีค่าความแตกต่างอุณหภูมิอากาศร้อนสูงสุด 24°C ซึ่งสูงกว่าท่อทองเหลืองเพียง 2.5% ที่สัดส่วนมวลอากาศเย็น 0.75



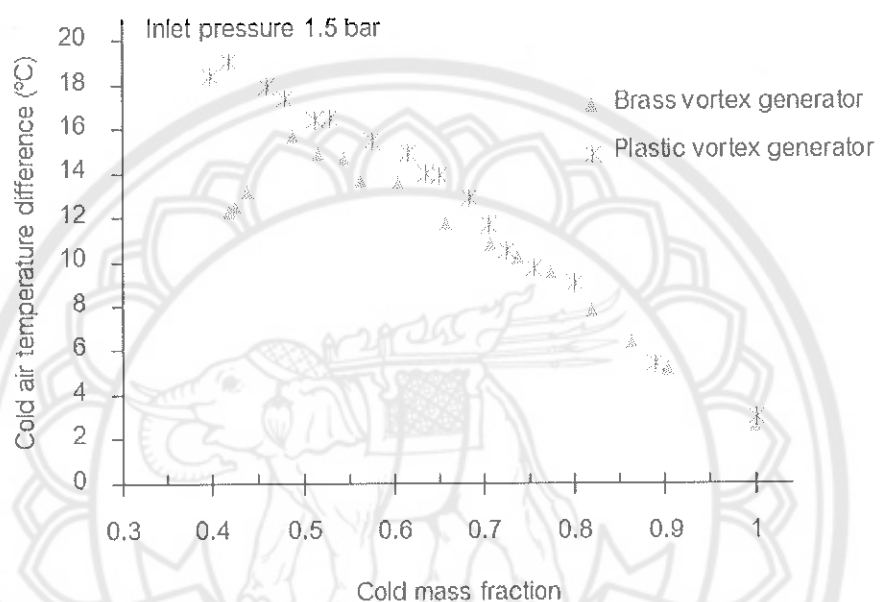
ภาพ 50 ความแตกต่างอุณหภูมิอากาศของท่ออวอร์เทกซ์ทองเหลืองและสแตนเลสทั้งชุด
ที่ความดันอากาศ 3 bar

ผลการทดลองของท่ออวอร์เทกซ์ที่ทำจากทองเหลืองและสแตนเลส แสดงให้เห็นว่าสัดส่วนของชนิดสามารถนำมาสร้างท่ออวอร์เทกซ์สำหรับผลิตอากาศเย็นและอากาศร้อนได้จริง และพบว่าชนิดของวัสดุทำท่ออวอร์เทกซ์ส่งผลต่อการแยกชั้นอุณหภูมิอากาศภายในท่ออวอร์เทกซ์ จากผลการทดลองแสดงให้เห็นว่าค่าความแตกต่างอุณหภูมิอากาศเย็นและค่าความแตกต่างอุณหภูมิอากาศร้อนของท่ออวอร์เทกซ์ทั้งสองชนิดวัสดุทำท่ออวอร์เทกซ์ส่งผลต่อการแยกชั้นอุณหภูมิอากาศเย็นและค่าความแตกต่างอุณหภูมิอากาศร้อนของท่ออวอร์เทกซ์ทั้งสองชนิดวัสดุไม่ต่างกัน มีเพียงผลการทดลองที่ความดันอากาศ 3 bar ที่ท่ออวอร์เทกซ์สแตนเลสมีค่าความแตกต่างอุณหภูมิอากาศเย็นสูงกว่าท่ออวอร์เทกซ์ทองเหลือง ซึ่งผลการทดลองไม่สอดคล้องกับสมมติฐานที่กล่าวในบทที่ 1 ดังนั้นเพื่อเป็นการยืนยันผลการทดลอง จึงได้ทำการทดลองดังรายละเอียดในส่วนที่ 2

2. ท่อทองเหลืองและท่อสแตนเลส ที่มีต้นกำเนิดกระแสเหมือนกันจากพลาสติก

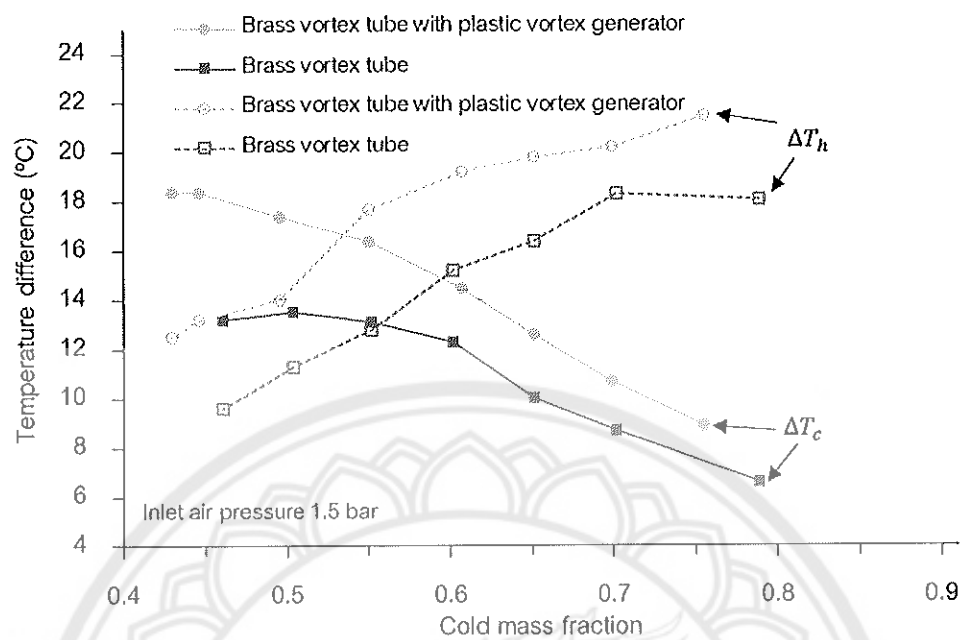
ผู้วิจัยได้ศึกษาผลของชนิดวัสดุทำตัวต้นกำเนิดกระแสเหมือนกันที่มีต่อประสิทธิภาพการทำความเย็นของท่ออวอร์เทกซ์ พิจารณาตัวต้นกำเนิดกระแสเหมือนกันเนื่องจากเป็นชิ้นส่วนประกอบสำคัญของท่ออวอร์เทกซ์ที่ทำให้เกิดกระแสเหมือนกันและเกิดการแยกชั้นอุณหภูมิภายในท่อ ได้ทำการทดลองเป็นตัวโดยการติดตั้งตัวต้นกำเนิดกระแสเหมือนกันที่มีวัสดุต่างกันสองชนิด ระหว่างตัวต้นกำเนิดกระแสเหมือนกันทองเหลืองและตัวต้นกำเนิดกระแสเหมือนกันพลาสติก ผลการทดลองแสดงในภาพ 51 ซึ่ง

แสดงผลค่าความแตกต่างอุณหภูมิอากาศเย็นของท่ออวอร์เท็กซ์ พบร่วมนิคิวสตูของต้นกำเนิดกระแสหมุนวนมีผลต่อความแตกต่างอุณหภูมิอากาศเย็นของท่ออวอร์เท็กซ์ โดยที่ท่ออวอร์เท็กซ์ที่มีต้นกำเนิดกระแสหมุนวนพลาสติกสามารถลดอุณหภูมิอากาศปลายท่อเป็นได้กว่าท่ออวอร์เท็กซ์ที่มีต้นกำเนิดกระแสหมุนวนทำจากทองเหลือง 17.8% โดยที่ท่ออวอร์เท็กซ์ที่มีต้นกำเนิดกระแสหมุนวนพลาสติกมีค่าความแตกต่างอุณหภูมิอากาศเย็นสูงสุดเท่ากับ 19.1°C

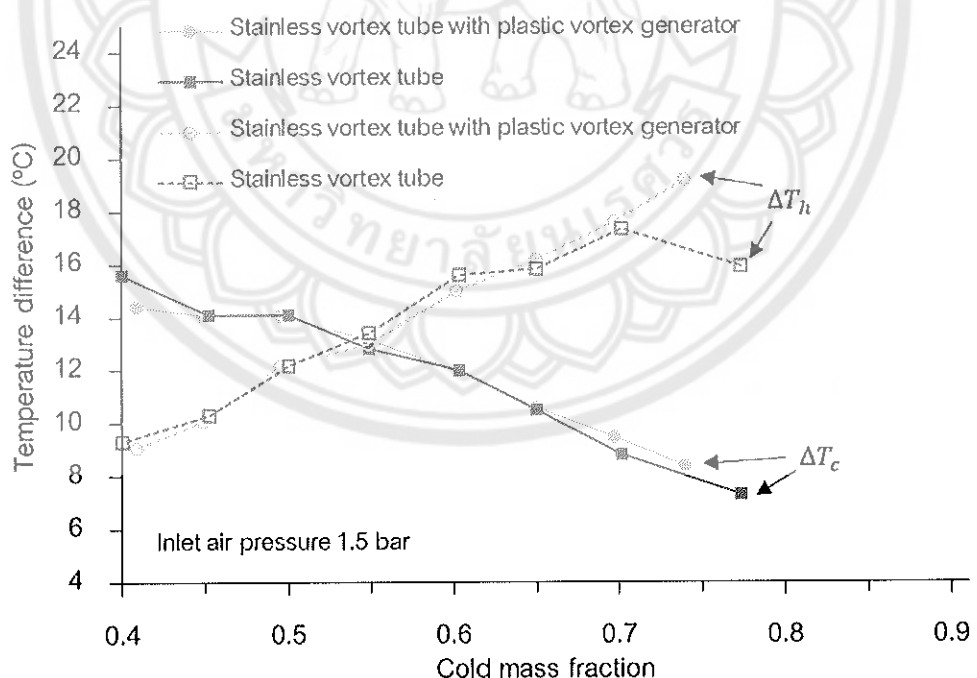


ภาพ 51 ความแตกต่างอุณหภูมิอากาศเย็นของท่ออวอร์เท็กซ์ที่มีต้นกำเนิดกระแสหมุนวนทองเหลืองและพลาสติก

ดังนี้จึงนำต้นกำเนิดกระแสหมุนวนพลาสติก มาทดสอบกับประสิทธิภาพการทำงานของท่ออวอร์เท็กซ์ที่ทำการทดลองในภาพ 52 จากการเห็นว่าท่ออวอร์เท็กซ์ทองเหลืองที่ติดตั้งต้นกำเนิดกระแสหมุนวนพลาสติกมีค่าความแตกต่างอุณหภูมิอากาศเย็นและร้อนสูงท่ออวอร์เท็กซ์ทองเหลืองที่ติดตั้งต้นกำเนิดกระแสหมุนวนทองเหลือง และภาพ 53 ท่ออวอร์เท็กซ์สแตนเลสที่ติดตั้งต้นกำเนิดกระแสหมุนวนพลาสติกและสแตนเลสมีผลความแตกต่างอุณหภูมิอากาศใกล้เคียงกัน ถึงอย่างไรก็ตามที่สัดส่วนมวลอากาศเย็นตั้งแต่ 0.65 ท่ออวอร์เท็กซ์ที่มีต้นกำเนิดกระแสหมุนวนพลาสติกมีแนวโน้มค่าความแตกต่างอุณหภูมิอากาศร้อนสูงกว่าต้นกำเนิดกระแสหมุนวนสแตนเลส



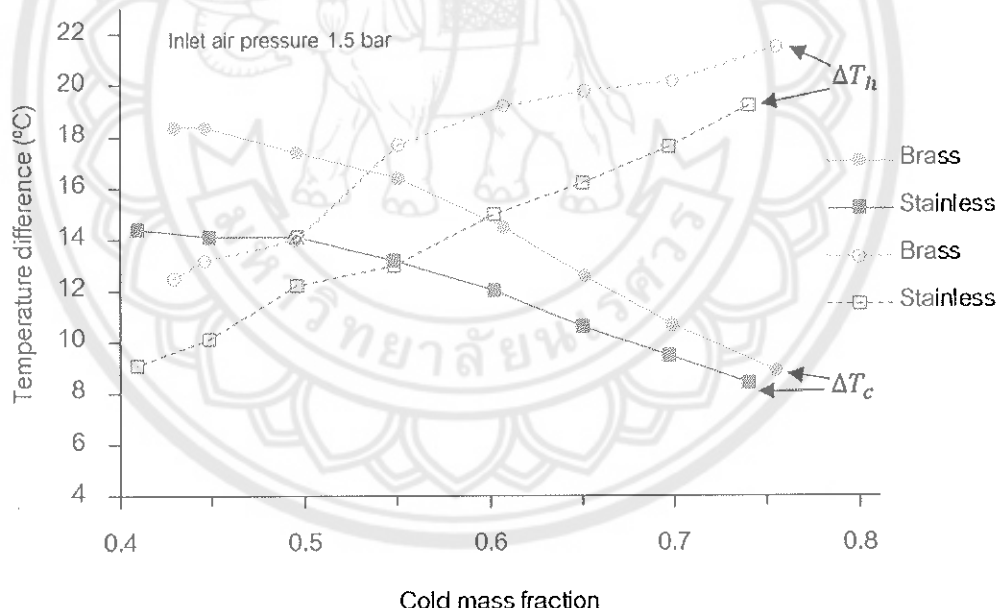
ภาพ 52 ความแตกต่างอุณหภูมิอากาศของท่อวอร์เทกซ์ที่ทำจากทองเหลือง



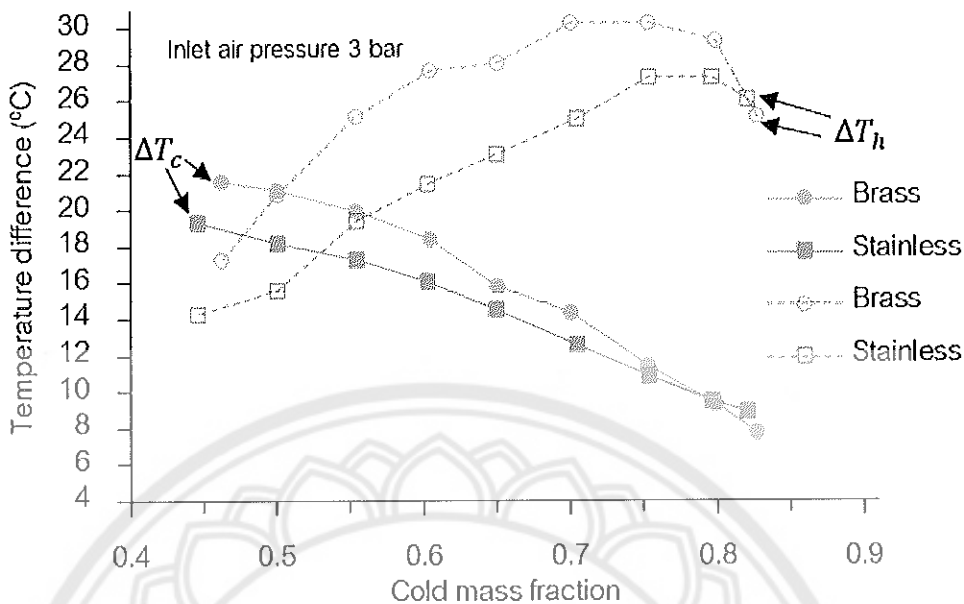
ภาพ 53 ความแตกต่างอุณหภูมิอากาศของท่อวอร์เทกซ์ที่ทำจากสแตนเลส

จากการ 52 และ 53 แสดงให้เห็นว่าชนิดวัสดุของตันกำเนิดกระแสหมุนวนมีผลต่อการแยกชั้นอุณหภูมิอากาศของท่อวอร์เทกซ์ เนื่องจากมีการถ่ายเทพลังงานผ่านหัวจีด ซึ่งชนิดวัสดุของหัวจีดมีสมบัติในการถ่ายเทความร้อนที่ต่างกัน และวัสดุทำหัวจีดจะต้องเป็นวัสดุที่มีความแข็งแรงทนต่อแรงดันที่สูงอัดด้วย (Kirmaci et al., 2018) นอกจากนี้มีการศึกษาหัวจีดที่ทำจากพลาสติกเนื่องจากเป็นชนิดวัสดุที่มีเสถียรภาพทางความร้อนสูง (Thermal stability) และมีความทนทานต่อสารเคมีสูง (Chemical resistance) ซึ่งเป็นคุณสมบัติหนึ่งของวัสดุเกี่ยวกับการทนทานต่อการกัดกร่อนจากสารเคมีที่อยู่รอบๆ และวัสดุยังมีความทนทานต่อความชื้น โดยที่ไม่เกิดความเสียหายต่อวัสดุ (Kirmaci et al., 2018)

ดังนั้นวัสดุของตันกำเนิดกระแสหมุนวนที่นำมาใช้ในงานวิจัยนี้ทำจากพลาสติก สำหรับติดตั้งภายในท่อวอร์เทกซ์ของเหลืองและท่อวอร์เทกซ์สแตนเลส โดยแสดงผลการทดลองที่ความดันอากาศ 1.5 bar ในภาพ 54 และแสดงผลที่ความดันอากาศ 3 bar ในภาพ 55



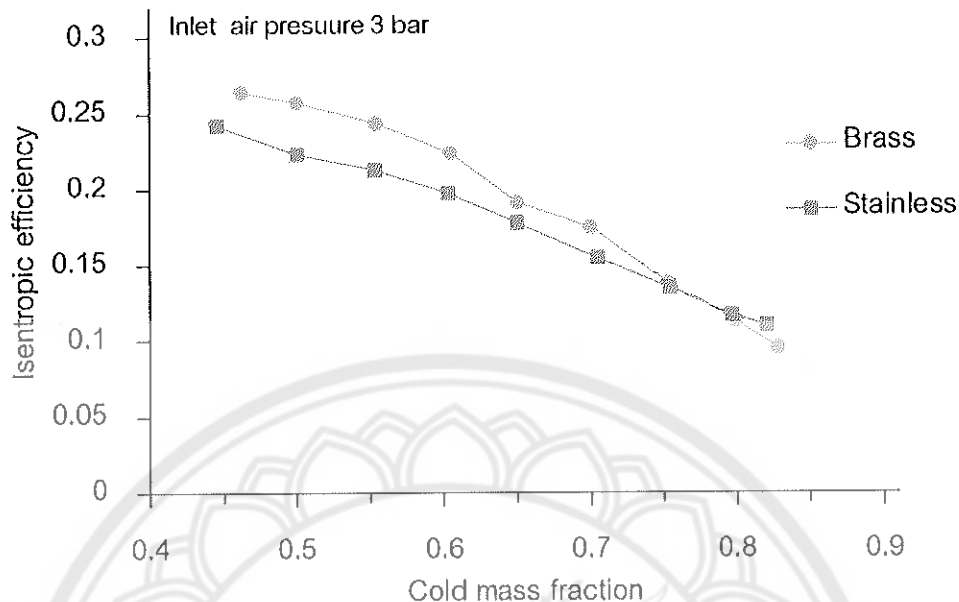
ภาพ 54 ความแตกต่างอุณหภูมิอากาศของท่อวอร์เทกซ์ ที่มีตันกำเนิดกระแสหมุนวนพลาสติก ที่ความดันอากาศ 1.5 bar



ภาพ 55 ความแตกต่างอุณหภูมิอากาศของท่อวอร์เท็กซ์ ที่มีต้นกำเนิดกระแสลมวนพลาสติก ที่ความดันอากาศ 3 bar

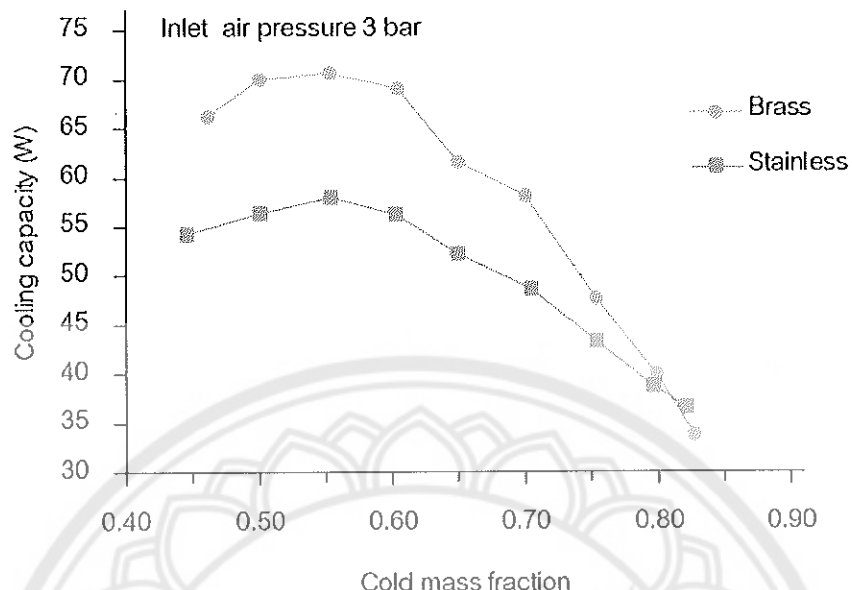
ภาพ 54 แสดงผลที่ความดันอากาศ 1.5 bar พบร่วงจากการนำต้นกำเนิดกระแสลมวนทำจากพลาสติกมาติดตั้งในท่อวอร์เท็กซ์ทั้งสองชนิดวัสดุ ทำให้สามารถปรับค่าสัดส่วนมวลอากาศเย็นได้ใกล้เคียงกันในช่วงตั้งแต่ 0.41 ถึง 0.75 ที่สัดส่วนมวลอากาศเย็น 0.43 ท่อวอร์เท็กซ์ทองเหลืองมีค่าความแตกต่างอุณหภูมิอากาศเย็นสูงสุด 18.4°C ซึ่งมีค่าสูงกว่าท่อวอร์เท็กซ์สแตนเลส 21.7% ในทำนองเดียวกันท่อวอร์เท็กซ์ทองเหลืองสามารถเพิ่มอุณหภูมิอากาศปลายท่อร้อนได้สูงกว่าท่อวอร์เท็กซ์สแตนเลส และในภาพ 55 แสดงผลที่ความดันอากาศ 3 bar พบร่วงที่สัดส่วนมวลอากาศเย็นใกล้ 0.45 ท่อวอร์เท็กซ์ทองเหลืองมีค่าความแตกต่างอุณหภูมิอากาศเย็นสูงสุด 21.6°C ขณะที่ท่อวอร์เท็กซ์สแตนเลสมีค่าสูงสุด 19.3°C ซึ่งท่อวอร์เท็กซ์ทองเหลืองมีค่าสูงกว่าท่อวอร์เท็กซ์สแตนเลส 10.7% เช่นเดียวกับที่สัดส่วนมวลอากาศเย็น 0.75 ท่อวอร์เท็กซ์ทองเหลืองมีค่าความแตกต่างอุณหภูมิอากาศร้อนสูงสุด 30.3°C สูงกว่าท่อวอร์เท็กซ์สแตนเลส 9.9%

จากภาพ 54 และภาพ 55 แสดงว่าท่อวอร์เท็กซ์ทำจากทองเหลืองที่ติดตั้งต้นกำเนิดกระแสลมวนพลาสติกมีความสามารถลดอุณหภูมิอากาศปลายท่อเย็นได้ดีกว่าท่อวอร์เท็กซ์สแตนเลส ซึ่งผลการทดลองไปในทิศทางเดียวกันทั้งที่ความดันอากาศ 1.5 bar และความดันอากาศ 3 bar ต่อมาก็สามารถประยุกต์ใช้ในการทำความเย็นของท่อวอร์เท็กซ์ด้วยการวิเคราะห์ค่าประสิทธิภาพ 'ไอเซนไทร์ปิก' ความสามารถการทำความเย็น และสมรรถนะการทำความเย็น



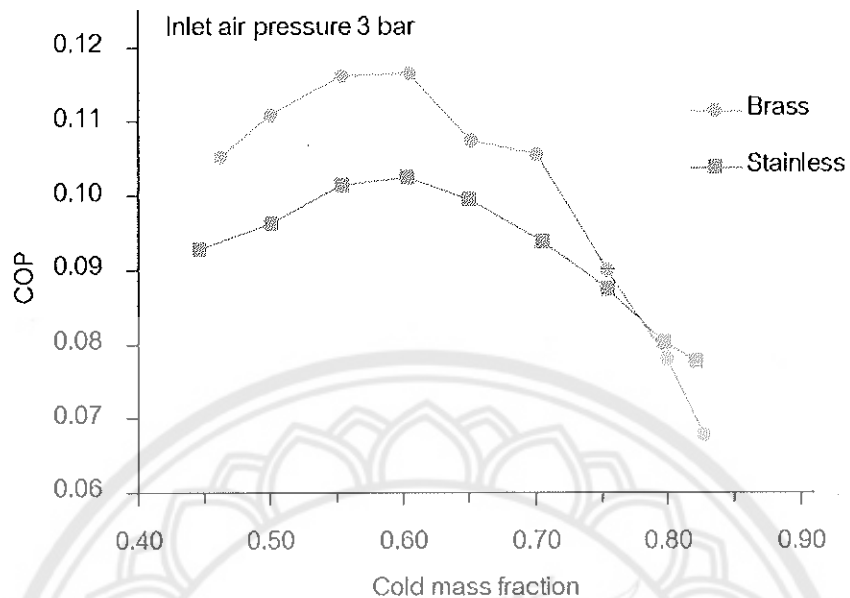
ภาพ 56 ประสิทธิภาพไอเซนไทรปิกของท่อวอร์เท็กซ์ ทดสอบที่ความดันอากาศ 3 bar

จากภาพ 56 พบว่าผลการทดลองคล้ายกับผลความแตกต่างอุณหภูมิอากาศเย็นในภาพ 55 เนื่องจากประสิทธิภาพไอเซนไทรปิกเป็นสัดส่วนโดยตรงกับความแตกต่างอุณหภูมิอากาศเย็น ท่อวอร์เท็กซ์ทั้งสองวัสดุมีประสิทธิภาพไอเซนไทรปิกสูงสุดที่สัดส่วนมวลอากาศเย็นประมาณ 0.45 หลังจากนั้นประสิทธิภาพไอเซนไทรปิกมีค่าลดลงเมื่อสัดส่วนมวลอากาศเย็นเพิ่มขึ้น ท่อวอร์เท็กซ์ ทองเหลืองมีประสิทธิภาพไอเซนไทรปิกสูงสุด 0.27 ท่อวอร์เท็กซ์สแตนเลสมีค่าสูงสุด 0.24 แสดงให้เห็นว่าท่อวอร์เท็กซ์ทองเหลืองมีค่าสูงกว่าท่อวอร์เท็กซ์สแตนเลสถึง 11.1% ผลการทดลองจากงานวิจัยนี้สอดคล้องกับงานวิจัยของ Saidi, & Valipour (2003) ศึกษาการอุ่นแบบท่อวอร์เท็กซ์ที่ความดันอากาศ 3 bar ท่อวอร์เท็กซ์มีประสิทธิภาพไอเซนไทรปิกในช่วงตั้งแต่ 0.165 ถึง 0.445 นอกจากนี้ยังสอดคล้องกับงานวิจัยของ Eiamsa-ard (2010) ได้ศึกษาการแยกชั้นพลังงานภายในท่อวอร์เท็กซ์ ทดสอบที่ความดันอากาศ 3 bar ซึ่งท่อวอร์เท็กซ์มีประสิทธิภาพไอเซนไทรปิกเท่ากับ 0.237



ภาพ 57 ความสามารถในการทำความเย็นของท่ออํร์เทิ๊กซ์ ทดสอบที่ความดันอากาศ 3 bar

ภาพ 57 แสดงผลความสามารถในการทำความเย็นของท่ออํร์เทิ๊กซ์ ซึ่งบวกถึงบริมาณ ความเย็นที่ปล่อยออกจากการท่อด้านเย็นของท่ออํร์เทิ๊กซ์ จะชี้นอยู่กับอัตราการไหลของมวลอากาศ ยืนและความแตกต่างอุณหภูมิอากาศเย็น พบร้าเมื่อสัดส่วนมวลอากาศเย็นเพิ่มขึ้นความสามารถ การทำความเย็นเพิ่มขึ้นด้วย จนมีค่าสูงสุดที่สัดส่วนมวลอากาศเย็น 0.55 และหลังจากนั้นค่า ความสามารถการทำความเย็นลดลงตามสัดส่วนมวลอากาศเย็นที่เพิ่มขึ้น โดยที่ท่ออํร์เทิ๊กซ์ที่ทำ จากทองเหลืองมีความสามารถการทำความเย็นสูงสุด 70.7 W ขณะที่ท่ออํร์เทิ๊กซ์สแตนเลสมี ค่าสูงสุด 58.0 W ซึ่งท่ออํร์เทิ๊กซ์ทองเหลืองมีค่าความสามารถการทำความเย็นสูงกว่าท่อ อํร์เทิ๊กซ์สแตนเลส 18% ซึ่งผลการทดลองสอดคล้องกับท่ออํร์เทิ๊กซ์ที่ผลิตจากโรงงาน อุตสาหกรรม ซึ่งเป็นท่ออํร์เทิ๊กซ์ที่มีจำหน่ายตามท้องตลาด โดยมีการศึกษาการลดอุณหภูมิ ภายในตู้ทดลองด้วยท่ออํร์เทิ๊กซ์ที่ความดันอากาศ 3 bar พบร้าท่ออํร์เทิ๊กซ์มีความสามารถ การทำความเย็นภายในตู้ทดลองสูงสุด 70 W (สินีพร จันทร์สว่าง, และวรรณ์ รัตน์พิสัย, 2560) นั้นแสดงให้เห็นว่าท่ออํร์เทิ๊กซ์ทองเหลืองมีความสามารถการทำความเย็นใกล้เคียงกับ ท่ออํร์เทิ๊กซ์ที่มีจำหน่ายตามท้องตลาดด้านอุปกรณ์ทำความเย็น



ภาพ 58 สมรรถนะการทำความเย็นของท่อออร์เต็กซ์ ทดสอบที่ความดันอากาศ 3 bar

ภาพ 58 แสดงผลสมรรถนะการทำความเย็น(COP) ของท่อออร์เต็กซ์ ซึ่งแสดงถึงความสามารถการทำความเย็นของท่อออร์เต็กซ์ต่อพลังงานกลที่ใช้ในการผลิตการทำความเย็น จากราพพบว่าท่อออร์เต็กซ์มีสมรรถนะการทำความเย็นสูงสุดที่สัดส่วนมวลอากาศเย็น 0.60 โดยที่ท่อออร์เต็กซ์ทองเหลืองมีสมรรถนะการทำความเย็นสูงสุด 0.117 ขณะที่ท่อออร์เต็กซ์สแตนเลส มีค่าสูงสุด 0.103 จากการศึกษางานวิจัยก่อนหน้า ท่อออร์เต็กซ์ทำการทดลองโดยใช้อากาศเป็นสารทำความเย็นมีสมรรถนะการทำความเย็นได้สูงสุด 0.16 ซึ่งถือว่าต่ำมากเมื่อเทียบกับระบบทำความเย็นทั่วไปแบบอัดไอ ซึ่งมีค่าระหว่าง 1.0-2.5 (นักสิทธิ์ คุณนาชัย, และกำธร เหตุตะพาณิชย์, 2532) งานวิจัยที่ศึกษาเกี่ยวกับท่อออร์เต็กซ์ทดลองที่ความดันอากาศ 5.6 bar มีสมรรถนะการทำความเย็นสูงสุด 0.16 (Torrella et al., 2013) นอกจากนี้ยังมีงานวิจัยที่ทดลองที่ความดันอากาศ 3 bar พบว่าท่อออร์เต็กซ์มีสมรรถนะการทำความเย็นสูงสุดประมาณ 0.09 (Hamdan et al., 2018) จากผลการทดลองของงานวิจัยนี้แสดงให้เห็นว่าท่อออร์เต็กซ์ที่ทำการทดลองเหลืองมีสมรรถนะการทำความเย็นที่สอดคล้องกับผลการทดลองของงานวิจัยข้างต้น ท่อออร์เต็กซ์เป็นอุปกรณ์ทำความเย็นที่มีสมรรถนะการทำความเย็นต่ำเมื่อสำหรับการทำงานเฉพาะ เช่น การเป่าลมเย็นจากท่อออร์เต็กซ์ให้กับวัสดุขนาดเล็กหรือตัว จะช่วยลดการเสียหายของชิ้นงานได้ดี

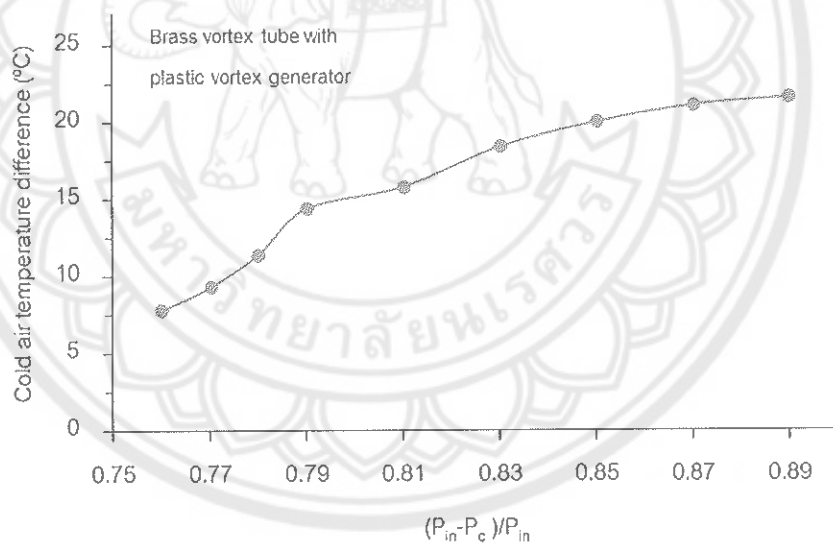
ผลการทดลองของท่อวอร์เท็กซ์จากทองเหลืองและสแตนเลส ที่มีต้นกำเนิดกรอบแสหมุน วนพลาสติก แสดงให้เห็นว่าท่อวอร์เท็กซ์ทองเหลืองมีความสามารถในการแยกชั้นอุณหภูมิได้ดีกว่า ท่อวอร์เท็กซ์สแตนเลส พิจารณาจากผลความแตกต่างอุณหภูมิของท่อวอร์เท็กซ์ทองเหลืองมีค่าสูง กว่าท่อวอร์เท็กซ์สแตนเลส ที่ความดันอากาศ 1.5 bar และ 3 bar โดยที่ท่อวอร์เท็กซ์ทองเหลืองมีค่าความแตกต่างอุณหภูมิอากาศเย็นสูงสุด 21.6°C และค่าความแตกต่างอุณหภูมิอากาศร้อน สูงสุด 30.3°C ซึ่งเป็นค่าที่สูงกว่าท่อวอร์เท็กซ์สแตนเลส 10.7% และ 9.9% ตามลำดับ และยังแสดง ให้เห็นว่าท่อวอร์เท็กซ์ทองเหลืองมีประสิทธิภาพการทำความเย็นสูงกว่าท่อวอร์เท็กซ์สแตนเลส โดย มีประสิทธิภาพไอกเซนไทร์ปิกสูงกว่า 11.1% มีความสามารถการทำความเย็นสูงกว่า 18.0% และมี สมรรถนะการทำความเย็นสูงกว่า 12.0% จากผลการทดลองสามารถสรุปได้ว่าทองเหลืองเป็นวัสดุ ที่สามารถทำให้ท่อวอร์เท็กซ์มีประสิทธิภาพการทำความเย็นที่ดีกว่าสแตนเลส

งานวิจัยนี้มีการหุ่มชนวนที่บริเวณผิวท่อร้อนของท่อวอร์เท็กซ์เพื่อลดการสูญเสียความร้อน จากรายในท่อออกไปนอกท่อ และช่วยลดการถ่ายเทความร้อนของอากาศภายในท่อเข้าไปยัง ภายในท่อวอร์เท็กซ์ด้วย นั่นเป็นเพียงการหุ่มชนวนเพียงบริเวณท่อร้อน ซึ่งเป็นส่วนกลางของท่อ วอร์เท็กซ์ท่านั้น แต่บริเวณส่วนต้น(ปลายท่อเย็นและห้องสร้างกระแสหมุนวน) และบริเวณส่วน ปลาย(วาล์วควบคุม) ไม่มีการหุ่มชนวน ดังนั้นอาจจะเกิดการถ่ายเทความร้อนจากภายในท่อ วอร์เท็กซ์ออกไปยังนอกท่อวอร์เท็กซ์ผ่านตัวกลางที่เป็นผิวของวัสดุ และจากการรวมงานวิจัย เกี่ยวกับเกณฑ์การออกแบบท่อวอร์เท็กซ์ของ Yilmaz et al. (2009) ได้กล่าวถึงวัสดุสำหรับนำมาทำ ท่อวอร์เท็กซ์ พื้นผิวภายในของท่อวอร์เท็กซ์ต้องมีผิวเรียบ ซึ่งพื้นผิวภายในที่ราบเรียบจะส่งผลกระทบ การแยกชั้นอุณหภูมิอากาศและประสิทธิภาพของท่อวอร์เท็กซ์ที่ดีขึ้น และความหยาบ ขรุขระ ไม่ เรียบ (Roughness) ของผิวภายในท่อจะมีผลต่อความเสียดทานระหว่างอากาศและผิวท่อ ซึ่งจะ ส่งผลกระทบต่อประสิทธิภาพของท่อวอร์เท็กซ์ เช่นกัน โดยจะทำให้เกิดการแยกชั้นของอุณหภูมิ อากาศภายในท่อวอร์เท็กซ์ลดลง พื้นผิวภายในของท่อวอร์เท็กซ์ขึ้นอยู่กับกระบวนการผลิตและ คุณสมบัติของวัสดุแต่ละชนิด ในส่วนกระบวนการผลิต ผู้วิจัยได้ทำการสร้างท่อวอร์เท็กซ์ภายใต้ เงื่อนไขด้านเครื่องมือและช่างผู้เชี่ยวชาญเดียวกัน แต่ในส่วนของคุณสมบัติของวัสดุ เมื่อพิจารณา ความขรุขระของผนังท่อ(Absolute Roughness) พบว่าทองเหลืองเป็นวัสดุที่มีผิวเรียบมากกว่า สแตนเลส (Rennels, & Hudson, 2012) นี้อาจจะเป็นเหตุผลหนึ่งที่ทำให้ท่อวอร์เท็กซ์ที่ทำจาก ทองเหลืองมีประสิทธิภาพดีกว่าสแตนเลส

การเปรียบเทียบผลการทดลองกับงานวิจัยอื่น

1. ผลของความดันอากาศที่ปลายท่อออร์เต็กซ์ต่อกลุ่มภูมิอากาศเย็น

ความดันอากาศที่ป้อนเข้าไปในท่อออร์เต็กซ์เป็นแหล่งที่ให้พลังงานสำหรับท่อออร์เต็กซ์ ซึ่งทำให้เกิดการแยกชั้นกลุ่มภูมิอากาศเย็นและอากาศร้อนภายในท่อออร์เต็กซ์ แสดงให้เห็นถึงความสำคัญของความดันอากาศขาเข้าของท่อออร์เต็กซ์ ซึ่งมีความสัมพันธ์กับกลุ่มภูมิอากาศปลายท่อเย็นและความดันอากาศที่ปลายท่อเย็น จากรายงานวิจัยของ Rattanongphisat et al. (2008) กล่าวถึงความดันของไนโตรเจนที่เข้าไปภายในท่อผ่านหัวฉีดในแนวสัมผัส ของไนโตรเจน ที่ได้จากการทดสอบของท่อไนโตรเจน ที่มีความดันต่ำจะทำให้กลุ่มภูมิอากาศต่ำด้วย เพื่อเป็นการพิสูจน์ความสัมพันธ์ของความดันอากาศกับกลุ่มภูมิอากาศปลายท่อ จึงได้นำผลการทดลองของท่อออร์เต็กซ์ของเหลืออง ที่มีหัวฉีดกระแทกมุนวนจากพลาสติก ที่ความดันอากาศขาเข้า 3 bar ผลการทดลองตามภาพ 59



ภาพ 59 การลดลงของความดันอากาศปกติที่มีผลต่อการแยกชั้นกลุ่มภูมิอากาศ

ภาพ 59 แสดงถึงอัตราส่วนระหว่างความแตกต่างของความดันอากาศขาเข้าและความดันอากาศปลายท่อเย็นต่อความดันอากาศขาเข้าที่มีผลต่อความแตกต่างกลุ่มภูมิอากาศเย็น จากการทดลองของท่อเย็นที่มีผลต่อความแตกต่างกลุ่มภูมิอากาศเย็น จากรายงานวิจัยของ Ahlborn et al. (1996) ได้ศึกษาการแยกชั้นของกลุ่มภูมิของท่อเพิ่มขึ้นด้วย จากรายงานวิจัยของ Ahlborn et al. (1996) ได้ศึกษาการแยกชั้นของกลุ่มภูมิของท่อ

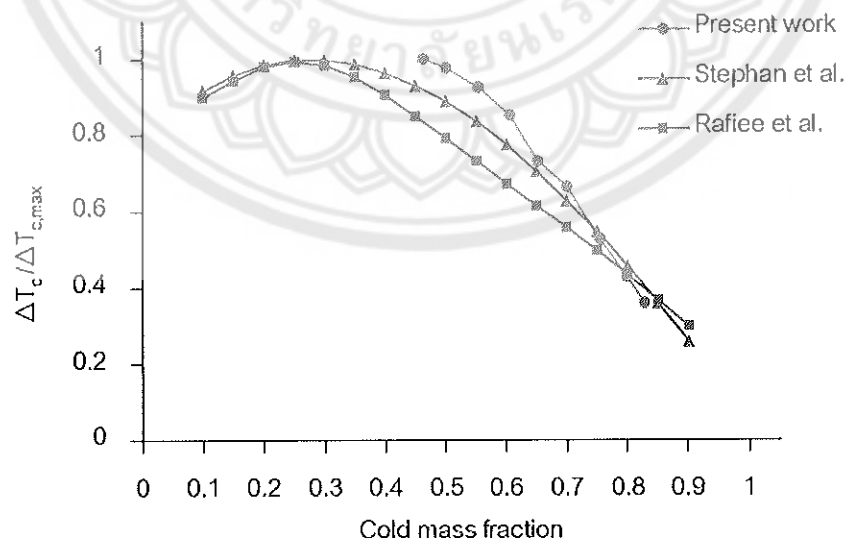
วอร์เท็กซ์ที่ความดันต่ำ พนบว่าการแยกชั้นอุณหภูมิอากาศภายในท่อวอร์เท็กซ์มีความสัมพันธ์เชิงเส้นกับการลดลงของความดันอากาศปกติ หรือ ความดันอากาศแตกต่างที่เทียบค่า (Normalized pressure drop) ระหว่างความดันอากาศข้างเข้าและความดันอากาศปลายท่อเย็น

2. ความสัมพันธ์ที่คล้ายกันไม่ขึ้นอยู่เงื่อนไขการทำงาน

Stephan et al. (1983) ได้ศึกษาการประมาณค่าของท่อวอร์เท็กซ์ที่มีลักษณะทางเรขาคณิตคล้ายกัน ได้กล่าวถึงอัตราส่วนของความแตกต่างอุณหภูมิอากาศเย็นต่อความแตกต่างอุณหภูมิอากาศเย็นที่มีค่าสูงสุด $\Delta T_c / \Delta T_{c,max}$ ซึ่งได้ใช้เป็นความสัมพันธ์ตามฟังก์ชันของสัดส่วนมวลอากาศเย็น ซึ่งเป็นสมการแสดงความสัมพันธ์ที่คล้ายกัน (Similarity relation) สำหรับการแยกชั้นพลังงานหรือการเกิดการเปลี่ยนแปลงอุณหภูมิอากาศปลายท่อเย็นของท่อวอร์เท็กซ์ สามารถเขียนสมการความสัมพันธ์ด้านล่าง

$$\frac{\Delta T_c}{\Delta T_{c,max}} = f(y) \quad (4.1)$$

โดยที่ ΔT_c คือความแตกต่างอุณหภูมิอากาศเย็น $\Delta T_{c,max}$ คือความแตกต่างอุณหภูมิอากาศเย็นที่มีค่าสูงสุด และ $f(y)$ คือฟังก์ชันของสัดส่วนมวลอากาศเย็น ซึ่งเป็นสมการที่เป็นอิสระกับเงื่อนไขการดำเนินการทดลองและสารทำงานภายในท่อวอร์เท็กซ์ที่มีรูปทรงทางเรขาคณิตคล้ายกัน



ภาพ 60 ความสัมพันธ์ที่คล้ายกันตามฟังก์ชันของสัดส่วนมวลอากาศ

จากภาพ 60 แสดงการยืนยันว่าผลการทดลองของท่ออุรังเหง้ามีความสัมพันธ์คล้ายกันกับงานวิจัยของ Stephan et al. (1983) และงานวิจัยของ Rafiee, & Sadeghiazad (2014) จากภาพพบว่า $\Delta T_c / \Delta T_{c,max}$ มีค่าสูงสุดที่สัดส่วนมวลอากาศเย็นประมาณ 0.3 และเมื่อสัดส่วนมวลอากาศเย็นเพิ่มขึ้น ทำให้ $\Delta T_c / \Delta T_{c,max}$ มีค่าลดลงอย่างรวดเร็ว ซึ่งผลการทดลองของท่ออุรังเหง้ามีลักษณะลดลงเช่นกัน ซึ่งค่าความสัมพันธ์ที่คล้ายกันนี้เป็นไปในทิศทางเดียวกัน

การประเมินค่าการปล่อยก๊าซเรือนกระจกของท่ออุรังเหง้า

ในส่วนการวิเคราะห์ข้อมูลเพื่อหาค่าการปลดปล่อยก๊าซเรือนกระจกของระบบทำความเย็นท่ออุรังเหง้าที่ใช้อากาศเป็นสารทำความเย็นในการทำงาน สามารถวิเคราะห์ได้ด้วยค่าดัชนีผลกระทบที่มีต่อการทำให้เกิดภาวะโลกร้อนเทียบเท่าโดยรวม (Total equivalent warming impact หรือ TEWI) ซึ่งเป็นผลกระทบรวมระหว่างผลกระทบทางตรงที่เกิดจากการใช้สารทำความเย็นและผลกระทบทางอ้อมที่เกิดจากการใช้พลังงานไฟฟ้าสำหรับระบบ โดยอ้างอิงตามเงื่อนไขของคณะกรรมการระหว่างรัฐบาลว่าด้วยเรื่องการเปลี่ยนแปลงสภาพภูมิอากาศ (Intergovernmental Panel on Climate Change หรือ IPCC, 2005) ที่มีการปลดปล่อยสารทำงานออกสู่ชั้นบรรยากาศ

ท่ออุรังเหง้าเป็นอุปกรณ์ทำความเย็นชนิดหนึ่ง ที่สามารถทำงานโดยใช้สารทำความเย็นจากธรรมชาติ นั่นคือใช้อากาศเป็นสารทำงาน ซึ่งมีผลกระทบต่อการเกิดภาวะโลกร้อนน้อยมาก เนื่องจากสารทำความเย็นธรรมชาติเป็นสารที่มีค่าศักยภาพที่ทำให้เกิดภาวะโลกร้อน (GWP) ต่ำ ส่วนประกอบของอากาศประกอบด้วยไนโตรเจนกับออกซิเจนเป็นหลักถึง 99% และมีก๊าซคาร์บอนไดออกไซด์ 0.04% ดังนั้นอากาศจึงมีค่า GWP ที่ต่ำ เทียบเท่ากับ 0 หรือว่า GWP ของอากาศ เท่ากับ 0 และท่ออุรังเหง้าสามารถทำงานด้วยอากาศที่มีความดันสูงอัดเข้าไปในท่อ ท่ออุรังเหง้าไม่มีส่วนประกอบที่ต้องใช้ไฟฟ้าในการทำงาน แต่ในกระบวนการผลิตอากาศอัดเพื่อให้อากาศมีความดันสูงนั้น จำเป็นต้องใช้พลังงานจากบีมลมเพื่อผลิตลมขัดแล้วส่งต่อตามลำท่อเข้าไปที่ท่ออุรังเหง้า ซึ่งบีมลมที่ทำหน้าที่เป็นต้นกำเนิดในการผลิตลม มีส่วนประกอบหลักคือมอเตอร์ ซึ่งเป็นอุปกรณ์ไฟฟ้าที่เปลี่ยนพลังงานไฟฟ้าเป็นพลังงานกล ในการพิจารณาระบบททำความเย็นของท่ออุรังเหง้าที่มีผลกระทบที่ทำให้เกิดภาวะโลกร้อนวิเคราะห์ด้วยสมการ TEWI ที่แสดงผลกระทบต่อสิ่งแวดล้อมทั้งทางตรงและทางอ้อม แสดงให้เห็นว่าท่ออุรังเหง้าไม่มีผลกระทบทางตรงที่เกิดจากการปลดปล่อยก๊าซเรือนกระจกของสารทำความเย็น มีเพียงผลกระทบที่เกิดขึ้นทางอ้อมจาก การใช้พลังงานเท่านั้น ดังนั้นจะได้สมการ TEWI ของท่ออุรังเหง้าว่า

$TEWI_{vortex\ tube\ with\ air}$ = Indirect effect

$$TEWI_{vortex\ tube\ with\ air} = E \times \beta \times n \quad (4.2)$$

เมื่อ E คือการใช้พลังงานต่อปี(kWh) β คือปริมาณการปลดปล่อยก๊าซ CO_2 จากการผลิตไฟฟ้า ($kgCO_2/kWh$) และ n คืออายุการใช้งานของมอเตอร์ปั๊มลม(ปี) จากข้อมูลปริมาณการปลดก๊าซ CO_2 จากการใช้พลังงานไฟฟ้าของประเทศไทยเฉลี่ยเท่ากับ $0.465\ kg\ CO_2 / kWh$ (สำนักงานนโยบายและแผนพลังงาน, 2561) ขนาดของมอเตอร์ปั๊มลมที่ใช้งานมีกำลังขนาด $5\ HP$ หรือ $3.7\ kW$ และมีอายุการใช้งานเฉลี่ย $10\ 年$ พิจารณาให้ใช้งานท่อวอร์เทกซ์วันละ $1\ ชั่วโมง$ เปิดใช้งานทุกวัน $365\ วัน$ ต่อปี ท่อวอร์เทกซ์จะมีอัตราการใช้ไฟฟ้าเท่ากับ $1351\ kWh/year$ จะสามารถคำนวณค่า $TEWI$ ของท่อวอร์เทกซ์ได้ว่า

$$\begin{aligned} TEWI_{vortex\ tube\ with\ air} &= 1351 \frac{kWh}{year} \times 0.465 \frac{kgCO_2}{kWh} \times 10\ year \\ TEWI_{vortex\ tube\ with\ air} &= 6282\ kgCO_2 \end{aligned} \quad (4.3)$$

นั่นแสดงให้เห็นว่าระบบทำความเย็นของท่อวอร์เทกซ์ที่ใช้อากาศเป็นสารทำงานมีผลกระทบต่อสิ่งแวดล้อมเท่ากับ $6282\ kgCO_2$ หากนำมาเปรียบเทียบกับระบบทำความเย็นของท่อวอร์เทกซ์ที่ใช้สารทำความเย็น $R134a$ ซึ่งเป็นสารทำความเย็นที่เคยนำมาใช้ในการทดแทนกับท่อวอร์เทกซ์ ซึ่ง $R134a$ เป็นสารทำความเย็น Hydrofluorocarbon (HFC) ใช้สำหรับเครื่องทำความเย็นที่มีอุณหภูมิปานกลาง เช่น ระบบปรับอากาศในอากาศ รถยนต์ และตู้เย็น โดยที่ $R134a$ มีค่าศักยภาพในการเกิดภาวะโลกร้อน(GWP 100 ปี) เท่ากับ 1300 อายุของ $R134a$ ที่อยู่บนชั้นบรรยากาศเท่ากับ $14\ 年$ โดยพิจารณาการเติมสารทำความเย็น $1\ กิโลกรัม$ มีการรั่วไหลของสารทำความเย็น 1% ต่อปี และสารทำความเย็นสามารถนำกลับมาใช้ได้ใหม่ 50% ตามสมการ 2.18 สามารถหาค่าดัชนีผลกระทบที่มีต่อการทำให้เกิดภาวะโลกร้อนเทียบเท่าโดยรวม($TEWI$) ของท่อวอร์เทกซ์ที่ใช้ $R134a$ เป็นสารทำความเย็นได้ว่า

$TEWI_{vortex\ tube\ with\ R134a} = Direct\ effect + Indirect\ effect$

$$TEWI_{vortex\ tube\ with\ R134a} = \left[(GWP \times m \times L \times N) + (GWP \times m (1 - \alpha)) \right] + (E \times \beta \times n) \quad (4.4)$$

เมื่อ GWP คือค่าศักยภาพในการทำให้เกิดภาวะโลกร้อน L คือการรับไฟลุของสารทำความเย็นต่อปี (กิโลกรัม/ปี) N คือระยะเวลาที่สารทำเย็นอยู่บนชั้นบรรยากาศ (ปี) m คือการเติมสารทำความเย็น (กิโลกรัม) α คือปัจจัยที่มีการนำสารทำความเย็นกลับมาใช้ใหม่ สามารถแทนค่าตัวแปรตามเงื่อนไขเบื้องต้นได้ว่า

$$\begin{aligned} \text{TEWI}_{\text{vortex tube with R134a}} &= \left[\left(1300 \times 1 \text{ kg} \times 0.01 \frac{\text{kg}}{\text{year}} \times 14 \text{ year} \right) + \left(1300 \times 1 \text{ kg} (1-0.5) \right) \right] \\ &\quad + \left(1351 \frac{\text{kWh}}{\text{year}} \times 0.465 \frac{\text{kgCO}_2}{\text{kWh}} \times 10 \text{ year} \right) \\ \text{TEWI}_{\text{vortex tube with R134a}} &= 182 + 650 + 6282 (\text{kgCO}_2) \\ \text{TEWI}_{\text{vortex tube with R134a}} &= 7114 \text{ kgCO}_2 \end{aligned} \quad (4.5)$$

จะได้ว่าท่อวอร์เท็กซ์ที่ใช้ R134a เป็นสารทำความเย็นมีผลกระทบต่อสิ่งแวดล้อมเท่ากับ 7114 kgCO₂ จากการคำนวณระบบทำความเย็นของท่อวอร์เท็กซ์ที่ใช้อากาศและ R134a เป็นสารทำงานพบว่าท่อวอร์เท็กซ์ที่ใช้อากาศเป็นสารทำงานมีค่าดัชนีผลกระทบที่มีต่อการทำให้เกิดภาวะโลกร้อนเทียบเท่าโดยรวมต่ำกว่าการใช้ R134a เนื่องจากอากาศไม่มีผลกระทบที่เกิดจากการรับไฟลุของสารทำความเย็นหรือไม่มีผลกระทบที่เป็นอันตรายต่อสิ่งแวดล้อม นั่นจึงสามารถสรุปได้ว่าท่อวอร์เท็กซ์ที่ใช้อากาศมีผลกระทบต่อสิ่งแวดล้อมต่ำกว่าการใช้ R134a เป็นสารทำความเย็น

บทที่ 5

บทสรุป

งานวิจัยนี้ได้สร้างท่อออร์เทกซ์ โดยอ้างอิงจากงานวิจัยที่ศึกษาเกี่ยวกับ ตัวแปรที่มีผลต่อ ท่อออร์เทกซ์ สำหรับเป็นแนวทางในการกำหนดขนาดที่สอดคล้องกับงานวิจัยที่ได้ศึกษามาก่อน หน้า โดยในงานวิจัยนี้ได้ศึกษาท่อออร์เทกซ์ที่มีรูปแบบการไหลของอากาศแบบสวนทางกัน เพื่อ ศึกษาประสิทธิภาพการทำความเย็นของท่อออร์เทกซ์ที่ต่างกัน ที่มีค่าการนำความร้อนต่างกัน ระหว่างสแตนเลสและทองเหลือง โดยใช้อากาศเป็นสารทำความเย็นที่ได้จากการดูดซับที่ ความดันอากาศ 1.5 bar และ 3 bar

สรุปผลการวิจัย

1. สแตนเลสและทองเหลืองเป็นวัสดุที่สามารถนำมาสร้างท่อออร์เทกซ์ทำให้เกิดกระแส อากาศร้อนและอากาศเย็นได้จริง ชนิดของวัสดุมีผลต่อการแยกชั้นอุณหภูมิภายในท่อออร์เทกซ์ นอก การเพิ่มความดันอากาศเข้าท่อออร์เทกซ์จะทำให้การแยกชั้นอุณหภูมิอากาศภายในท่อ ออร์เทกซ์เพิ่มขึ้นด้วย พิจารณาจากความแตกต่างอุณหภูมิอากาศเย็นและอากาศร้อนที่มากขึ้นและ มีการแยกชั้นอุณหภูมิอากาศสูงสุดที่ความดันอากาศ 3 bar

2. ท่อออร์เทกซ์ที่ทำจากทองเหลืองมีประสิทธิภาพการทำความเย็นสูงกว่าท่อออร์เทกซ์ที่ ทำจากสแตนเลส ภายใต้การติดตั้งตันกานิดกระแสนมุนวนพลาสติกและทดสอบที่ความดัน อากาศ 3 bar ผลการทดลองพบว่าท่อออร์เทกซ์ทองเหลืองมีค่าความแตกต่างอุณหภูมิอากาศเย็น สูงสุด 21.6°C ค่าความแตกต่างอุณหภูมิอากาศร้อนสูงสุด 30.3°C ประสิทธิภาพไออกซิเจนโกรปิก สูงสุด 0.27 ความสามารถการทำความเย็นสูงสุด 70.7 W และสมรรถนะการทำความเย็นสูงสุด 0.117 ซึ่งมีผลสูงกว่าท่อออร์เทกซ์สแตนเลสคิดเป็นเบอร์เท่ากับ 11% 10% 11% 18% และ 12% ตามลำดับ ดังนั้นจึงสามารถสรุปได้ว่าท่อออร์เทกซ์ที่ทำจากทองเหลืองมีผลทำให้เกิดการแยก ชั้นของอุณหภูมิอากาศได้ดีกว่าท่อออร์เทกซ์ที่ทำจากสแตนเลส

3. การประเมินค่าการปล่อยก๊าซเรือนกระจกของท่อออร์เทกซ์สามารถวัดจากค่า ต้านทานกระแสที่มีต่อการทำให้เกิดภาวะโลกร้อนเทียบเท่าโดยรวม(TEWI) พบร่วมระบบทำความเย็น ของท่อออร์เทกซ์ที่ใช้อากาศมีผลกระแสที่ทำให้เกิดภาวะโลกร้อนต่ำกว่าท่อออร์เทกซ์ที่ใช้สารทำ ความเย็น R134a เนื่องจากอากาศเป็นสารทำความเย็นที่ได้จากการดูดซับ ไม่มีอันตรายต่อ สิ่งแวดล้อม

ข้อเสนอแนะ

โดยทั่วไปค่าสัดส่วนมวลอากาศเย็นของท่อออร์เต็กซ์ อยู่ระหว่าง 0 ถึง 1 ขึ้นอยู่กับอัตราการไหลของมวลอากาศที่ปลายท่อ ในงานวิจัยนี้ไม่สามารถให้ค่าสัดส่วนมวลอากาศเย็นครบคุณทั้งหมด ดังนั้นหากต้องการข้อมูลการแปรค่าสัดส่วนมวลอากาศเย็นที่กว้างขึ้น ควรมีการออกแบบสร้างชิ้นส่วนของวาล์วควบคุมให้มีสมพันธ์กับช่องอากาศเย็น





บรรณานุกรม

- นักสิทธิ์ คุวัฒนาศัย, และกำธร เหาะวนิชย์. (2532). การเปลี่ยนแปลงสมรรถนะของท่ออิอร์ทิกซ์ (Vortex tube) กับขนาดของห่อ. ใน การประชุมวิชาการเครือข่ายวิศวกรรมเครื่องกลแห่งประเทศไทย ครั้งที่ 3 (น. 1-23). กรุงเทพฯ: จุฬาลงกรณ์มหาวิทยาลัย.
- พงษ์ธรา จรัญญากรรณ์. (2537). เทอร์โน่ไดนามิกส์. กรุงเทพฯ: ชีเอ็ดดูเคชั่น.
- พิสิทธิ์ อามุตะคุ, และไพรสันท์ ศักดิ์ชชาลาญ. (2549). ศึกษาสมรรถนะทางเทอร์โน่ไดนามิกส์ของอากาศในห้องอุปกรณ์อุ่นเย็น (รายงานการศึกษาค้นคว้าด้วยตัวเอง).
- มหาวิทยาลัยขอนแก่น, ขอนแก่น.
- มนตรี พิรุณเกษตร. (2548). อุณหพลศาสตร์ 1. กรุงเทพฯ: วิทยพัฒน์.
- วราภรณ์ รัตตนาพิสัตย์. (2011). ท่ออิอร์ทิกซ์เทคโนโลยีทำความเย็นที่เป็นมิตรกับสิ่งแวดล้อม. *Technology promotion*, 38(219), 76-78.
- วิรัช กองสิน. (2557). ศึกษาและออกแบบกระติกเก็บวัสดุที่ด้วยคุปกรณ์เทอร์โน่ได้เล็กติ๊ก. ใน การประชุมวิชาการระดับชาติและนานาชาติการพัฒนาชนบทที่ยั่งยืน "Rethink: Social Development for Sustainability in ASEAN Community" ครั้งที่ 4 (น. 138-142).
- ขอนแก่น: มหาวิทยาลัยขอนแก่น.
- ศิริวนทร์ โภนลิรัญ. (2555). ท่ออิอร์ทิกสำหรับระบบปรับอากาศในที่จำถัด (วิทยานิพนธ์ปริญญา มหาบัณฑิต). มหาวิทยาลัยเทคโนโลยีพระจอมเกล้าพระนครเหนือ, กรุงเทพฯ.
- ศรัทธา อาภรณ์รัตน์. (2557). ทดลองระบบเครื่องทำความเย็น. กรุงเทพฯ: จุฬาลงกรณ์มหาวิทยาลัย.
- สินีพร จันทร์สว่าง, และวราภรณ์ รัตตนาพิสัตย์. (2560). การลดอุณหภูมิในตู้ทดลองที่มีให้ลดความร้อนด้วยอากาศเย็นจากท่ออิอร์ทิกซ์. *วารสารวิทยาศาสตร์บูรพา*, 22(ฉบับพิเศษ), 468-475.
- สินีพร จันทร์สว่าง. (2558). การศึกษาประสิทธิภาพการลดภาระการทำความเย็นด้วยท่ออิอร์ทิกซ์ (รายงานการศึกษาค้นคว้าด้วยตัวเองปริญญาบัณฑิต). มหาวิทยาลัยนเรศวร, พิษณุโลก.
- สิทธิพร พึงไหญ์. (2542). หลักพื้นฐานและประยุกต์ทางอุณหพลศาสตร์. กรุงเทพฯ: ศูนย์การพิมพ์แก่นจันทร์.
- สำนักงานนโยบายและแผนพลังงาน กระทรวงพลังงาน. (2561). รายงานสถิติพลังงานของประเทศไทย 2561. กรุงเทพฯ: เพจเมคเกอร์.

- AIRMASTER. (2019). *Tool cooling 56000F*. Retrieved January 5, 2019, from
<https://www.air-masters.eu/en/tool-cooling/134-tool-cooling-56000f.html>
- Ahlborn, B., Camire, J., & Keller, J.U. (1996). Low-pressure vortex tubes. *Journal of Physics D Applied Physics*, 29(6), 1469 -1472.
- Ahlborn, B., & Groves, S. (1997). Secondary flow in a vortex tube. *Fluid Dynamics Research*, 21, 73-86.
- Ameen, A. (2006). *Refrigeration and air conditioning*. India: Prentice-Hall of India.
- Aydin, O., & Baki, M. (2006). An experimental study on the design parameters of a counterflow vortex tube. *Energy*, 31, 2763-2772.
- Agrawal, N., Naik, S.S., & Gawale, Y.P. (2014). Experimental investigation of vortex tube using natural substance. *International communications in heat and mass transfer*, 2, 51-55.
- Aljuwayhel, N.F., Nellis, G.F., & Klein, S.A. (2005). Parametric and internal study of the vortex tube using a CFD model. *International Journal of Refrigeration*, 28(3) 442-450.
- Attalla, M., Ahmed, H., Ahmed, M.S., & Wafa, A.A. (2017). An experimental study of nozzle number on Ranque Hilsch counter-flow vortex tube. *Experimental Thermal and Fluid Science*, 82, 381-389.
- Aydin, O., Markal, B., & Avci, M. (2010). A new vortex generator geometry for a counter-flow Ranque-Hilsch vortex tube. *Applied Thermal Engineering*, 30, 2505-2511.
- Balmer, R.T. (1988). Pressure-driven Ranque-Hilsch temperature separation in liquids. *Journal of Fluids Engineering*, 110, 161-164.
- Cebeci, I., Kirmaci, V., & Topcuoglu, U. (2016). The effects of orifice nozzle number and nozzle made of polyamide plastic and aluminum with different inlet pressures on heating and cooling performance of counter flow Ranque-Hilsch vortex tubes: An experimental investigation. *International Journal of Refrigeration*, 72, 140-146.
- Darokar, H., Borse, S., & Devade, K. (2012). Experimental investigations on divergent vortex tube with convergent entry nozzle. *International Journal of engineering research and Technology*, 1(6), 1-6.

- Devade, K., & Pise, A. (2014). Effect of cold orifice diameter and geometry of hot end valves on performance of converging type Ranque Hilsch vortex tube. *Energy Procedia*, 54, 642-653.
- Dincer, K., Berber, A., & Ozen, D.N. (2013). Investigation of Performance of Heating and Cooling of Counter Flow Ranque-Hilsch Tubes with L/D=15, 16, 17, 18 for Brass. *Applied Mechanics and Materials*, 372, 350-353.
- Duspara, M., Kosec, B., Stoic, M., Kramar, D., & Stoic, A. (2013). Application of vortex tube for tool cooling. *Journal of Production Engineering*, 16 (2), 41-44.
- Devade, K.D., & Pise, A.T. (2017). Issues and prospects of energy separation in vortex tubes: Review. *Heat Transfer-Asian Research*, 47(3), 461-491.
- Eiamsa-ard, S., & Promvonge, P. (2008). Review of Ranque–Hilsch effects in vortex tubes. *Renewable and Sustainable Energy Reviews*, 12, 1822–1842.
- Eiamsa-ard, S., & Vongsarnpikoon, L. (2000). Experimental investigation of temperature reduction in a Ranque- Hilsch vortex tube. *The Conference of Mechanical Engineering Network of Thailand*, 14, 60-65.
- Eiamsa-ard, S. (2010). Experimental investigation of energy separation in a counter-flow Ranque–Hilsch. *International Communications in Heat and Mass Transfer*, 37, 156-162.
- Farzaneh-Gord, M., & Sadi, M. (2014). Improving vortex tube performance based on vortex generator design. *Energy*, 72, 492-500.
- Gao, C. *Experimental study on the Ranque-Hilsch vortex tube* (Unpublished doctoral dissertation). Technische Universiteit Eindhoven, Netherlands.
- Hilsch, R. (1947). The Use of the Expansion of Gases in a Centrifugal Field as Cooling Process. *Review of Scientific Instruments*, 18, 108-113.
- Holman, J.P. (2002). *Heat Transfer* (9 th ed). New York: McGraw-Hill Companies.
- Hamdan, M.O., Al-Omari, S., & Oweimer, A.S. (2018). Experimental study of vortex tube energy separation under different tube design. *Experimental Thermal and Fluid Science*, 91, 306–311.

- Hamdan, M.O., Alsayed, B., & Elnajjar, E. (2013). Nozzle parameters affecting vortex tube energy separation performance. *Heat and Mass Transfer*, 49(4), 533–541.
- Im, S.Y., & Yu, S.S. (2012). Effects of geometric parameters on the separated air flow temperature of a vortex tube for design optimization. *Energy*, 37, 154-160.
- Intergovernmental Panel on Climate Change. (2005). *Safeguarding the Ozone Layer and the Global Climate System: Special Report of the Intergovernmental Panel on Climate Change*. England: Cambridge University Press.
- Kaya, H., Günver, F., & Kirmaci, V. (2018). Experimental investigation of thermal performance of parallel connected vortex tubes with various nozzle materials. *Applied Thermal Engineering*, 136, 287–292.
- Kirmaci, V., & Kaya, H. (2018). Effects of working fluid nozzle number nozzle material and connection type on thermal performance of a RanqueHilsch vortex tube: A review. *International Journal of Refrigeration*, 91, 254-266.
- Kirmaci, V., Kaya, H., & Cebeci, I. (2018). An experimental and exergy analysis of a thermal performance of a counter flow Ranque-Hilsch vortex tube with different nozzle materials. *International Journal of Refrigeration*, 85, 240-254.
- Kumar, A., Vivekanand, & Subudhi, S. (2017). Cooling and dehumidification using vortex tube. *Applied Thermal Engineering*, 122, 181-193.
- Lin, S., Chen, J., & Vatistas, G.H. (1990). A heat transfer relation for swirl flow in a vortex tube. *The Canadian Journal of Chemical Engineering*, 68(6), 944-947.
- Onal, G., & Dincer, K. (2013). Experimental study of performance of a counter flow Ranque- Hilsch Vortex tube with inner threaded body. *World academic of science, Engineering and technology*, 7(8), 631-633.
- Pourmahmoud, N., Esmaily, R., & Hassanzadeh, A. (2015). Experimental investigation of diameter of cold end orifice effect in vortex tube. *Journal of Thermophysics and Heat Transfer*, 29(3), 629-632.
- Pelmar engineering. (2019). *Personal Air Cooler-Personal Air Conditioners-Personal Cooling Vests*. Retrieved February 1, 2019, from https://www.pelmareng.com/personal_cooling/

- Polihronov, J.G., & Straatman, A.G. (2015). The Maximum COP of Vortex Tubes. *Canadian Journal of Physics*, 99, 1-4.
- Promvonge, P., & Eiamsa-ard, S. (2005). Investigation on the vortex thermal separation in a vortex tube refrigerator. *Science Asia*, 31, 215-223.
- Rattanongphisat, W., Riffat, S.B., & Gan, G. (2008). Thermal separation flow characteristic in a vortex tube: CFD model. *International Journal of Low-Carbon Technologies*, 3(4), 282-295.
- Rafiee, S.E., & Sadeghiazad, M.M. (2014). Effect of Conical Valve Angle on Cold-Exit Temperature of Vortex Tube. *Journal of Thermophysics and Heat Transfer*, 28, 785-794.
- Rattanongphisat, W., & Jansawang, S. (2018). The effect of vortex generator materials and L/D ratios on performance of stainless vortex tube. *Journal of Physics: Conference Series*, 1144, 1-4.
- Reddy, B. (2013). Air cooling in automobiles using vortex tube refrigeration system. *International journal of engineering science and technology*, 5, 341-348.
- Rennels, D.C., & Hudson, H.M. (2012). *Pipe flow: a practical and comprehensive guide*. Canada: John Wiley & Sons.
- Scheper, G.W. (1951). The vortex tube; internal flow data and a heat transfer theory. *Journal of the ASRE, Refrigeration Engineering*, 59, 985-989.
- Stephan, K., Lin, S., Durst, M., Huang, F., & Seher, D. (1984). A similarity relation for energy separation in a vortex tube. *International Journal of Heat and Mass Transfer*, 27(6), 911-920.
- Stephan, K., Lin, S., Durst, M., Huang, F., & Seher, D. (1983). An investigation of energy separation in a vortex tube. *International Journal of Heat and Mass Transfer*, 26(3), 341-348.
- Saidi, M., & Valipour M. (2003). Experimental modeling of vortex tube refrigerator. *Applied Thermal Engineering*, 23, 1971-1980.

- Torrella, E., Patiño, J., Sánchez, D., Llopis, R., & Cabello, R. (2013). Experimental evaluation of the energy performance of an air vortex tube when the inlet parameters are varied. *The Open Mechanical Engineering Journal*, 7, 98-107.
- VorTech. (2019). *Vortex Enclosure Coolers*. Retrieved January 5, 2019, from <https://www.vortextube.co.uk/enclosure-coolers>
- Veretennikov, S.V., Piralishvili, Sh.A, Evdokimov, O.A., & Guryanov, A.I. (2018). Heat transfer simulation of unsteady swirling flow in a vortex tube. *Journal of Physics: Conference Series*, 980, 1-6.
- Wisnoe, W., Ismail, N., Remeli, M.F., & Zakaria, M.F. (2013). Experimental investigation on the effect of conical valve shape and swirl generator to the performance of Ranque- Hilsch Vortex Tube. *IEEE Business Engineering and Industrial Applications Colloquium 2013*, 812-817.
- Wisnoe, W., Rahman, K.M.A., Istihat, Y., & Natarajan, V.D. (2017). The Effect of Orifice Diameter to the Acoustic Signals Captured at the Cold Part of a Ranque-Hilsch Vortex Tube. *MATEC Web of Conferences*, 95, 1-6.
- Xue, Y., Arjomandi, M., & Kelso, R.M. (2010). A critical review of temperature separation in a vortex tube. *Experimental Thermal and Fluid Science*, 34(8), 1367-1374.
- Yilmaz, M., Kaya, M., Karagoz, S., & Erdogan, S. (2009). A review on design criteria for vortex tubes. *Heat Mass Transfer*, 45, 613-632.
- Zhai, X. (2017). Research on the application of vortex tube type of cooling jacket in coal mine. *AIP Conference Proceedings*, 1864, 1-6.



ภาคผนวก ก ชุดสำหรับชุดทดสอบท่อวอร์เทกซ์ที่ทำจากสแตนเลสและทองเหลือง
ที่ติดตั้งต้นกำเนิดกระแซหมุนวนพลาสติก ทดสอบที่ความดันอากาศ 3 bar

ตาราง 5 ผลการบันทึกข้อมูลอุณหภูมิด้วยเครื่องบันทึกข้อมูลสำหรับชุดทดสอบท่อ
วอร์เทกซ์ที่ทำจากสแตนเลสและทองเหลือง ที่ติดตั้งต้นกำเนิดกระแซหมุนวน
พลาสติก ทดสอบที่ความดันอากาศ 3 bar

เวลา (นาที)	อุณหภูมิอากาศของ ท่อวอร์เทกซ์สแตนเลส (°C)			อุณหภูมิอากาศ ท่อวอร์เทกซ์ทองเหลือง (°C)		
	ทางเข้าท่อ	ปลาย ท่อเย็น	ปลาย ท่อร้อน	ทางเข้าท่อ	ปลาย ท่อเย็น	ปลาย ท่อร้อน
ที่สัดส่วนมวลอากาศเย็น 0.82					ที่สัดส่วนมวลอากาศเย็น 0.83	
0	27.1	27.2	27.3	27.7	27.5	27.9
1	26.9	18.7	27.5	28.5	21.1	38
2	27.1	18.8	38.0	29.8	22.2	43.3
3	27.5	19.1	43.7	31.3	23.1	47.1
4	27.8	19.2	47.3	32.4	24.2	50.1
5	28.2	19.6	49.5	33.4	25.2	52.6
6	28.5	19.8	50.7	33.9	25.5	54.8
7	29.0	20.3	52.6	34.2	26	56.3
8	29.2	20.4	54.0	34.3	26.4	57.6
9	29.4	20.8	54.7	34.2	26.2	58.6
10	29.6	20.9	55.2	34	26.2	59.2
ที่สัดส่วนมวลอากาศเย็น 0.80					ที่สัดส่วนมวลอากาศเย็น 0.80	
0	27.6	27.8	27.9	28.5	30.6	28.7
1	27.9	19.2	42.2	29.8	21.3	45.8

ตาราง 5 (ต่อ)

เวลา (นาที)	อุณหภูมิอากาศของ ท่อวอร์เท็กซ์สแตนเลส (°C)			อุณหภูมิอากาศ ท่อวอร์เท็กซ์ทองเหลือง (°C)		
	ทางเข้าท่อ	ปลาย	ปลาย	ทางเข้าท่อ	ปลาย	ปลาย
		ท่อเย็น	ท่อร้อน		ท่อเย็น	ท่อร้อน
2	28.3	19.2	47.4	30.3	21.5	51
3	28.8	19.5	50.5	30.9	21.9	54.2
4	29.1	19.6	52.3	31.4	22	56.6
5	29.5	20	54.2	31.7	22.5	58.3
6	29.6	20.1	55.1	32.1	22.8	59.6
7	29.9	20.5	56	32.5	23.1	60.8
8	30.1	20.5	56.8	32.8	23.5	61.3
9	30.1	20.5	57.1	33.3	23.8	62.2
10	30.2	20.7	57.5	33.5	24.2	62.8
ที่สัดส่วนมวลอากาศเย็น 0.75			ที่สัดส่วนมวลอากาศเย็น 0.75			
0	28.1	28.5	28.7	29.3	30.7	29.3
1	28.8	27.5	29.2	29.7	19.4	31.3
2	28.4	18.4	46.3	30.4	19.3	48.0
3	28.8	18.3	50.7	31.6	20.1	53.4
4	29.1	18.2	52.7	32.3	20.9	56.3
5	29.2	18.7	54.0	32.9	21.4	58.7
6	29.2	18.7	55.2	33.3	21.5	60.4
7	29.4	19.0	55.7	33.5	21.8	61.7

ตาราง 5 (ต่อ)

เวลา (นาที)	อุณหภูมิอากาศของ ท่อวอร์เท็กซ์สแตนเลส (°C)			อุณหภูมิอากาศ ท่อวอร์เท็กซ์ทองเหลือง (°C)		
	ทางเข้าท่อ	ปลาย ท่อเย็น	ปลาย ท่อร้อน	ทางเข้าท่อ	ปลาย ท่อเย็น	ปลาย ท่อร้อน
8	29.6	18.9	56.3	33.6	22.0	62.7
9	29.7	19.1	56.5	33.9	22.1	63.6
10	29.8	18.9	56.7	34.3	22.6	64.3
ที่สัดส่วนมวลอากาศเย็น 0.70				ที่สัดส่วนมวลอากาศเย็น 0.70		
0	28.6	28.3	29.1	30.1	31.4	30.2
1	28.7	18.9	31.6	31.3	18.1	51.2
2	29.1	17.4	45.8	32.1	18.4	56
3	29.5	17.3	49.8	33	18.8	59
4	30.0	17.6	51.8	33.6	19	60.9
5	30.4	17.9	53.3	33.9	19.2	62.4
6	30.9	18.2	54.4	34.1	19.8	63.4
7	31.1	18.4	55.2	34.3	19.8	63.9
8	31.3	18.7	55.7	34.5	20.1	64.4
9	31.5	18.8	56.2	34.6	20.3	64.7
10	31.7	18.9	56.5	34.7	20.3	65
ที่สัดส่วนมวลอากาศเย็น 0.65				ที่สัดส่วนมวลอากาศเย็น 0.65		
0	28.9	29.0	27.5	30.4	31.4	30.6
1	30.1	26.8	28.0	30.6	19.9	32.6
2	29.5	16.2	46.4	31.5	20.0	49.4

ตาราง 5 (ต่อ)

เวลา (นาที)	อุณหภูมิอากาศของ ท่อวอร์เท็กซ์สแตนเลส (°C)				อุณหภูมิอากาศ ท่อวอร์เท็กซ์ทองเหลือง (°C)			
	ทางเข้าท่อ		ปลาย ท่อเย็น	ปลาย ท่อร้อน	ทางเข้าท่อ		ปลาย ท่อเย็น	ปลาย ท่อร้อน
	ปลาย	ปลาย			ปลาย	ปลาย		
3	29.9	16.1	50.0		32.3	16.4	56.3	
4	30.4	16.1	51.6		33.2	17.2	58.3	
5	30.6	16.3	52.6		33.9	17.4	59.8	
6	30.9	16.4	53.4		34.3	18.3	61.0	
7	31.1	16.5	54.0		34.7	18.5	61.9	
8	31.4	16.9	54.2		35.1	18.6	62.5	
9	31.6	17.1	54.5		35.2	18.8	62.9	
10	31.7	17.3	54.8		35.3	19.2	63.2	
ที่สัดส่วนมวลอากาศเย็น 0.60					ที่สัดส่วนมวลอากาศเย็น 0.60			
0	29.3	28.7	29.8		30.7	31.4	30.4	
1	30.2	18.3	31.4		31.0	17.8	33.3	
2	30.1	15.1	47.2		32.0	14.6	52.2	
3	30.5	14.8	49.9		32.9	15.0	56.2	
4	31.0	14.9	51.3		33.6	15.1	58.3	
5	31.3	15.1	52.1		34.4	16.0	60.0	
6	31.7	15.4	52.8		34.8	16.0	60.9	
7	31.7	15.5	53.2		34.9	16.7	61.8	
8	31.8	15.5	53.4		34.9	16.6	62.2	

ตาราง 5 (ต่อ)

เวลา (นาที)	อุณหภูมิอากาศของ ท่อวอร์เท็กซ์สแตนเลส (°C)			อุณหภูมิอากาศ ท่อวอร์เท็กซ์ทองเหลือง (°C)		
	ทางเข้าท่อ	ปลาย ท่อเย็น	ปลาย ท่อร้อน	ทางเข้าท่อ	ปลาย ท่อเย็น	ปลาย ท่อร้อน
9	32.0	15.9	53.4	34.9	16.9	62.5
10	32.0	16.2	53.4	34.9	16.7	62.5
ที่สัดส่วนมวลอากาศเย็น 0.55				ที่สัดส่วนมวลอากาศเย็น 0.55		
0	29.6	28.4	29.1	31	31.3	30.7
1	29.9	16.3	31.4	31.5	12.5	50.8
2	30.1	13.2	46.4	32.1	12.4	54
3	30.3	13.0	48.5	32.7	12.6	56
4	30.7	13.1	49.5	33.3	12.6	57.2
5	31.1	13.3	50.1	33.7	13.4	58.1
6	31.2	13.3	50.5	33.9	13.6	58.5
7	31.4	13.9	50.8	34	13.9	58.9
8	31.4	13.9	50.9	34.2	14.1	59
9	31.4	14.0	50.9	34.3	14.3	59.4
10	31.5	14.3	50.7	34.3	14.3	59.5
ที่สัดส่วนมวลอากาศเย็น 0.50				ที่สัดส่วนมวลอากาศเย็น 0.50		
0	29.8	28.5	29.8	31.3	31	31.3
1	30.8	17.4	31.7	31.7	11.1	49.2
2	29.9	12.2	44.9	32.2	10.9	51.4
3	30.2	11.7	45.8	32.7	10.9	52.6

ตาราง 5 (ต่อ)

เวลา (นาที)	อุณหภูมิอากาศของ ท่อวอร์เท็กซ์สแตนเลส (°C)				อุณหภูมิอากาศ ท่อวอร์เท็กซ์ทองเหลือง (°C)			
	ทางเข้าท่อ		ปลาย ท่อเย็น	ปลาย ท่อร้อน	ทางเข้าท่อ		ปลาย ท่อเย็น	ปลาย ท่อร้อน
	ปลาย	ปลาย			ปลาย	ปลาย		
4	30.5	11.7	46.4		33.1	11.5	53.4	
5	30.9	12.1	46.8		33.4	11.9	54	
6	31.2	12.4	47.2		33.6	12.2	54.2	
7	31.4	12.6	47.2		33.7	12.6	54.2	
8	31.4	13.0	47.3		33.8	12.7	54.4	
9	31.6	13.3	47.3		33.7	12.6	54.4	
10	31.7	13.5	47.2		33.7	12.6	54.6	
	ที่สัดส่วนมวลอากาศเย็น 0.45				ที่สัดส่วนมวลอากาศเย็น 0.46			
0	29.7	29	29.5		31.3	31	31.1	
1	29.2	10.2	41.7		31.2	10.4	46.7	
2	28.9	9.3	42.4		31.5	9.9	48.1	
3	28.7	8.7	42.7		32	9.8	48.9	
4	28.1	8.3	42.2		32.3	10.4	49.5	
5	27.7	8.1	41.8		32.6	10.7	49.8	
6	27.3	7.8	41.7		32.8	10.9	49.9	
7	26.9	7.7	41.1		32.9	11.4	50	
8	26.6	7.3	40.7		32.9	11.2	50	
9	26.2	7	40.3		32.9	11.4	50.2	
10	25.8	6.5	40.1		32.9	11.3	50.2	

ตาราง 6 ผลการบันทึกและการคำนวณผลเมื่อความแตกต่างอุณหภูมิคงที่ ณ เวลา 10
นาที ของชุดทดสอบท่อウォร์เท็กซ์ที่ทำจากสแตนเลส

สัดส่วน มวลอากาศเย็น	ΔT_c	ΔT_h	ประสิทธิภาพไอ เซ็นโทรปิก (η)	ความสามารถในการ ทำความเย็น (W)	COP
0.82	9	26	0.11	36	0.08
0.80	10	27	0.12	39	0.08
0.75	11	27	0.14	43	0.09
0.70	13	25	0.16	49	0.10
0.65	14	23	0.18	52	0.10
0.60	16	21	0.19	55	0.10
0.55	17	19	0.21	58	0.10
0.50	18	16	0.22	57	0.10
0.45	19	14	0.24	54	0.10

ตาราง 7 ผลการบันทึกและการคำนวณผลเมื่อความแตกต่างอุณหภูมิคงที่ ณ เวลา 10
นาที ของชุดทดสอบท่อウォร์เท็กซ์ที่ทำจากทองเหลือง

สัดส่วน มวลอากาศเย็น	ΔT_c	ΔT_h	ประสิทธิภาพไอ เซ็นโทรปิก (η)	ความสามารถในการ ทำความเย็น (W)	COP
0.83	8	25	0.10	35	0.10
0.80	10	29	0.12	41	0.10
0.75	12	30	0.14	49	0.10
0.70	14	30	0.17	58	0.11
0.65	16	28	0.20	63	0.11
0.60	18	28	0.22	68	0.12
0.55	20	25	0.24	71	0.12
0.50	21	21	0.26	70	0.12
0.46	22	17	0.26	66	0.11